

Diagnose en classificatie van acute myeloïde leukemie

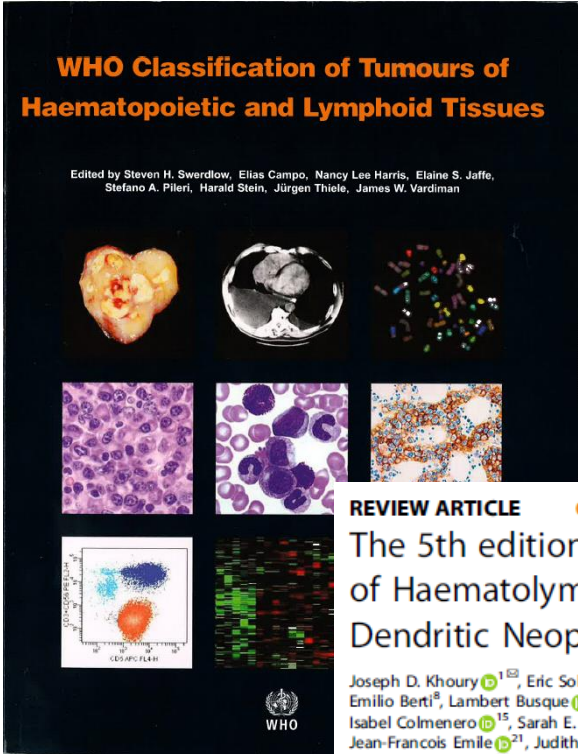
Basiscursus 2024 M.J. Wondergem





Disclosure belangen spreker

(potentiële) belangenverstrengeling	
Voor bijeenkomst mogelijk relevante relaties met bedrijven	Bedrijfsnamen
<ul style="list-style-type: none">• Sponsoring of onderzoeksgeld• Honorarium of andere (financiële) vergoeding• Aandeelhouder• Andere relatie, namelijk ...	<ul style="list-style-type: none">• niet relevant••



THE UPDATED WHO CLASSIFICATION OF HEMATOPOIETIC AND LYMPHOID TISSUES

The 2016 revision to the World Health Organization classification of myeloid neoplasms and acute leukemia

Daniel A. Arber,¹ Attilio Orazi,² Robert Hasserjian,³ Jürgen Thiele,⁴ Michael A. LeBlanc,⁵ Clara D. Bloomfield,⁷ Mario Cazzola,⁸ and James W. Vardiman⁹

¹Department of Pathology, Stanford University, Stanford, CA; ²Department of Pathology, Division of Hematology/Oncology, Brigham and Women's Hospital, Boston, MA; ³Institute of Pathology, University of Zurich, Zurich, Switzerland; ⁴Department of Pathology, Johns Hopkins Medical Institutions, Baltimore, MD; ⁵Section of Hematology/Oncology, University of Michigan, Ann Arbor, MI; ⁶Cancer Hospital and Solove Research Institute, The Ohio State University, Columbus, OH; ⁷Department of Hematology/Oncology, Fondazione IRCCS Policlinico San Matteo, Pavia, Italy; ⁸Department of Hematology/Oncology, University of Milan, Milan, Italy; ⁹Department of Hematology/Oncology, Mayo Clinic, Rochester, MN



The 5th edition of the World Health Organization Classification of Haematolymphoid Tumours: Myeloid and Histiocytic/Dendritic Neoplasms

Joseph D. Khoury¹, Eric Solary¹, Oussama Abla³, Yassmine Akkari⁴, Rita Alaggio⁵, Jane F. Apperley⁶, Rafael Bejar¹, Emilio Bentz⁸, Lambert Busque¹, John K. C. Chan¹⁰, Weinan Chen¹¹, Xueyan Chen¹², Wee-Joo Chng¹³, John K. Choi¹⁴, Isabel Colmenero¹⁵, Sarah E. Coupland¹⁶, Nicholas C. P. Cross¹⁷, Daphne De Jong¹⁸, M. Tarek Elghetany¹⁹, Emiko Takahashi¹⁰, Jean-François Emile²¹, Judith Ferry²², Linda Fogelstrand²³, Michaela Fontenay²⁴, Ulrich Gemig²⁵, Summeet Gujral²⁶, Torsten Haferlach²⁷, Claire Harrison²⁸, Jennelle C. Hodge²⁹, Shimin Hu¹, Joop H. Jansen³⁰, Rashmi Kanagal-Shamanna¹, Hagop M. Kantarjian³¹, Christian P. Kratz³², Xiao-Qiu Li³³, Megan S. Lim³⁴, Keith Loeb³⁵, Sanam Loghavi¹, Andrea Marcogliese¹⁹, Soheil Meshinchi³⁶, Phillip Michaels³⁷, Kikkeri N. Naresh¹⁰, Yasodha Natkunam¹⁰, Reza Nejati³⁸, German Ott⁴⁰, Eric Padron¹, Keyur P. Patel¹, Nikhil Patkar¹, Jennifer Picarsic⁴¹, Uwe Platzbecker⁴⁴, Irene Roberts⁴⁵, Anna Schuh¹, William Sewell⁴⁷, Reiner Siebert⁴⁸, Prashant Tembhare¹, Jeffrey Tyner⁴⁹, Srdan Verstovsek³¹, Wei Wang¹, Brent Wood⁵⁰, Wenbin Xiao⁵¹, Cecilia Yeung¹ and Andreas Hochhaus⁵²

© The Author(s) 2022

The upcoming 5th edition of the World Health Organization (WHO) Classification of Haematolymphoid Tumours is part of an effort to hierarchically catalogue human cancers arising in various organ systems within a single relational database. This paper summarizes the new WHO classification scheme for myeloid and histiocytic/dendritic neoplasms and provides an overview of the principles and rationale underpinning changes from the prior edition. The definition and diagnosis of disease types continues to be based on multiple clinicopathologic parameters, but with refinement of diagnostic criteria and emphasis on therapeutically and/or prognostically actionable biomarkers. While a genetic basis for defining diseases is sought where possible, the classification strives to keep practical worldwide applicability in perspective. The result is an enhanced, contemporary, evidence-based classification of

En nu:

Grote lijnen hetzelfde, kleine verschillen

Maar ook...
International Consensus
Classification



Diagnostische methoden

morfologie

May-Grunwald Giemsa kleuring

histologie

cytochemie

myeloperoxydase of Sudan black

kleuring

non-specifieke esterase

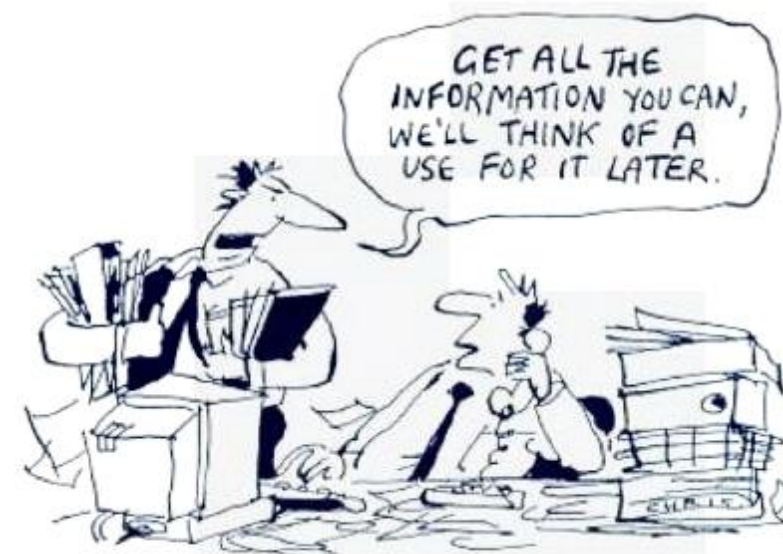
Immunofenotypering

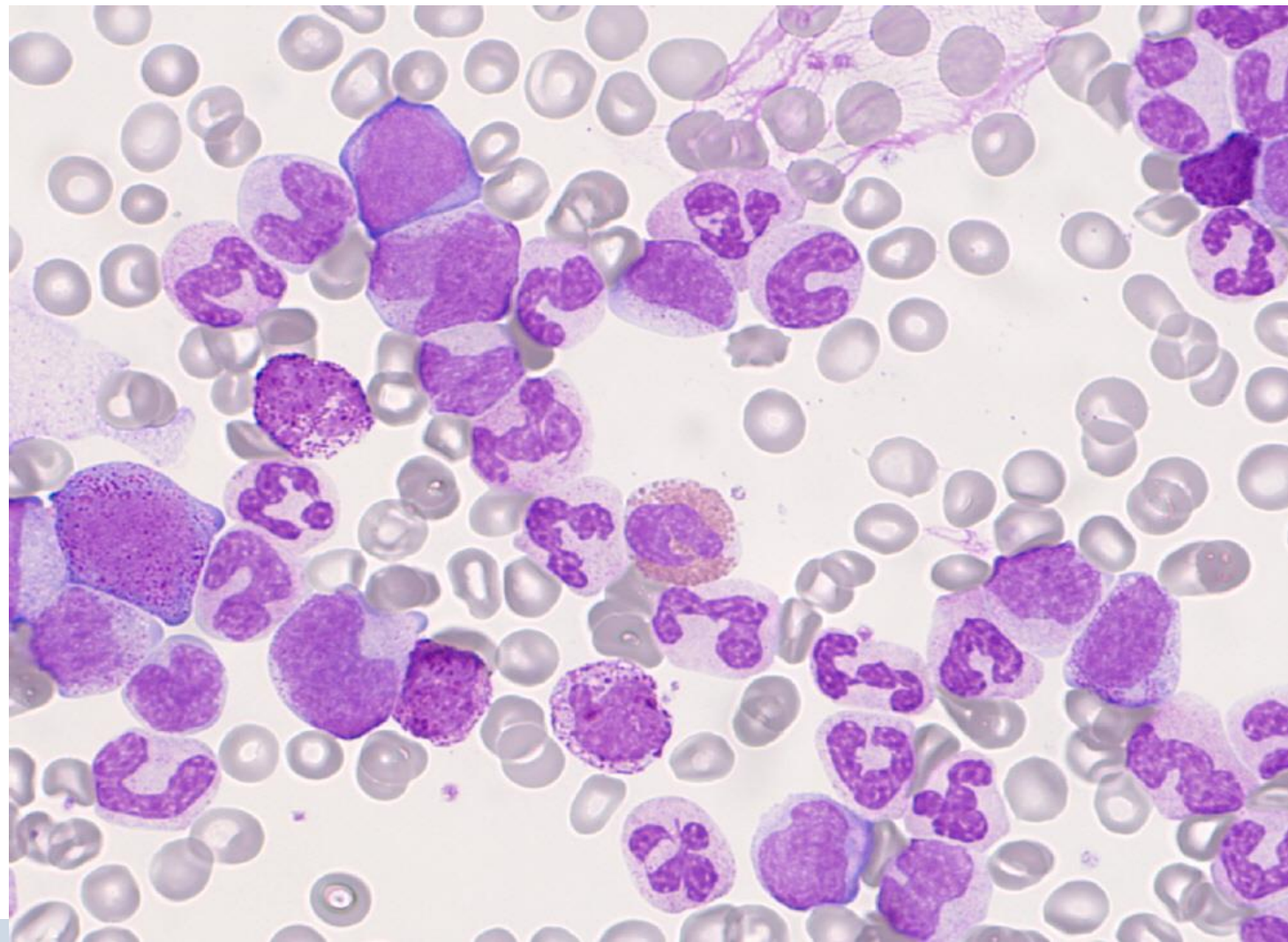
cytogenetica

metafase analyse, FISH

moleculaire biologie

PCR





May-Grunwald Giemsa



Gebruik van morfologie voor diagnose en classificatie

- Tellen van 500 cellen
 - % blasten versus alle kernhoudende cellen
- cytochemie
 - myeloperoxydase (MPO) of Sudan black B kleuring (SBB)
 - non-specifieke esterase (NSE) reactie
- myelodysplasie
 - % binnen cellijn
 - multi-lineage / uni-lineage
- ijzerkleuring
 - ring sideroblasten



Percentage blasten

AML en ALL : > 20% met uitzonderingen waar je geen 20% hoeft te halen (genetische afwijkingen, post therapie etc)

ICC ook AML

MDS RAEB: 5 -20%

WHO 2016:

MDS-EB 1 of 2

WHO 2022 MDS-IB 1of 2

RAEB I: 5 -10%

RAEB II: 10 -20%

Bij ICC is dit dan MDS/AML bij blast>10%
Behalve bij *BCR::ABL1*

andere MDS < 5 %

Refractaire cytopenieen

MDS-SLD/MLD

MDS LB

MDS met 5q-

MDS met genetische afw

MDS unclassifiable

MDS-U

kinder- MDS

ICC: nog wel SLD en MLD

Blasten: morfologische kenmerken

- middelgrote tot grote cellen
- basofiel cytoplasma, soms met enkele azurofiele granula of vacuoles
- perinucleaire opheldering
- Grote kern, rond of irregulair
- Fijn tot iets grover nucleair chromatine
- prominente nucleoli

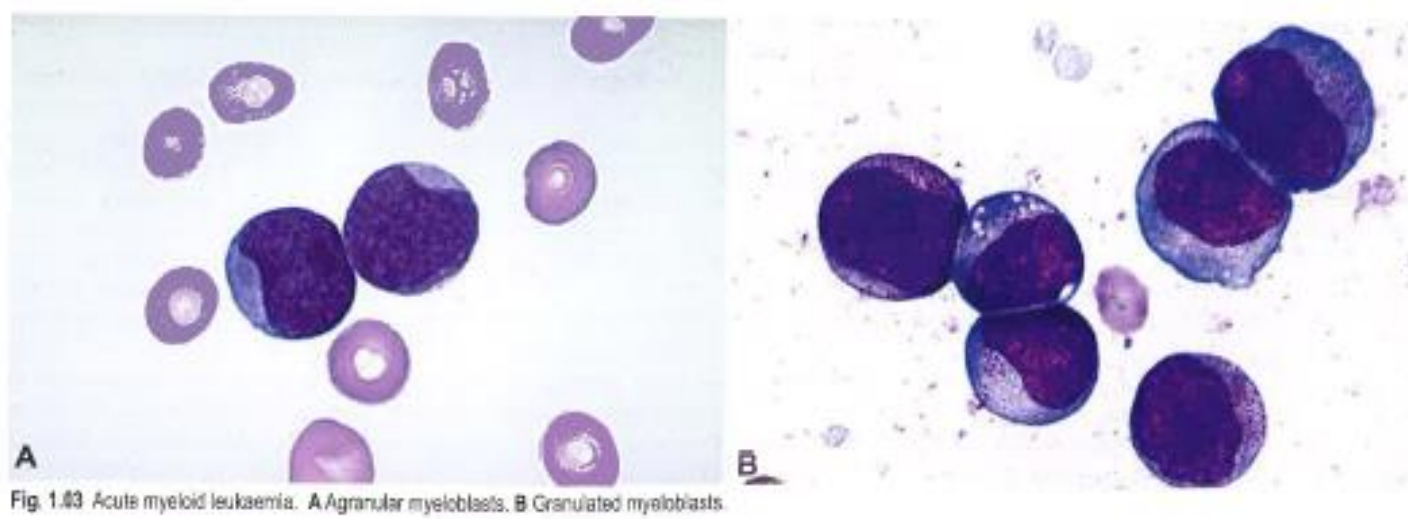


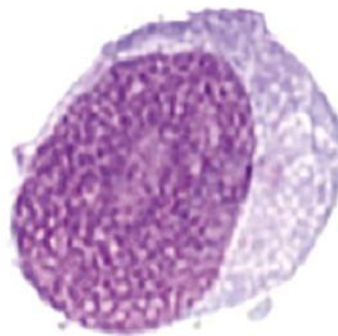
Fig. 1.43 Acute myeloid leukaemia. A Agranular myeloblasts. B Granulated myeloblasts.



Blast of promyelocyt?

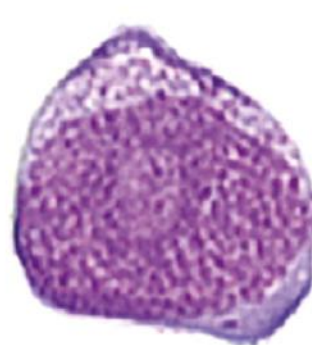
Blasts

Agranular



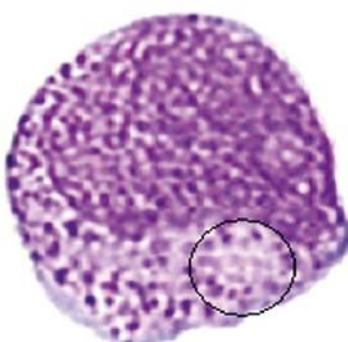
- Basophilic cytoplasm
- Fine chromatin
- Nucleoli

Granular



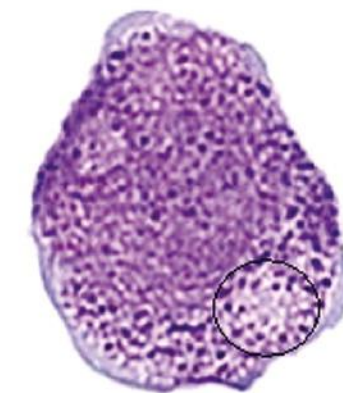
- Azurophilic granulation
- Absence of Golgi zone

Promyelocyte



- Azurophilic granulation+
- **Clearly visible Golgi zone**

Abnormal promyelocyte



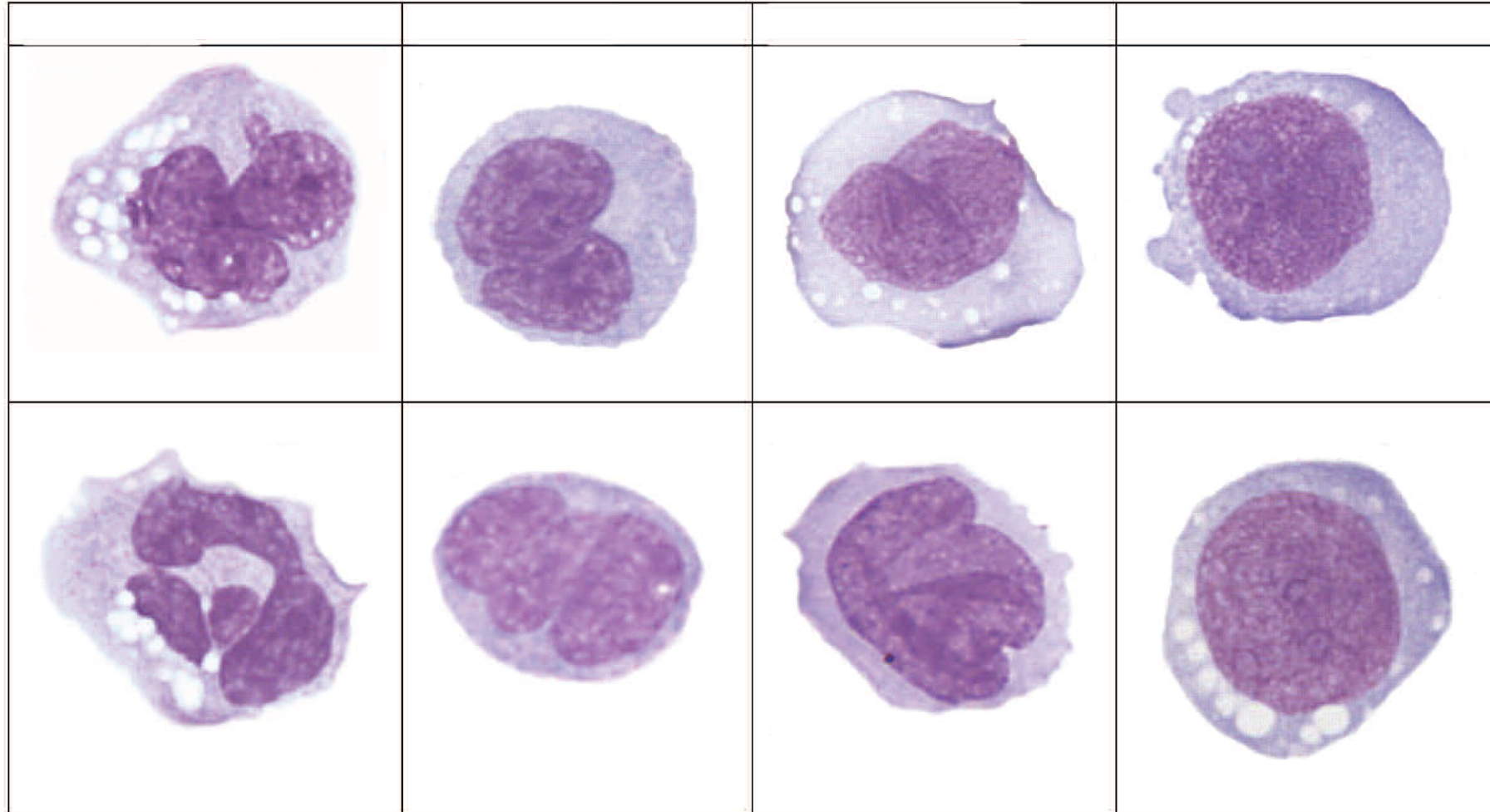
Azurophilic granulation
+++

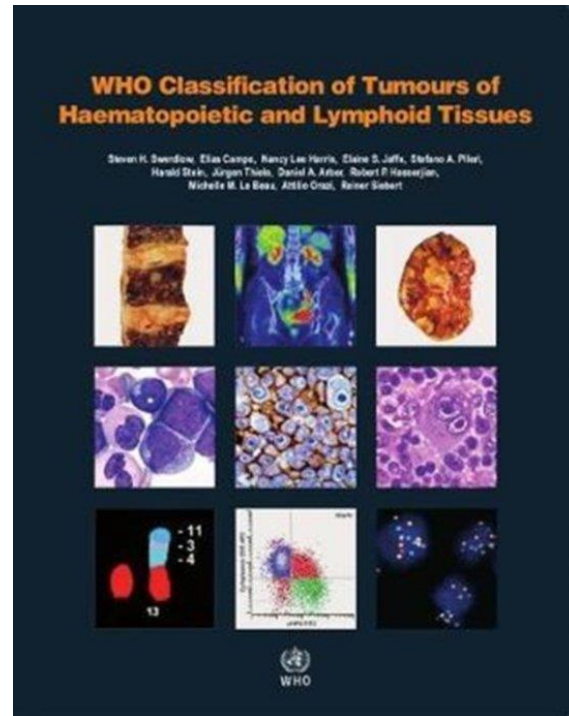
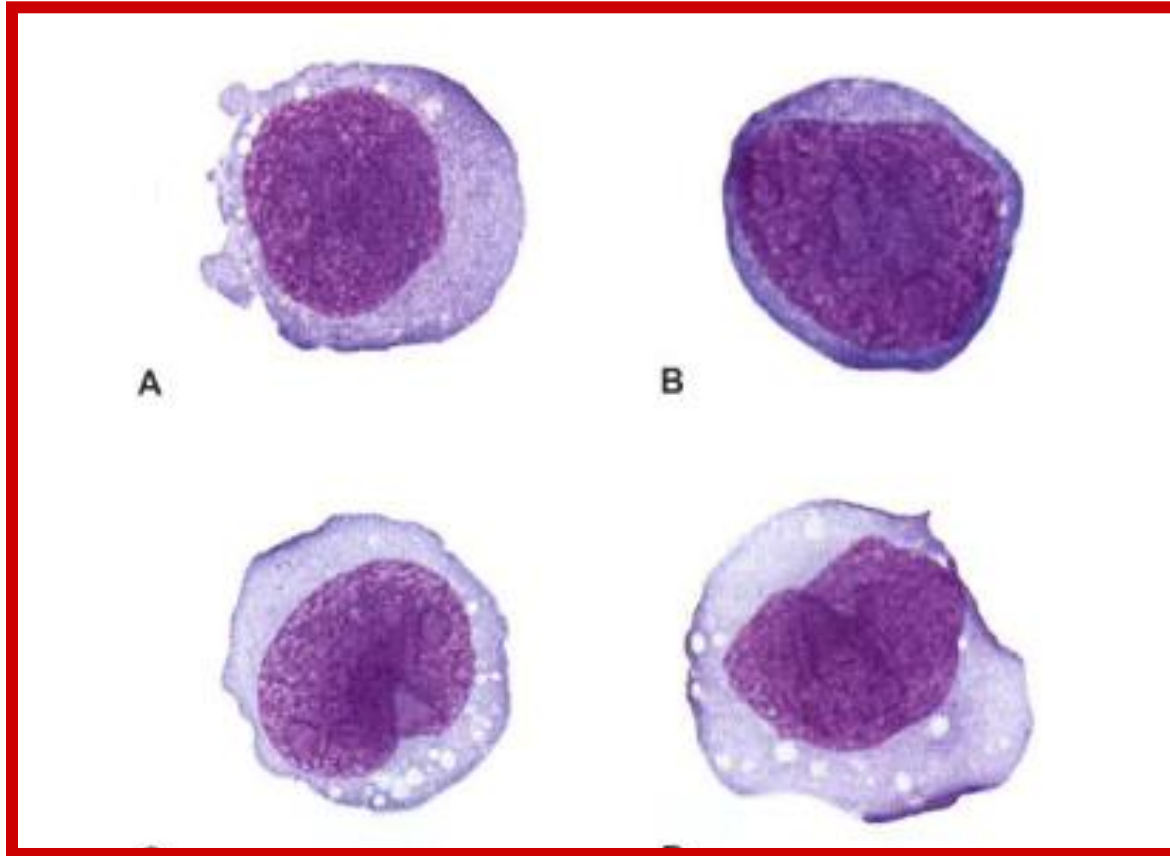
Mufti G J et al. Haematologica 2008;93:1712-1717



Monocyt of monoblast?

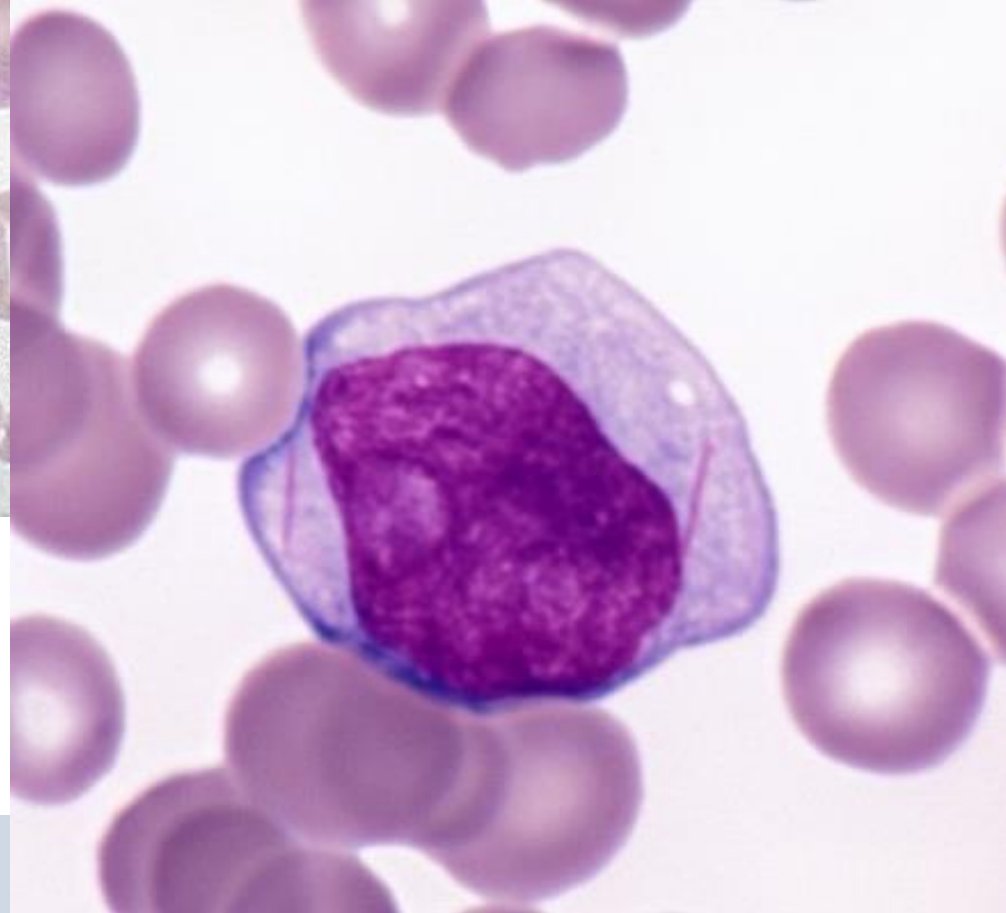
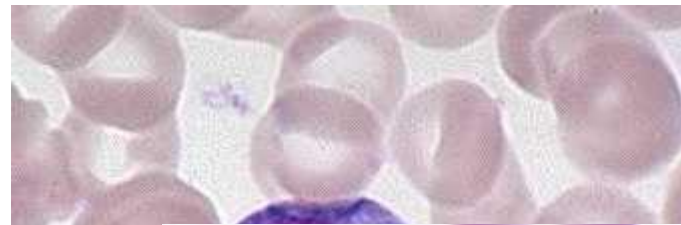
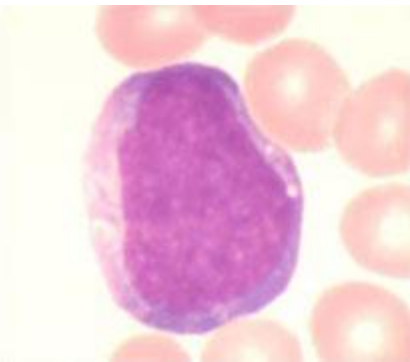
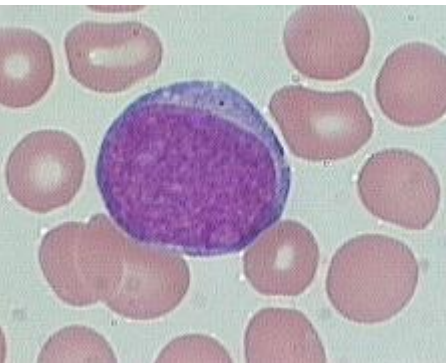
Kijk naar: kernvorm, kernstructuur, kleur cytoplasma, celgrootte







Lymfoblast of myeloblast??





Gebruik van morfologie voor diagnose en classificatie

- Tellen van 500 cellen
 - % blasten versus alle kernhoudende cellen
 - cytochemie
 - myeloperoxydase (MPO) of Sudan black kleuring (SBB)
 - non-specifieke esterase (NSE) reactie
 - myelodysplasie
 - % binnen cellijn
 - multi-lineage / uni-lineage
 - ijzerkleuring
 - ring sideroblasten

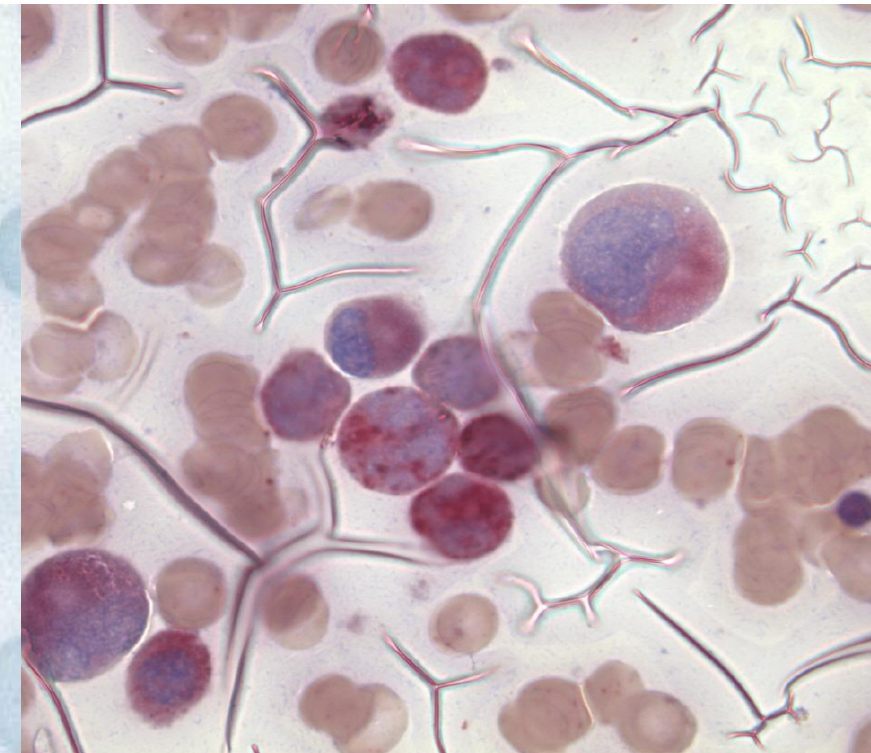
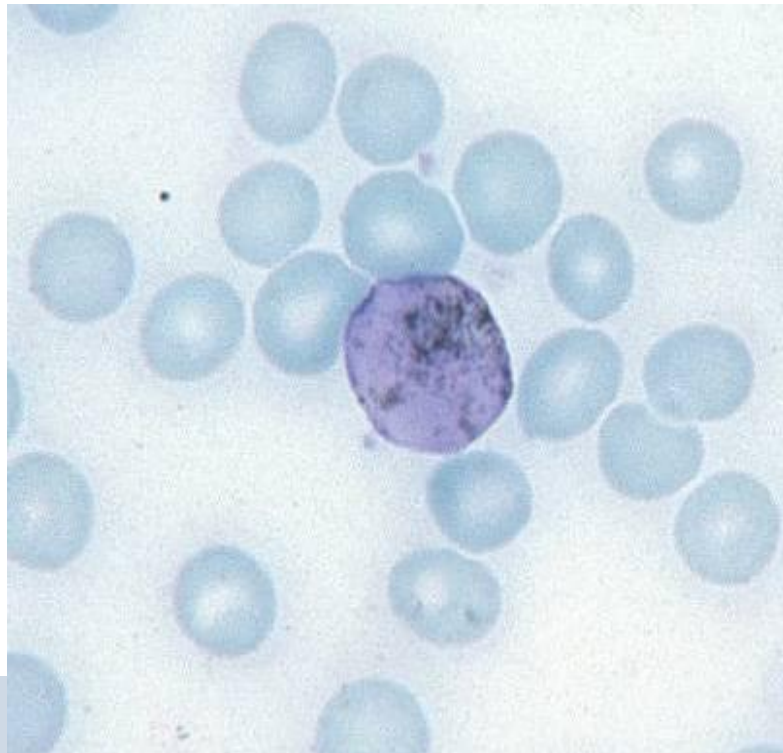


Cytochemie

myeloperoxydase reactie of Sudan black reaction is positief in myeloïde cellen (sterk) en monocyten (zwak)



non-specifieke esterase reactie is positief in monocytaire cellen
(diffuus in cytoplasma)





Gebruik van morfologie voor diagnose en classificatie

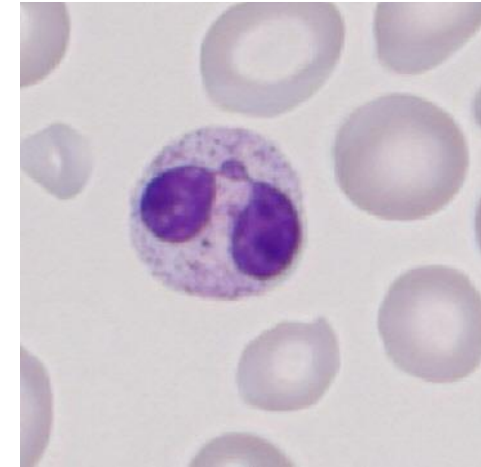
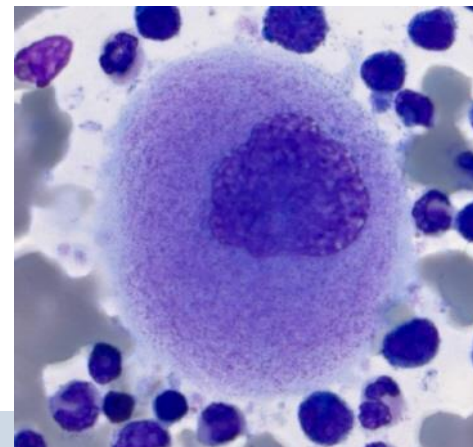
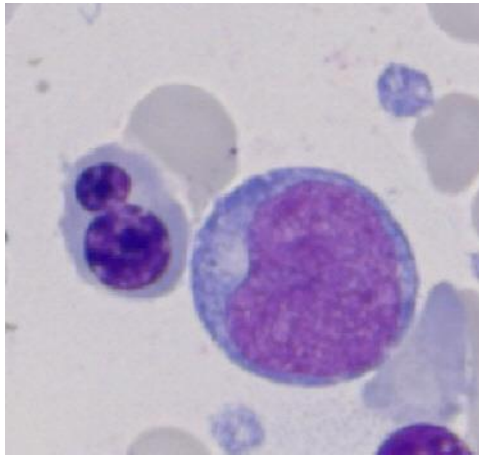
- Tellen van 500 cellen
 - % blasten versus alle kernhoudende cellen
- cytochemie
 - myeloperoxydase (MPO) of Sudan black B kleuring (SBB)
 - non-specifieke esterase (NSE) reactie
- myelodysplasie
 - % binnen cellijn
 - multi-lineage / uni-lineage
- ijzerkleuring
 - ring sideroblasten



myelodysplasie

Voor AML: 2016: **>50% in 2 cel lijnen** of VG van MDS of MDS gerelateerde cytogenetische veranderingen

2022 : niet meer nodig voor diagnose AML myelodysplasie gerelateerd



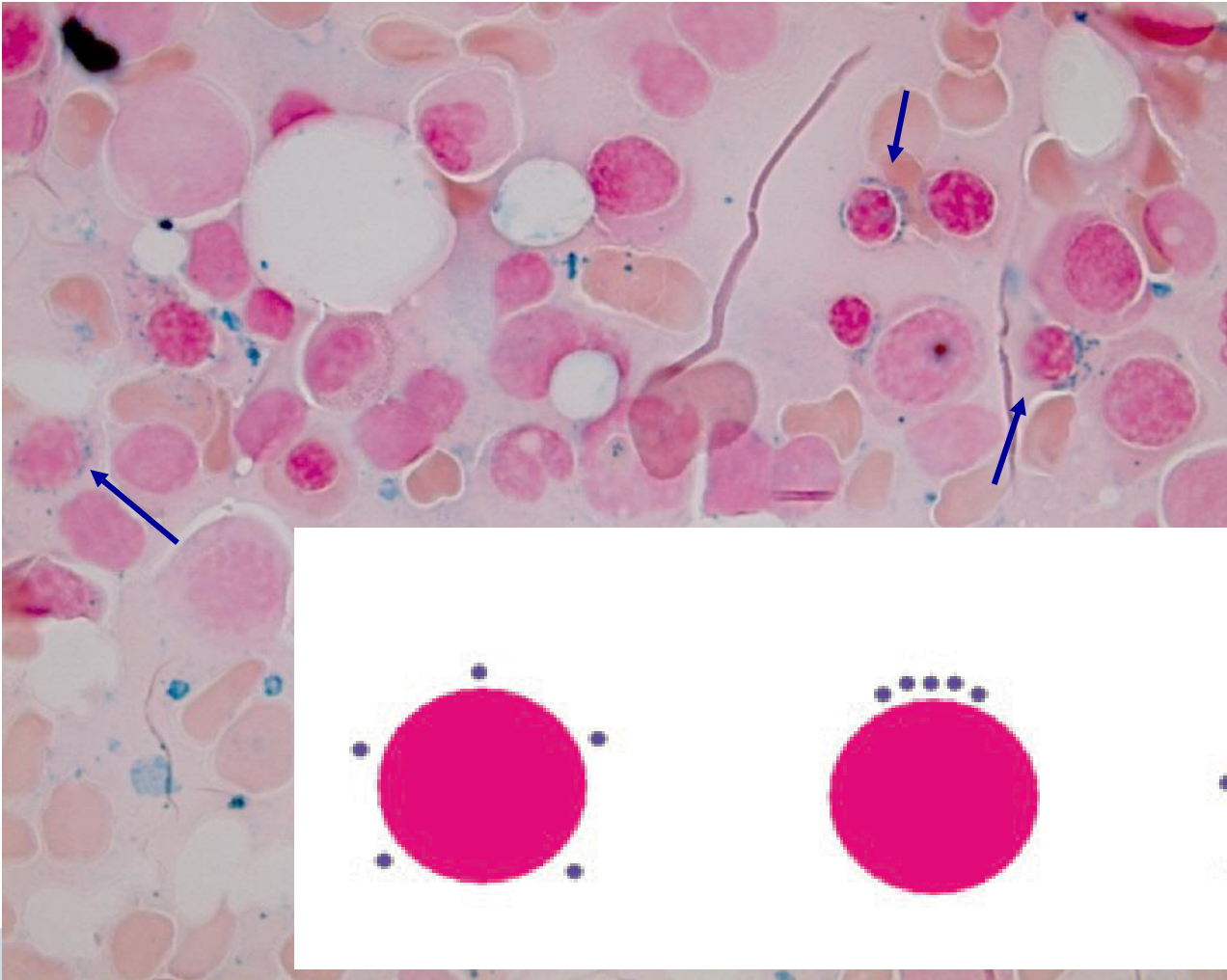


Gebruik van morfologie voor diagnose en classificatie

- Tellen van 500 cellen
 - % blasten versus alle kernhoudende cellen
- cytochemie
 - myeloperoxydase (MPO) of Sudan black B kleuring (SBB)
 - non-specifieke esterase (NSE) reactie
- myelodysplasie
 - % binnen cellijn
 - multi-lineage / uni-lineage
- ijzerkleuring
 - ring sideroblasten



ijzerkleuring



ringsideroblast



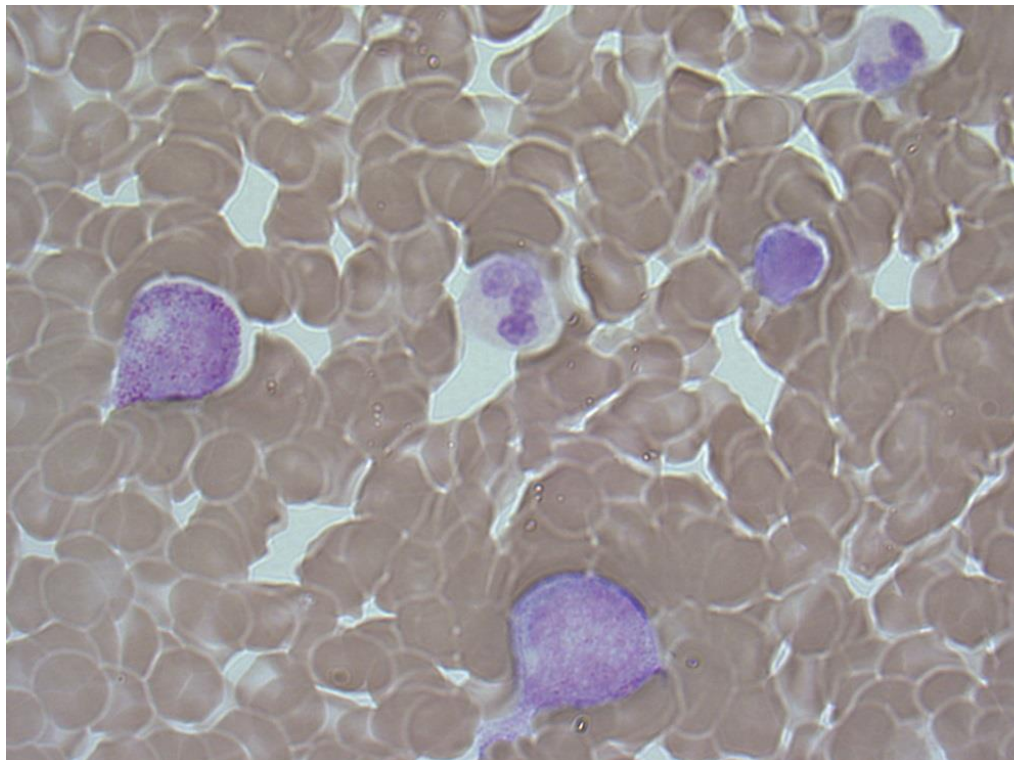
Rol van de morfoloog anno 2022



- Kwaliteit van sample
- Criteria voor diagnose (% blasten)
- Criteria voor klassificatie (dysplasie)
- Aanvullend onderzoek sturen

“So far, no one's seemed to notice.”

soms slechte uitstrijkjes..





Je vraagt je dan af wat ermee is gebeurd



Bedenk: kan ik hierop een diagnose stellen of is het te slecht materiaal?
Kan aanvullend onderzoek nog extra informatie geven

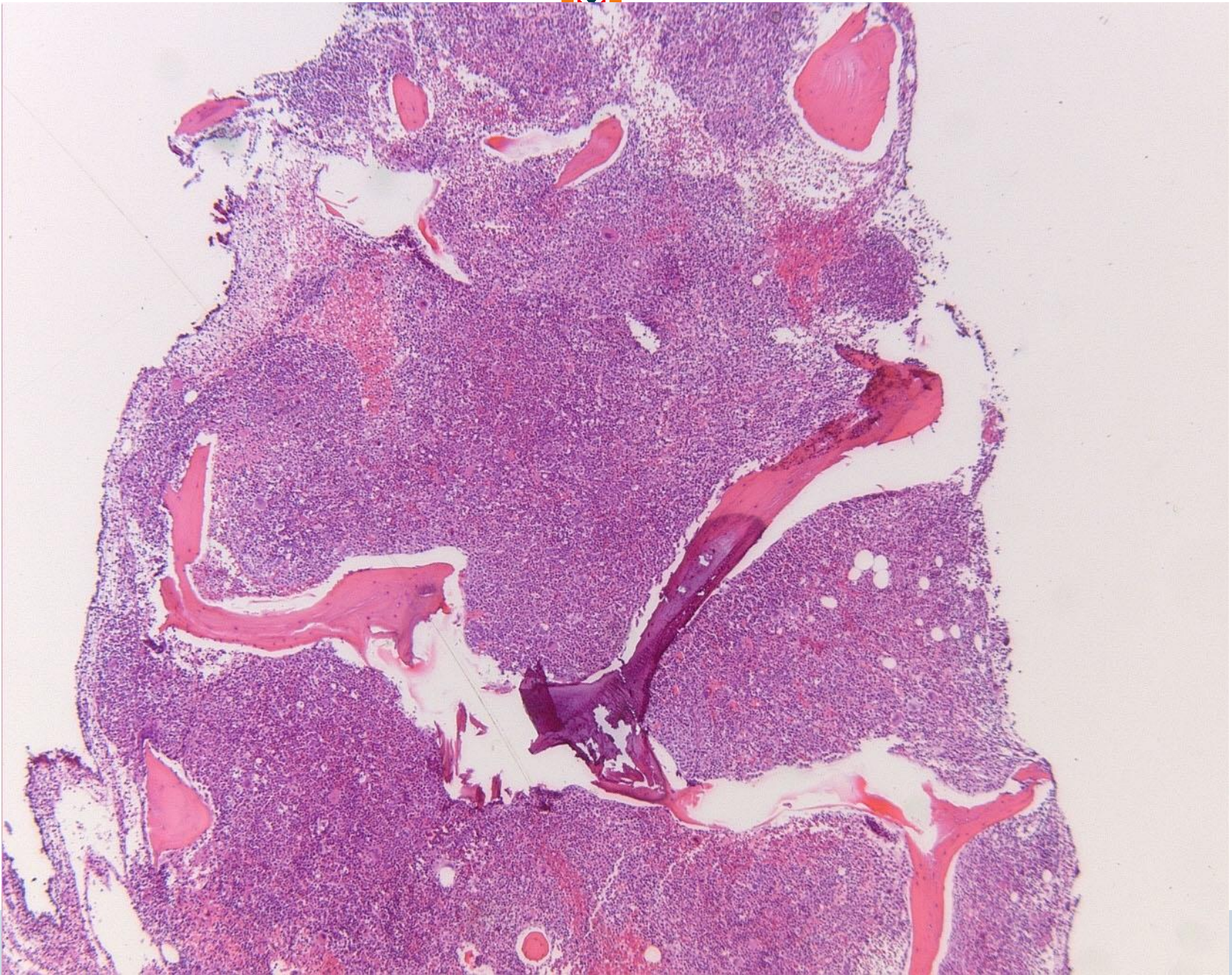


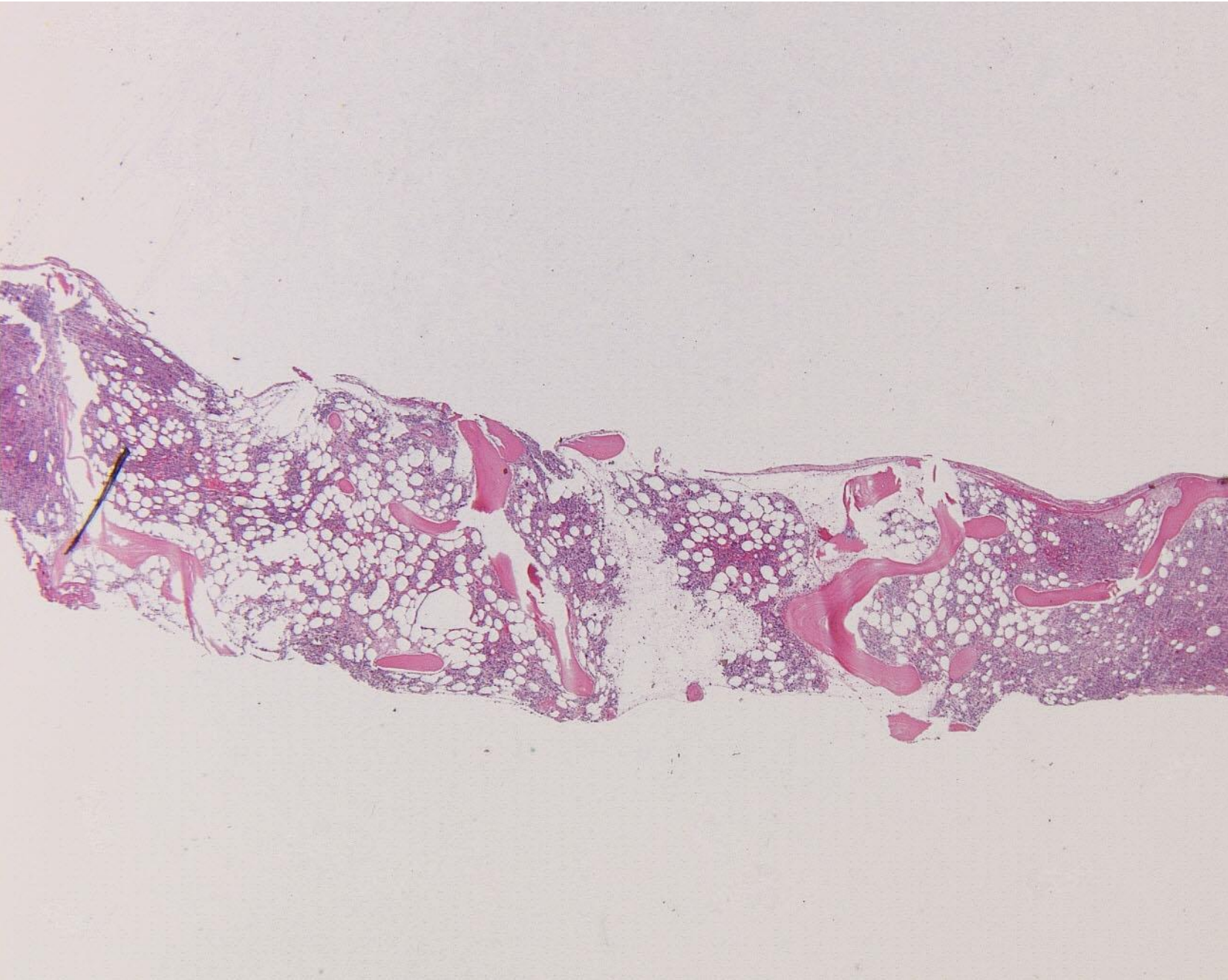
Wanneer een botbiopt

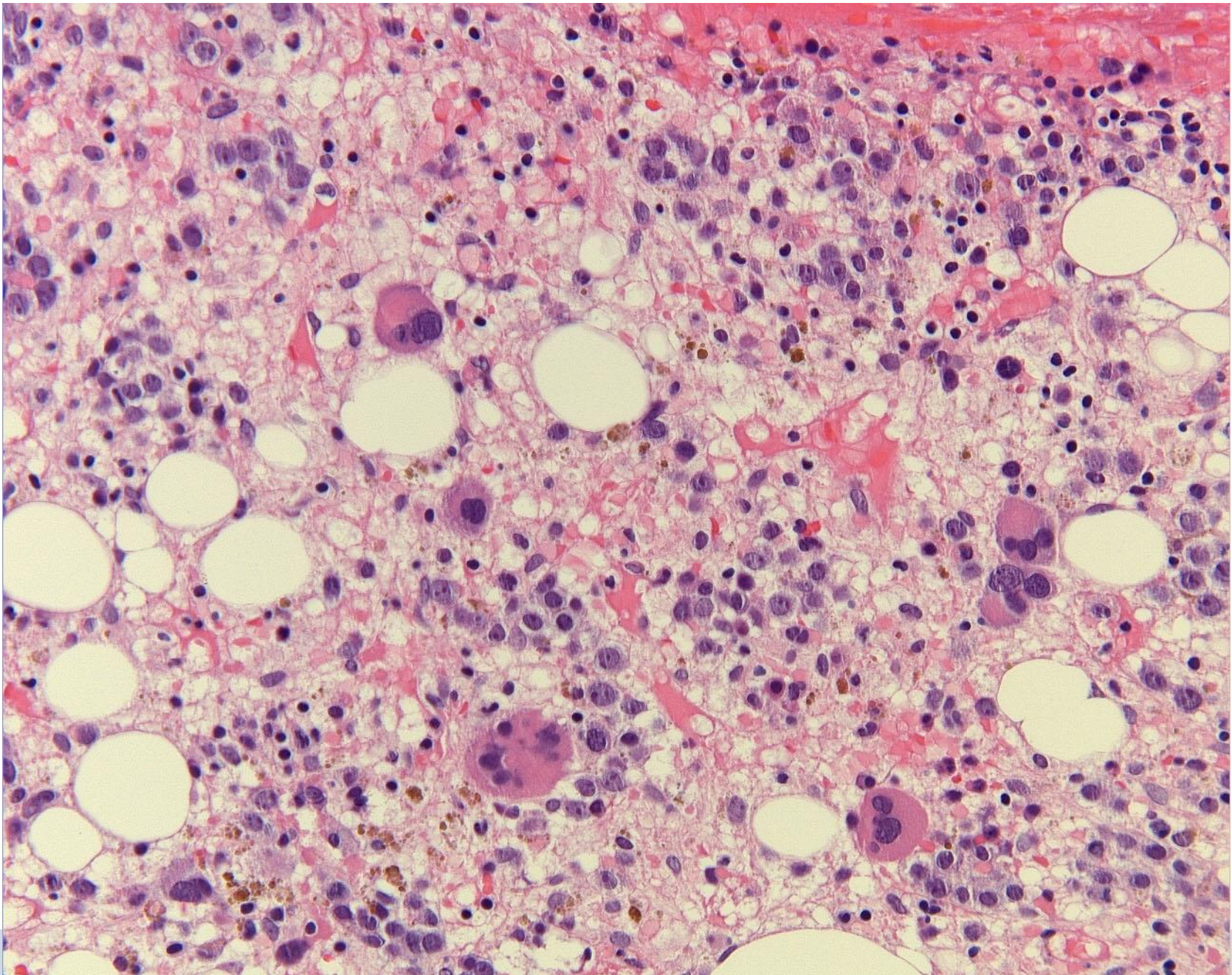
- altijd doen bij diagnose: wanneer de diagnose AML nog niet zeker is, ook om andere diagnoses te kunnen stellen, bv solide tumoren.
- in geval van dry tap

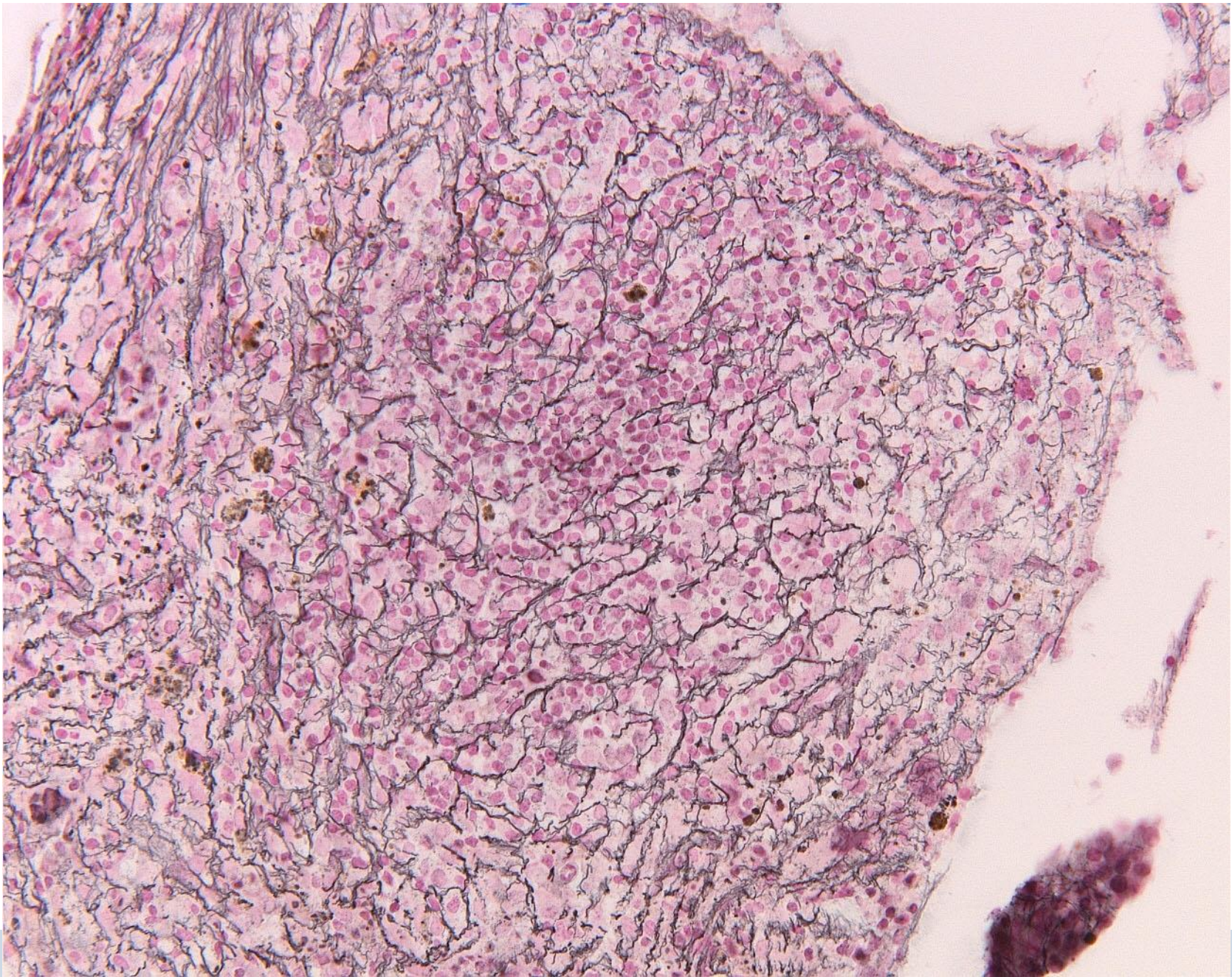
Let op!

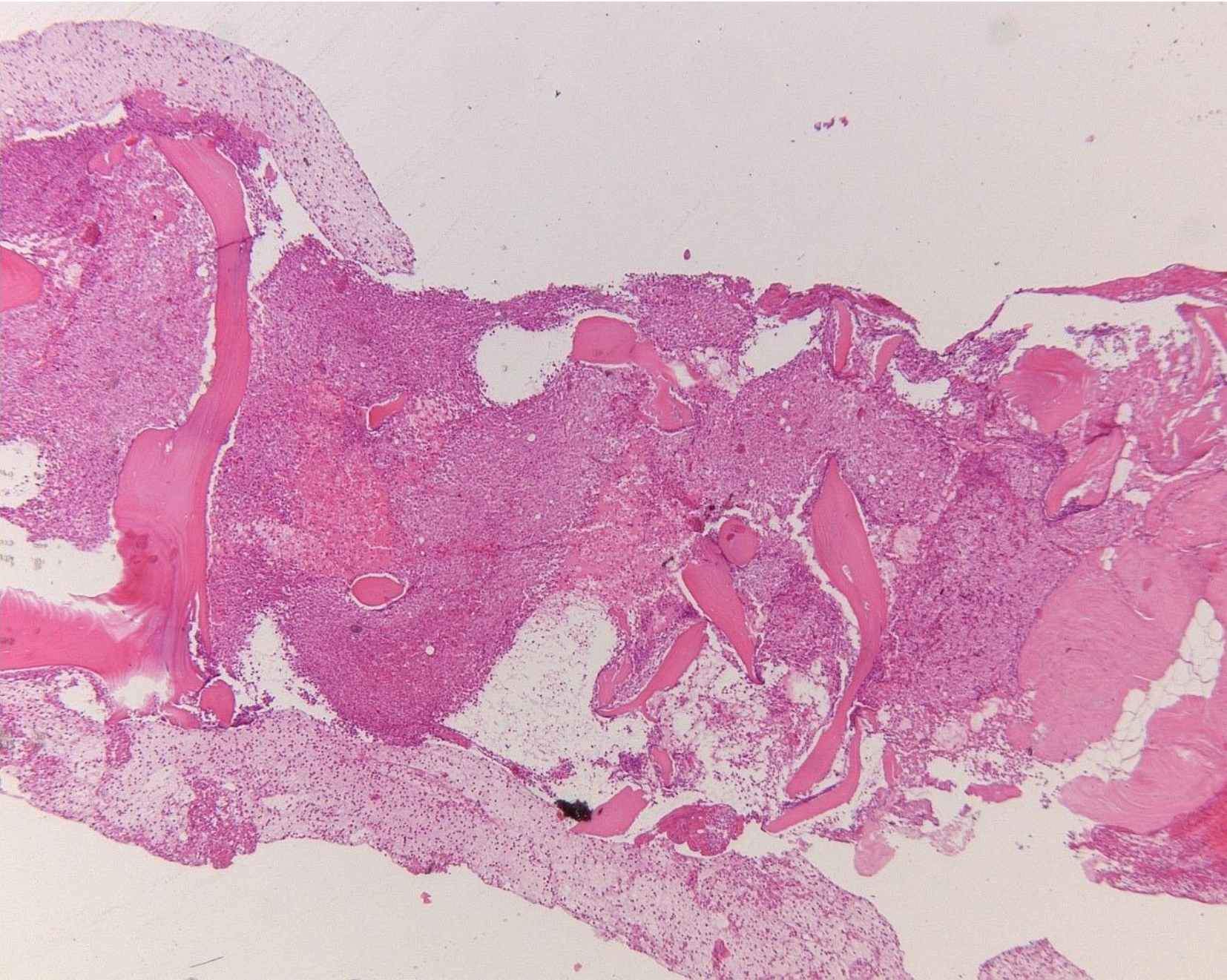
- waar herken je blasten aan? Soms CD34-
- uitrijping of gebrek daaraan
- dysplasie, fibrose

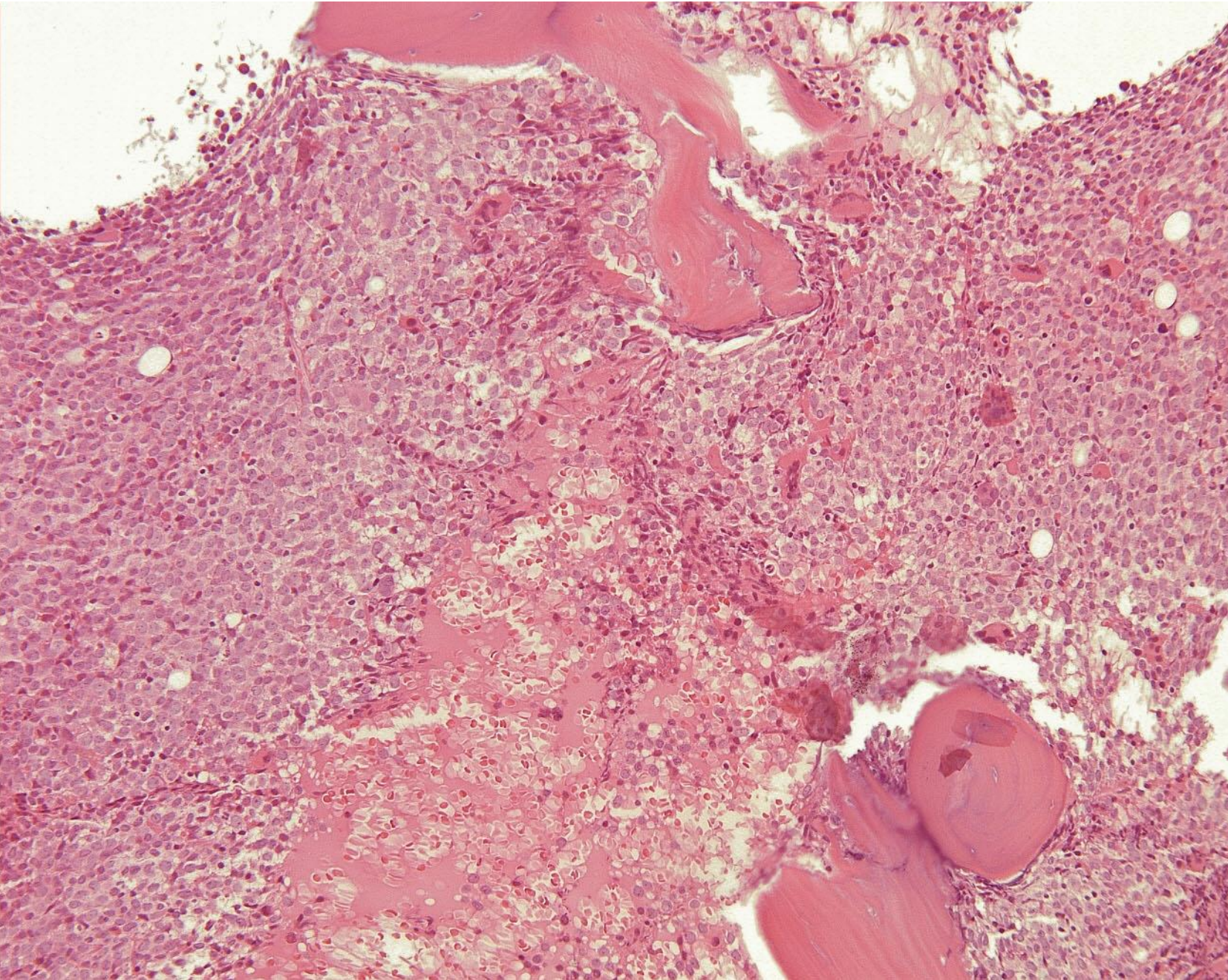


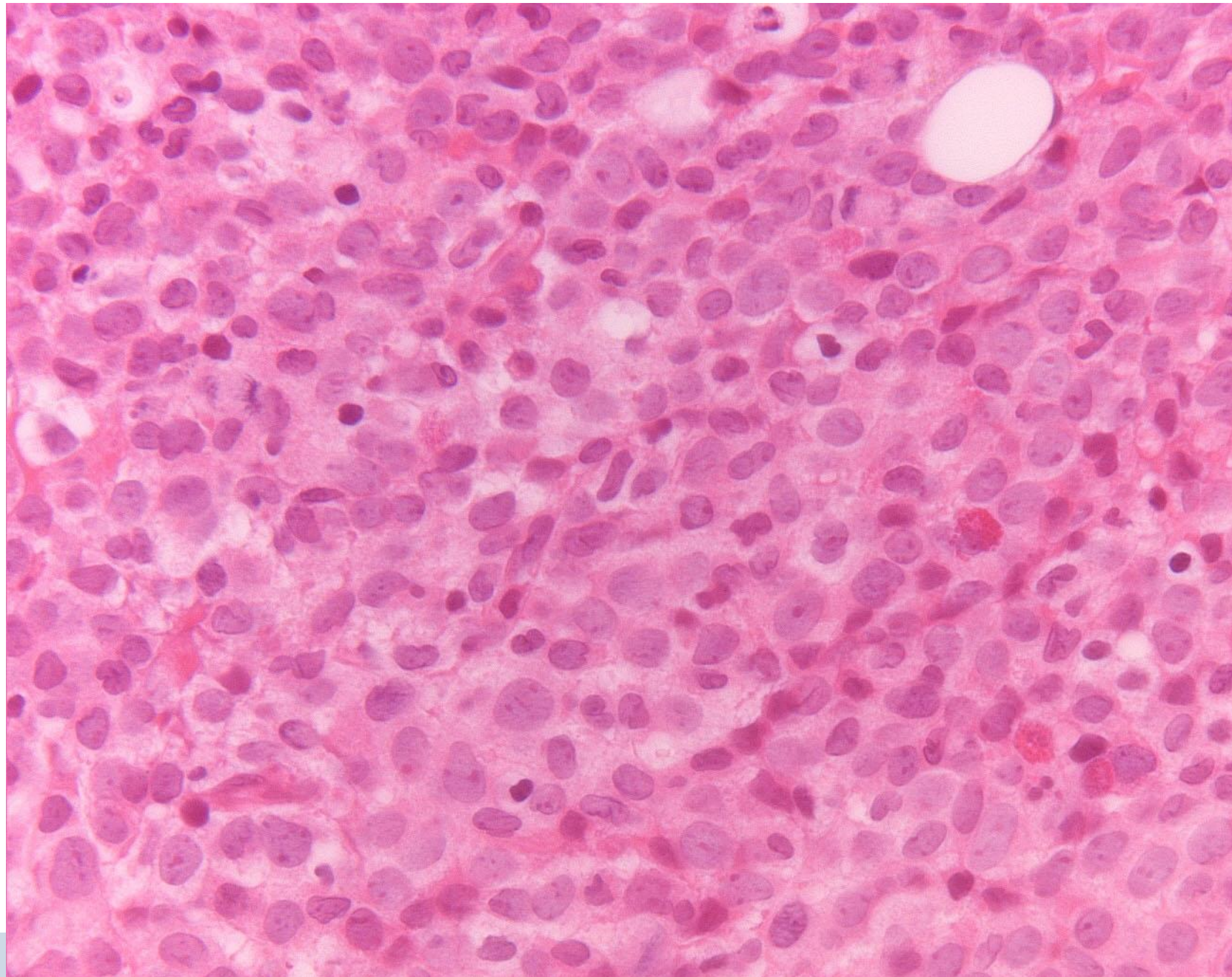




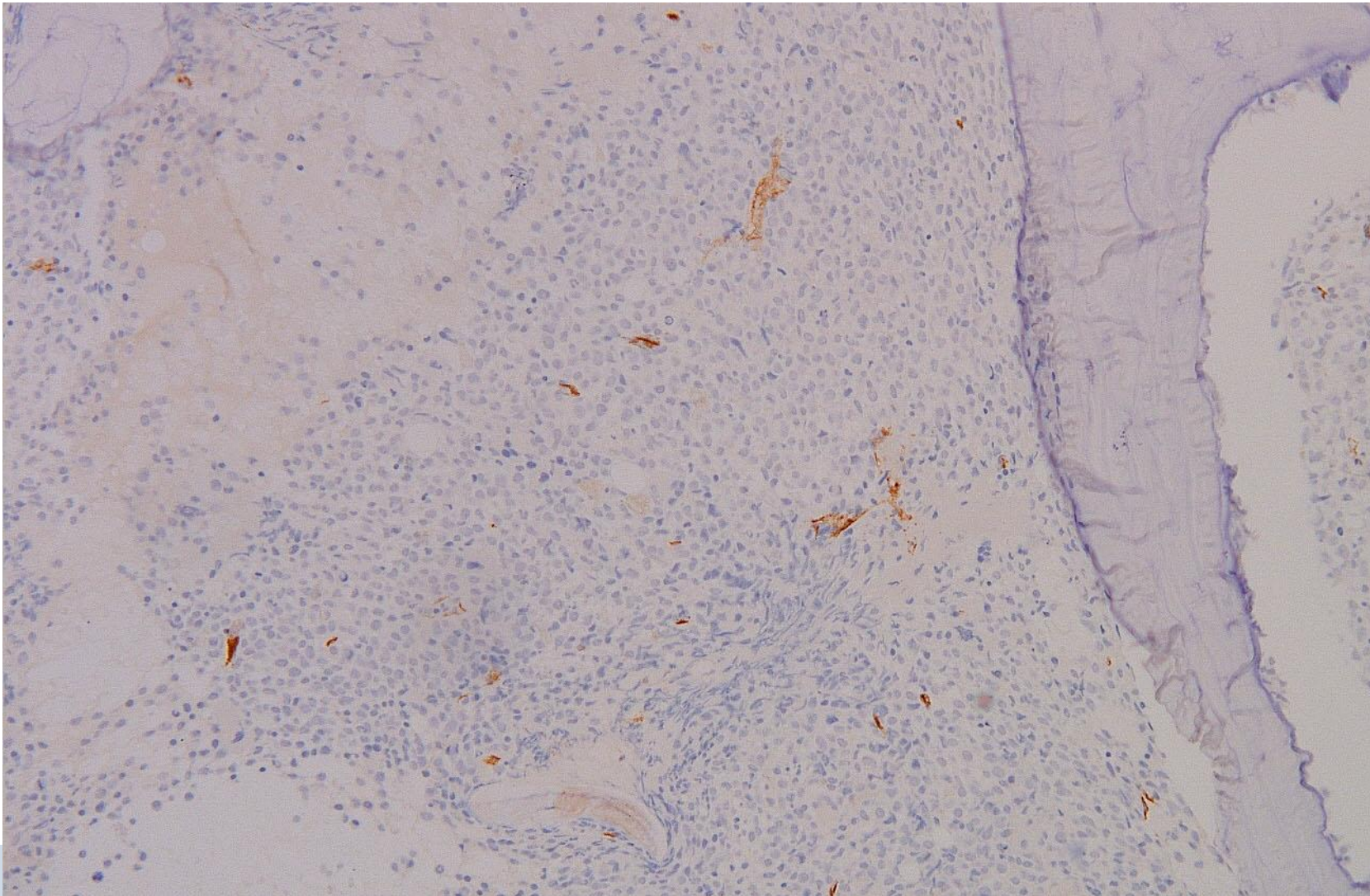




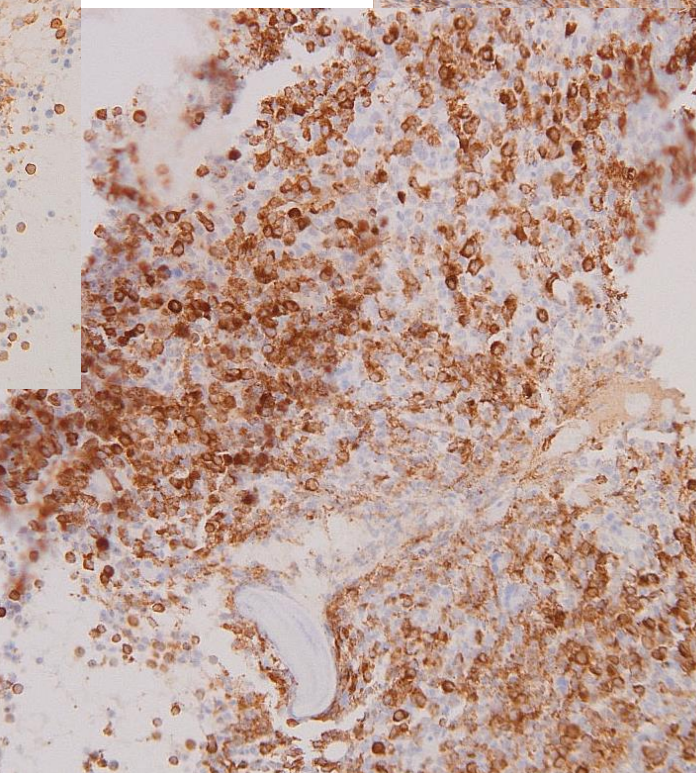
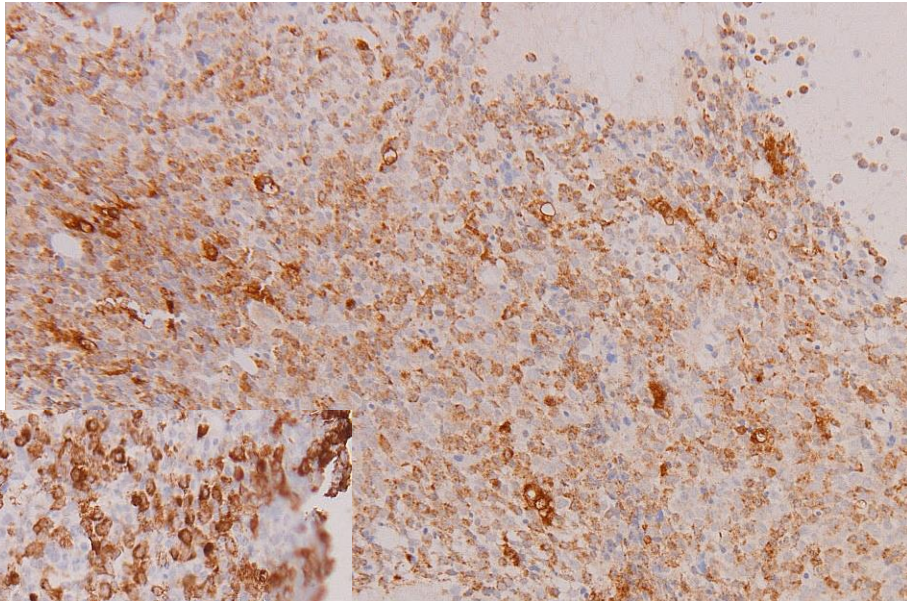
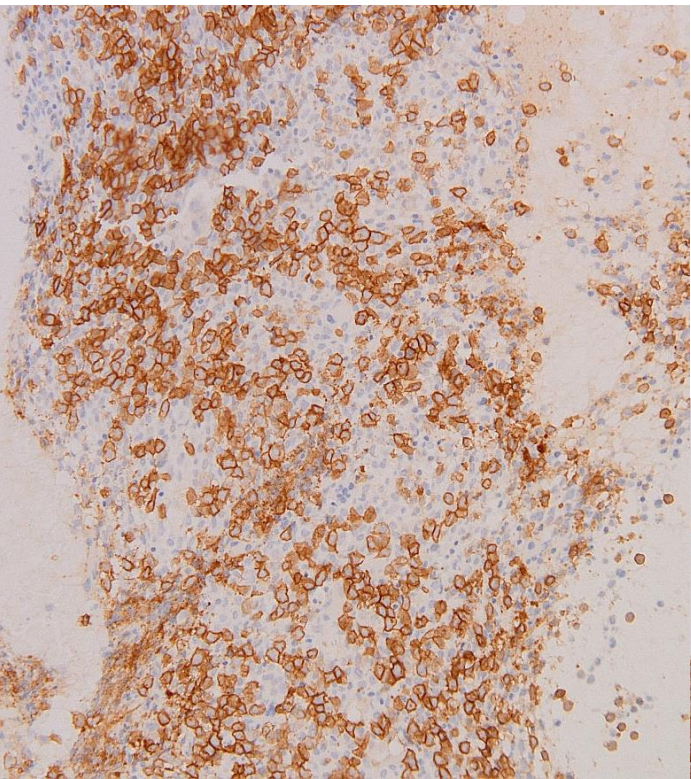




CD34

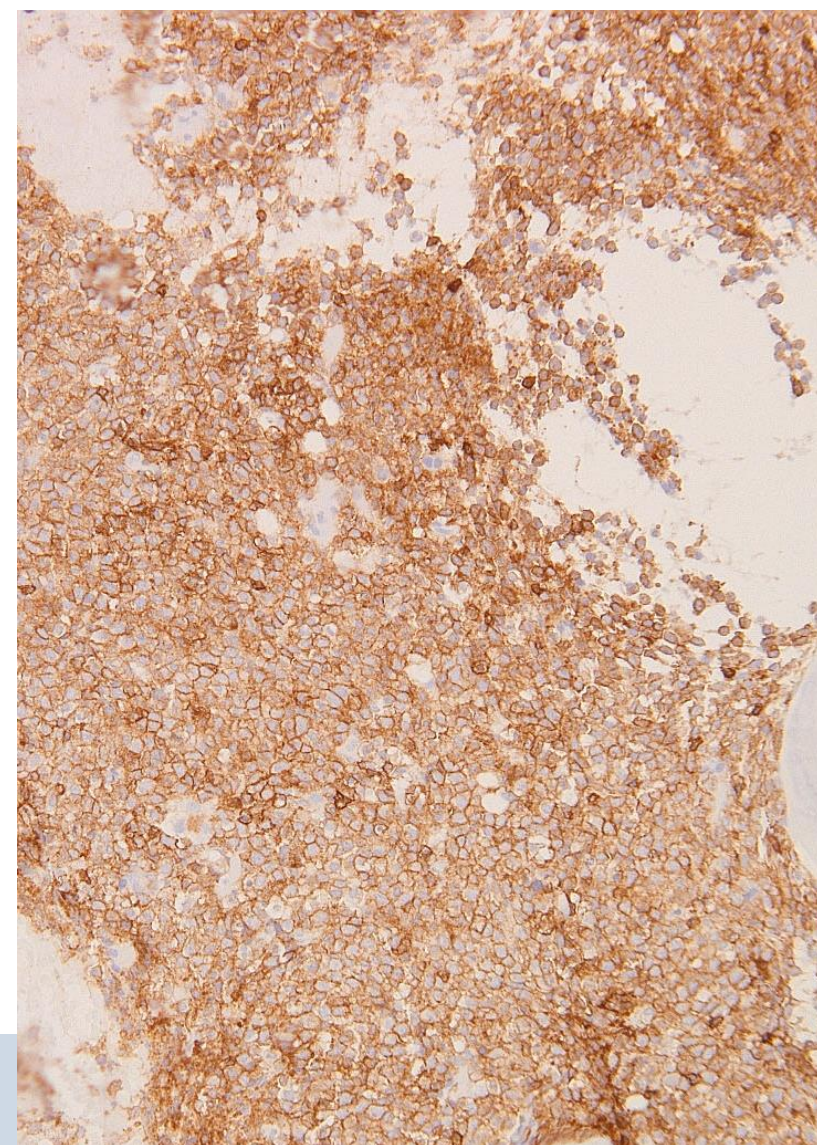
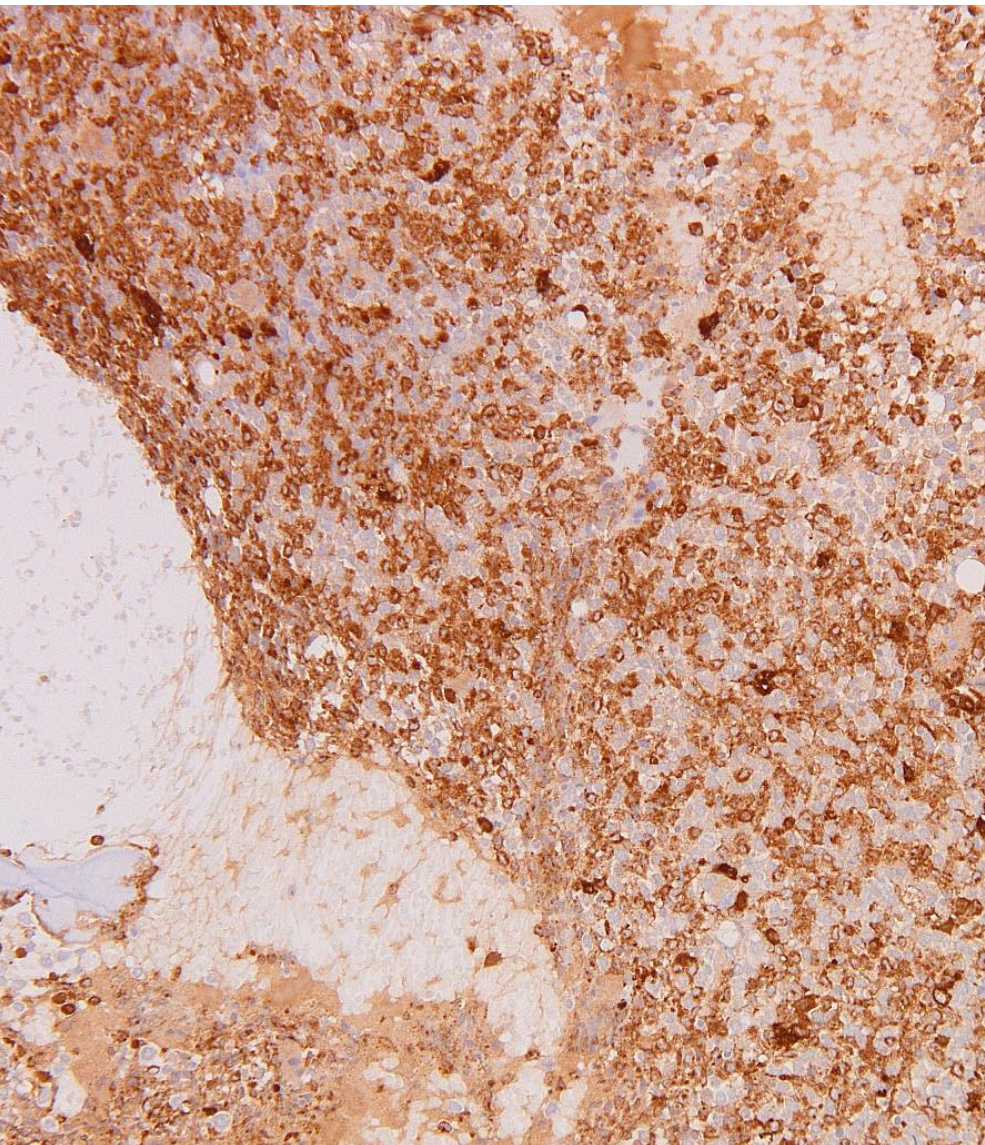


CD117, MPO en CD68





Lysozym en CD45





Diagnostische methoden

morfologie

May-Grunwald Giemsa kleuring

cytochemie

myeloperoxydase of Sudan black kleuring

non-specifieke esterase

immunofenotypering

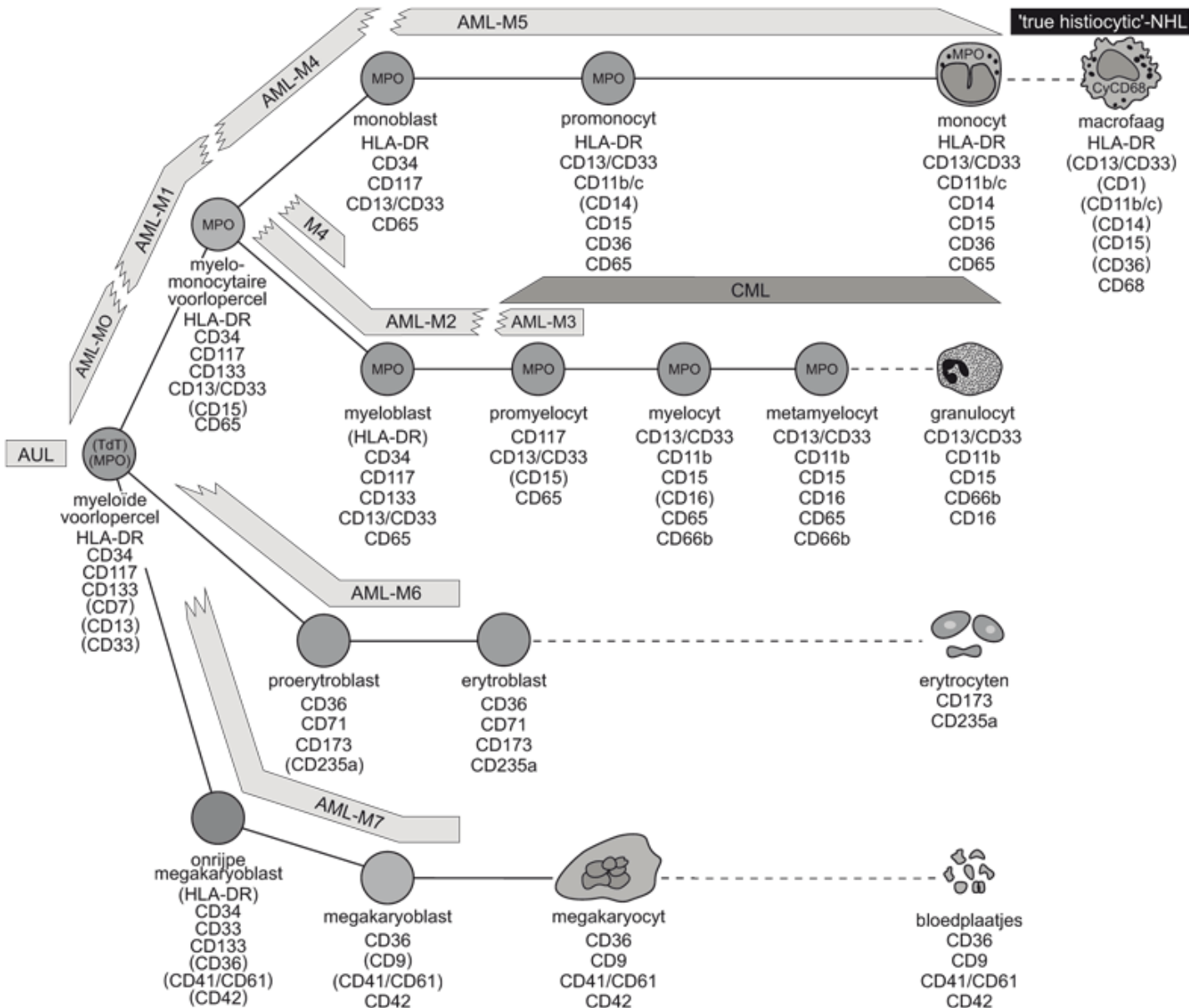
cytogenetica

metafase analyse, FISH

moleculaire biologie

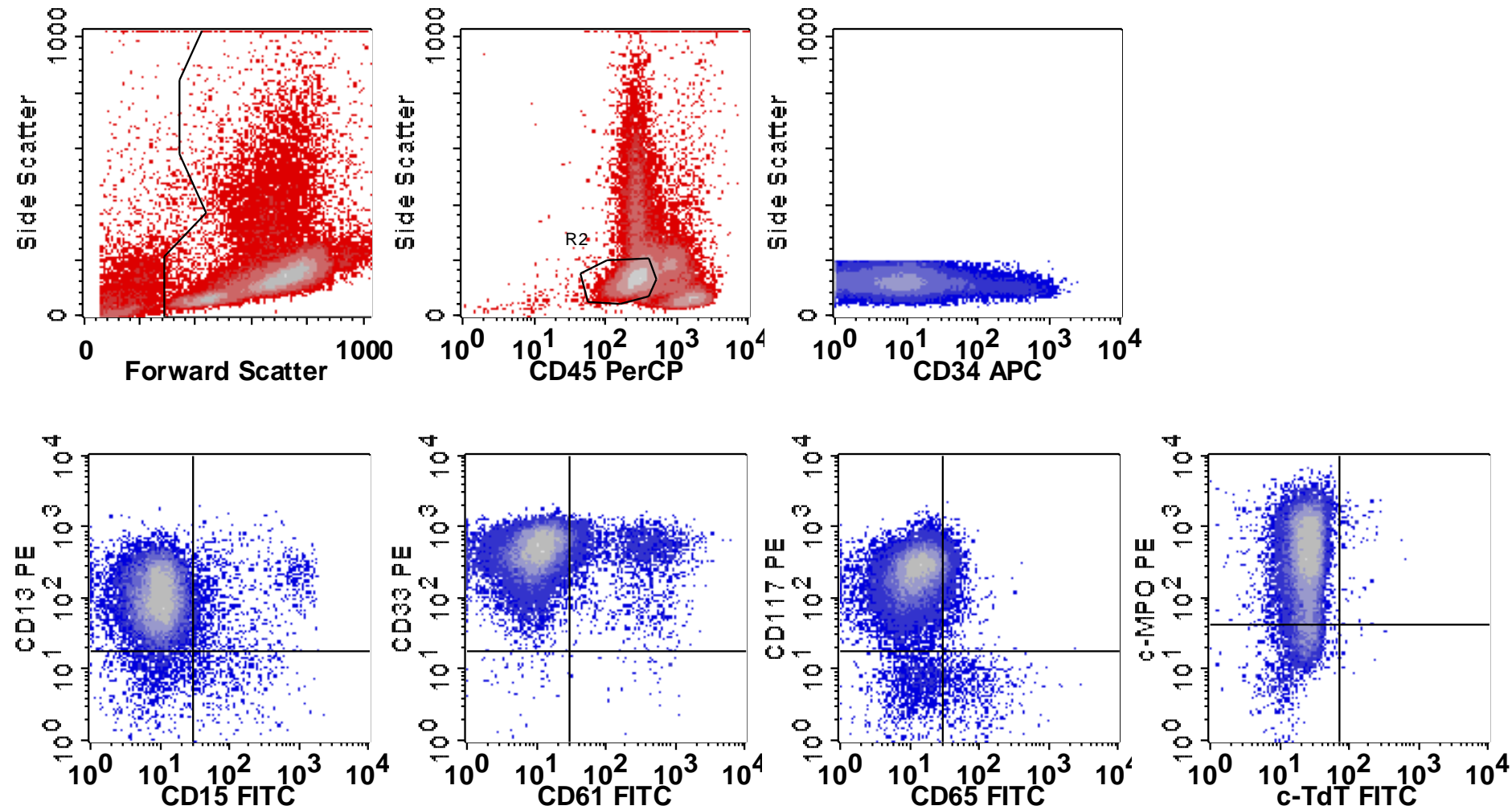
PCR

immunofenotypering





voorbeeld





Immunofenotypering en acute leukemie

Minimale residuale ziekte detectie

Oppervlakte kenmerken die niet op normale cel
thuishoren, specifiek voor de leukemie:

LAP=leukemia associated phenotype

Bijvoorbeeld CD7 op AML



Rol immunofenotypering bij diagnose AML/MDS

- Klassificatie: MPO-negatieve AML
- Prognose: -
- MRD detectie
- Therapie: anti-CD33, ..
- MDS: voor diagnose: in gebruik, voor prognose: experimenteel



Diagnostische methoden

morfologie

May-Grunwald Giemsa kleuring

cytochemie

myeloperoxydase of Sudan black

kleuring

non-specifieke esterase

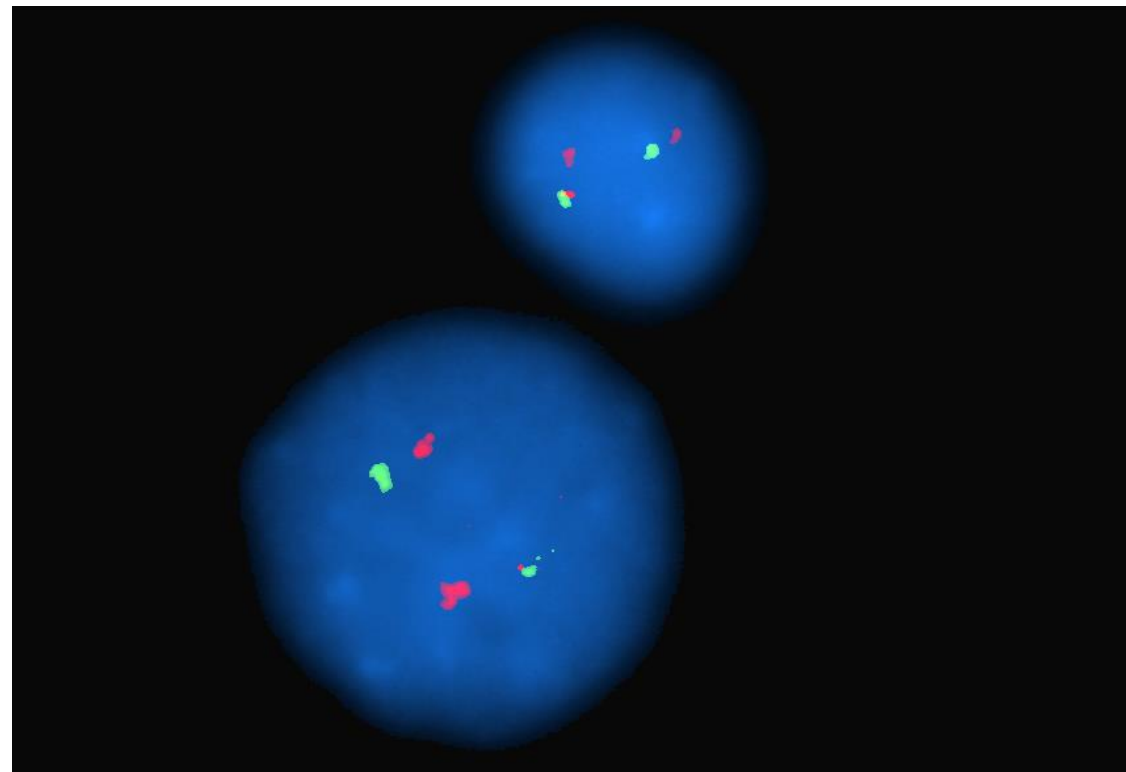
immunofenotypering

cytogenetica

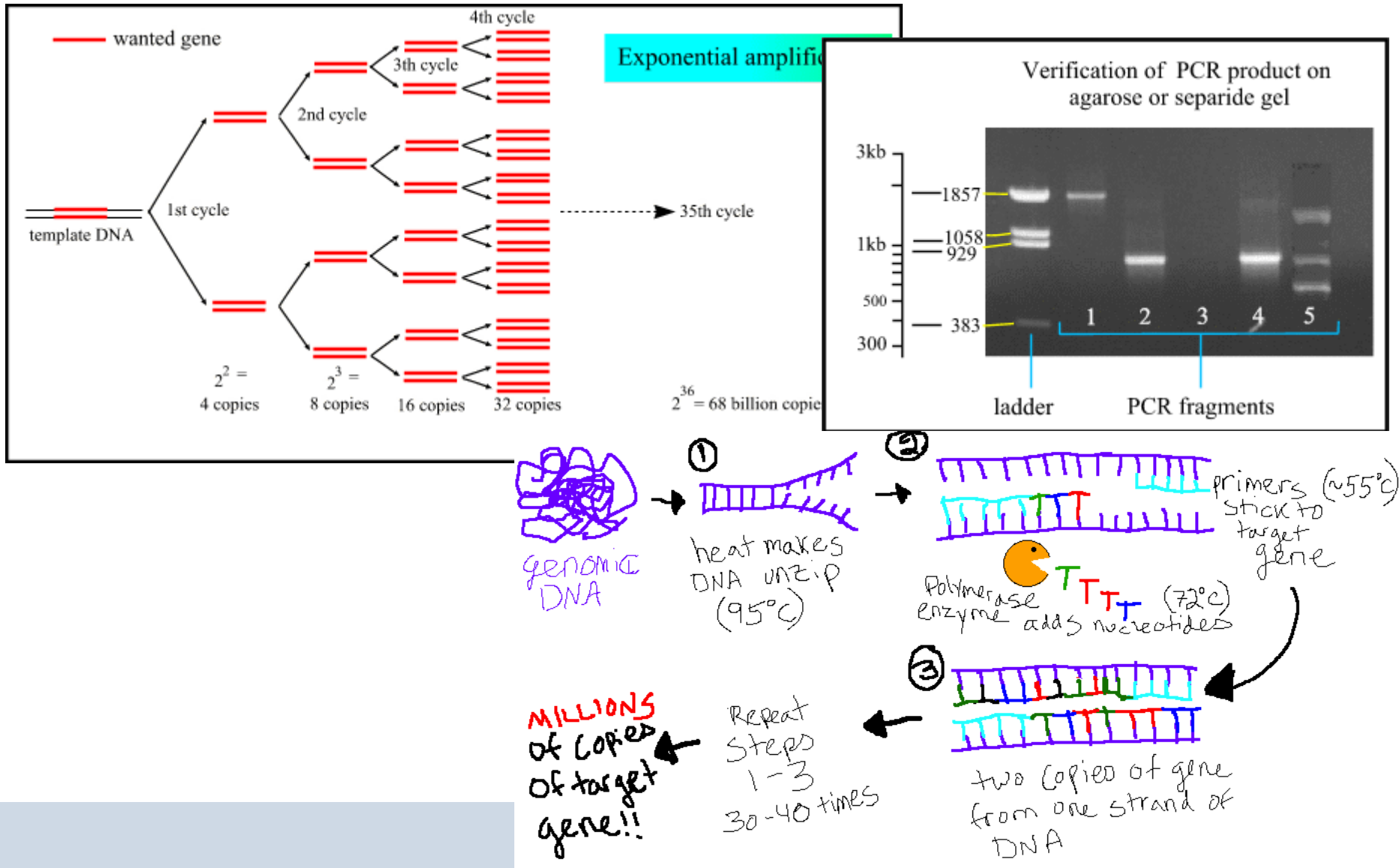
metafase analyse, FISH

moleculaire biologie

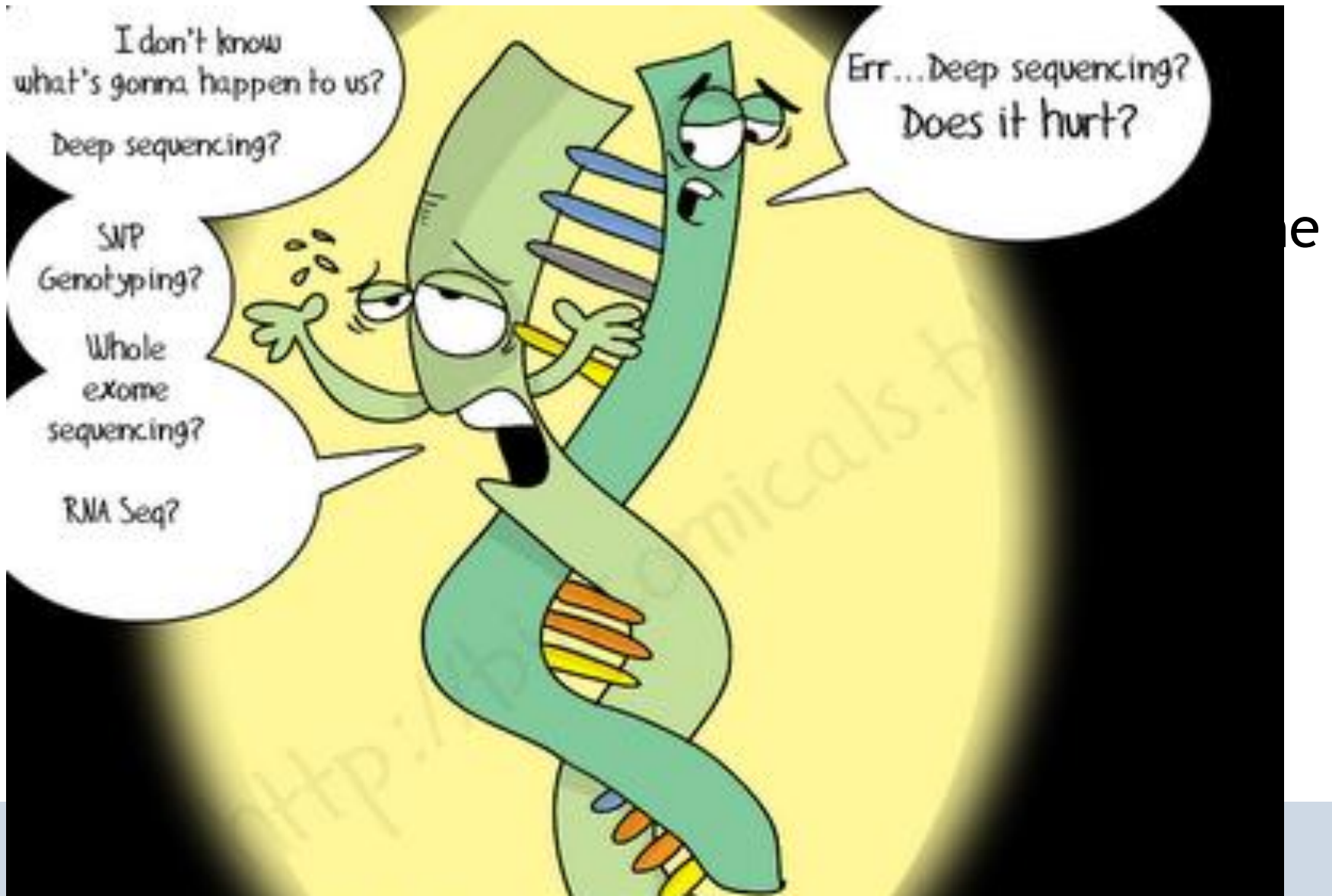
PCR



Diagnostische methoden: PCR



Rol cytogenetica/moleculaire diagnostiek bij diagnose AML/MDS





ELN risk stratification

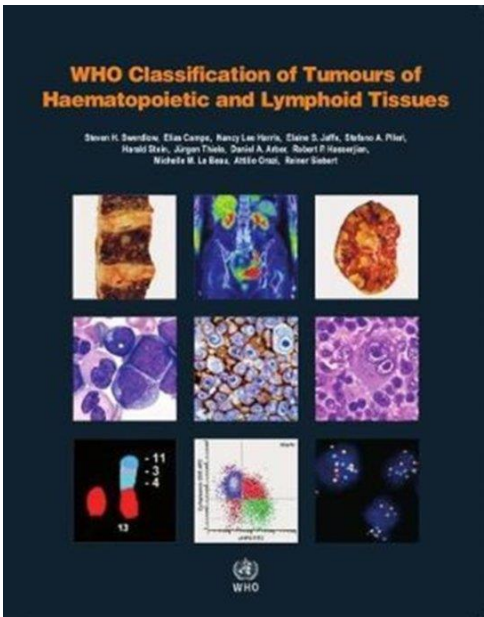
Table 6. 2022 ELN risk classification by genetics at initial diagnosis*

Risk category†	Genetic abnormality
Favorable	<ul style="list-style-type: none">• t(8;21)(q22;q22.1)/RUNX1::RUNX1T1†,‡• inv(16)(p13.1q22) or t(16;16)(p13.1;q22)/CBFB::MYH11†,‡• Mutated NPM1†,§ without FLT3-ITD• bZIP in-frame mutated CEBPA
Intermediate	<ul style="list-style-type: none">• Mutated NPM1†,§ with FLT3-ITD• Wild-type NPM1 with FLT3-ITD (without adverse-risk genetic lesions)• t(9;11)(p21.3;q23.3)/MLLT3::KMT2A†,¶• Cytogenetic and/or molecular abnormalities not classified as favorable or adverse
Adverse	<ul style="list-style-type: none">• t(6;9)(p23.3;q34.1)/DEK::NUP214• t(v;11q23.3)/KMT2A-rearranged#• t(9;22)(q34.1;q11.2)/BCR::ABL1• t(8;16)(p11.2;p13.3)/KAT6A::CREBBP• inv(3)(q21.3q26.2) or t(3;3)(q21.3;q26.2)/GATA2, MECOM(EVI1)• t(3q26.2,v)/MECOM(EVI1)-rearranged<ul style="list-style-type: none">– 5 or del(5q); – 7; – 17/abn(17p)• Complex karyotype,** monosomal karyotype††• Mutated ASXL1, BCOR, EZH2, RUNX1, SF3B1, SRSF2, STAG2, U2AF1, and/or ZRSR2††• Mutated TP53*



Classificatie acute leukemie

WHO 2016



REVIEW ARTICLE OPEN

Check for updates

The 5th edition of the World Health Organization Classification of Haematolymphoid Tumours: Myeloid and Histiocytic/Dendritic Neoplasms

Joseph D. Khoury ¹, Eric Solary ², Oussama Abla ³, Yassmine Akkari ⁴, Rita Alaggio ⁵, Jane F. Apperley ⁶, Rafael Bejar ⁷, Emilio Berti ⁸, Lambert Busque ⁹, John K. C. Chan ¹⁰, Weina Chen ¹¹, Xueyan Chen ¹², Wee-Joo Chng ¹³, John K. Choi ¹⁴, Isabel Colmenero ¹⁵, Sarah E. Coupland ¹⁶, Nicholas C. P. Gross ¹⁷, Daphne De Jong ¹⁸, M. Tarek Elghetany ¹⁹, Emiko Takahashi ²⁰, Jean-François Emile ²¹, Judith Ferré ²², Linda Fogelstrand ²³, Michaela Fontenay ²⁴, Ulrich Gemig ²⁵, Sumeet Gujral ²⁶, Torsten Haferlach ²⁷, Claire Harrison ²⁸, Shimin Hu ¹, Joop H. Jansen ³⁰, Rashmi Kanagal-Shamanna ¹, Hagop M. Kantarjian ³¹, Christian P. Kratz ³², Xiao-Qiu Li ³³, Megan S. Lim ³⁴, Keith Loeb ³⁵, Sanam Loghavi ¹, Andrea Marcogliese ¹⁹, Soheil Meshinch ³⁶, Phillip Michaels ³⁷, Kikkeri N. Naresh ³⁵, Yasodha Natkunam ³⁸, Reza Nejati ³⁹, German Ott ⁴⁰, Eric Padron ⁴¹, Keyur P. Patel ¹, Nikhil Patkar ⁴², Jennifer Picarsic ⁴³, Uwe Platzbecker ⁴⁴, Irene Roberts ⁴⁵, Anna Schuh ⁴⁶, William Sewell ⁴⁷, Reiner Siebert ⁴⁸, Prashant Tembhare ⁴², Jeffrey Tyner ⁴⁹, Srdan Verstovsek ³¹, Wei Wang ¹, Brent Wood ⁵⁰, Wenbin Xiao ⁵¹, Cecilia Yeung ⁴⁵ and Andreas Hochhaus ⁵²

© The Author(s) 2022

The upcoming 5th edition of the World Health Organization (WHO) Classification of Haematolymphoid Tumours is part of an effort to hierarchically catalogue human cancers arising in various organ systems within a single relational database. This paper summarizes the new WHO classification scheme for myeloid and histiocytic/dendritic neoplasms and provides an overview of the principles and rationale underpinning changes from the prior edition. The definition and diagnosis of disease types continues to be based on multiple clinicopathologic parameters, but with refinement of diagnostic criteria and emphasis on therapeutically and/or prognostically actionable biomarkers. While a genetic basis for defining diseases is sought where possible, the classification strives to keep practical worldwide applicability in perspective. The result is an enhanced, contemporary, evidence-based classification of myeloid and histiocytic/dendritic neoplasms, rooted in molecular biology and an organizational structure that permits future scalability as new discoveries continue to inexorably inform future editions.

Leukemia; <https://doi.org/10.1038/s41375-022-01613-1>

Acute Myeloïde Leukemie: algemeen: definitie



- > 20% blasten in het beenmerg

uitzondering:

- AML met een specifieke genetische afwijking waarbij kliniek en beloop hetzelfde is bij blasten% < 20%
- AML of MDS na chemo- of radiotherapie: deze vallen in de WHO 2022 onder de groep myeloïde neoplasmata post cytotoxische therapie (MN-pCT)

Je kijkt in aspiraat (%) bij flowcytometrie: vaak niet representatief door bloedbijmenging) maar soms dry tap : Blastenpercentage in histologie : lastiger als CD34-

Definitie lymfatisch vs myeloid

- myeloperoxidase of Sudan black kleuring positief > 3%

uitzondering:

- Auerse staaf: geen MPO/SBB nodig
- SBB en MPO negatief maar immunofenotypering wijst op:
- AML met minimale differentiatie
- Acute ongedifferentieerde leukemie (AUL)
- monocytaire/monoblastaire leukemie
- pure erythroïde leukemie
- acute megakaryoblastaire leukemie
- acute basofiele leukemie
- blastair plasmacytoid dendritische cel neoplasma

Andersom geredeneerd: lymfatische leukemie moet immunofenotypisch kenmerken hebben van een T of B lymfoblast

WHO 2022



- Acute myeloïde leukemie met definierende genetische afwijkingen

- Hierbij dus geen 20% criterium alleen wel nog bij *BCR ABL1* en *CEBPA*

ICC: >10% bij deze categorie)

Tabel 1: Acute myeloïde leukemie

Acute myeloïde leukemie met definierende genetische afwijkingen:

Acute promvelocytenleukemie met *PML::RARA* fusie
Acute myeloïde leukemie met *RUNX::RUNX1T1* fusie
Acute myeloïde leukemie met *CBFB::MYH11* fusie
Acute myeloïde leukemie met *DEK::NUP214* fusie
Acute myeloïde leukemie met *RBM15::MRTFA* fusie
Acute myeloïde leukemie met *BCR::ABL1* fusie
Acute myeloïde leukemie met *KMT2A* herschikking
Acute myeloïde leukemie met *MECOM* herschikking
Acute myeloïde leukemie met *NUP98* herschikking
Acute myeloïde leukemie met *NPM1* mutatie
Acute myeloïde leukemie met *CEBPA* mutatie
Acute myeloïde leukemie, *myelodysplasie* gerelateerd
Acute myeloïde leukemie met andere gedefinieerde genetische veranderingen

Acute myeloïde leukemie gedefineerd door differentiatie

Acute myeloïde leukemie gedefinieerd door differentiatie:

Acute myeloïde leukemie met minimale differentiatie
Acute myeloïde leukemie zonder maturatie
Acute myeloïde leukemie met maturatie
Acute basofiele leukemie
Acute myelomonocytaire leukemie
Acute monocytaire leukemie
Acute erytroïde leukemie
Acute megakaryoblastaire leukemie



AML t(15;17) (PML/RAR α) aka APL: acute promyelocytene leukemie

5-8% van AML

Meestal pancytopenie

diffuse intravasale stolling !

Dysplastische promyelocyt: takkenbos cellen, bilobaire nuclei, zeer veel granula

MPO sterk positief

My+ (CD33 homogeen, CD13 heterogeen), CD34-, HLADR-, CD15-

PML/RAR α positief, meestal door t(15;17)

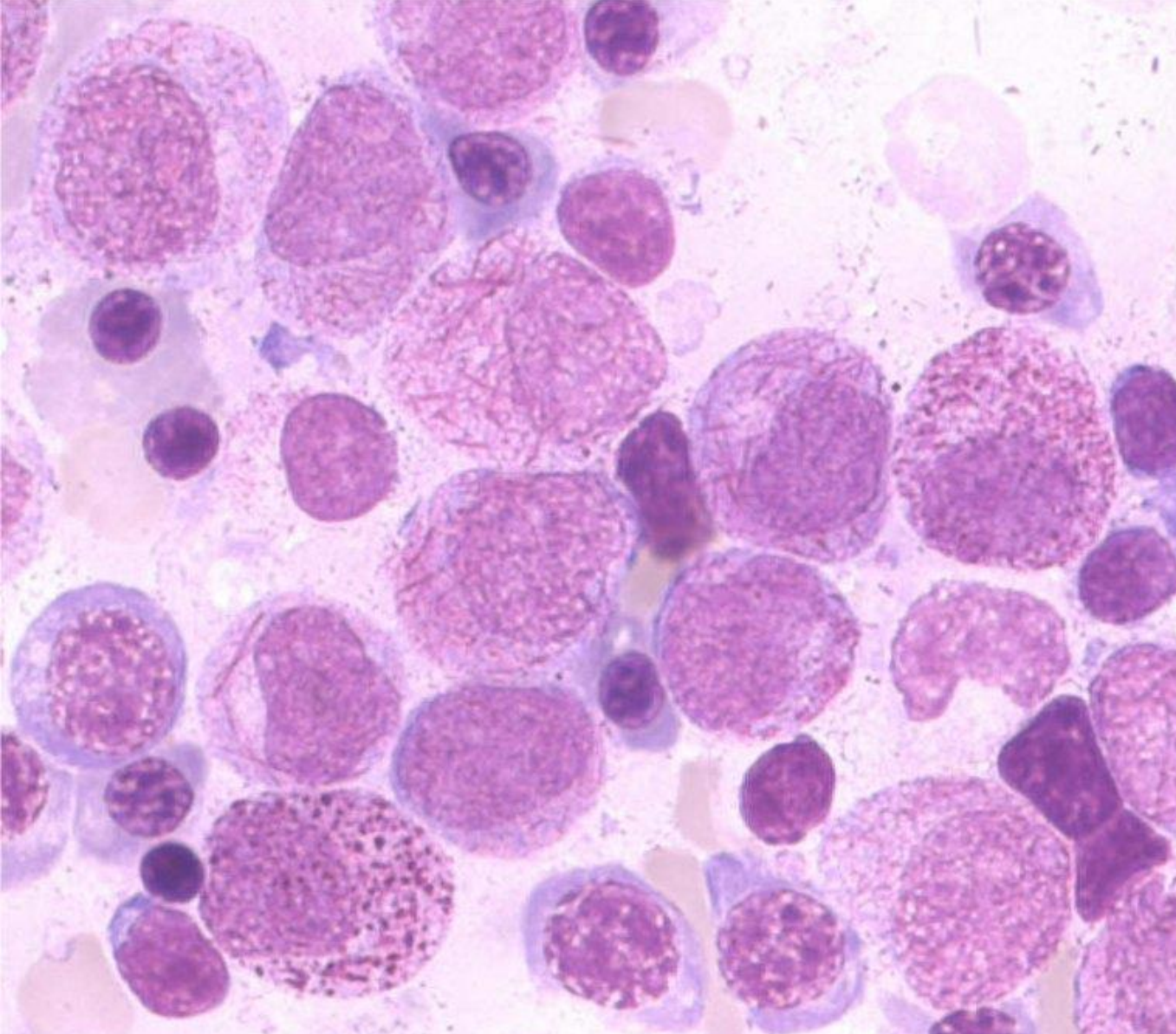
Microgranulair: leucocytose, bilobaire/vlindervormige kern, “leeg” cytoplasma

MPO: cytoplasma sterk +

CD34 deels+, CD2+

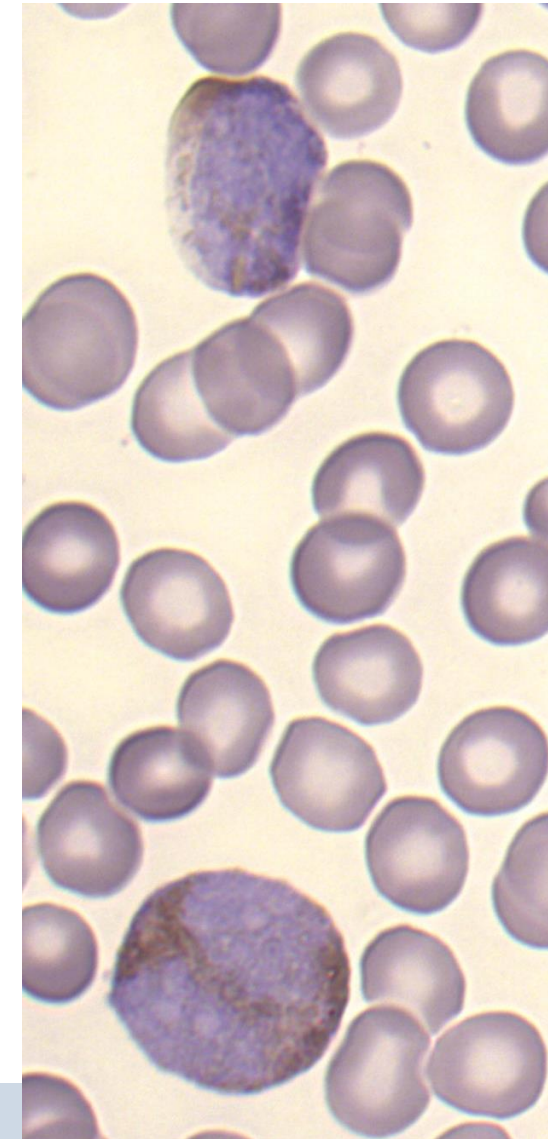
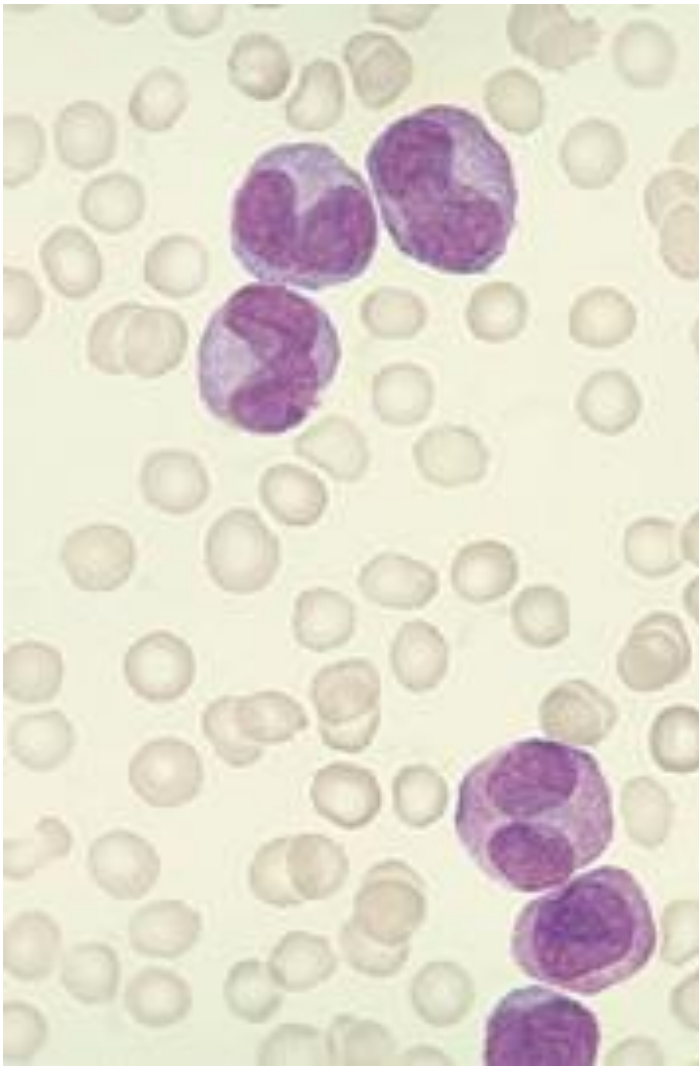


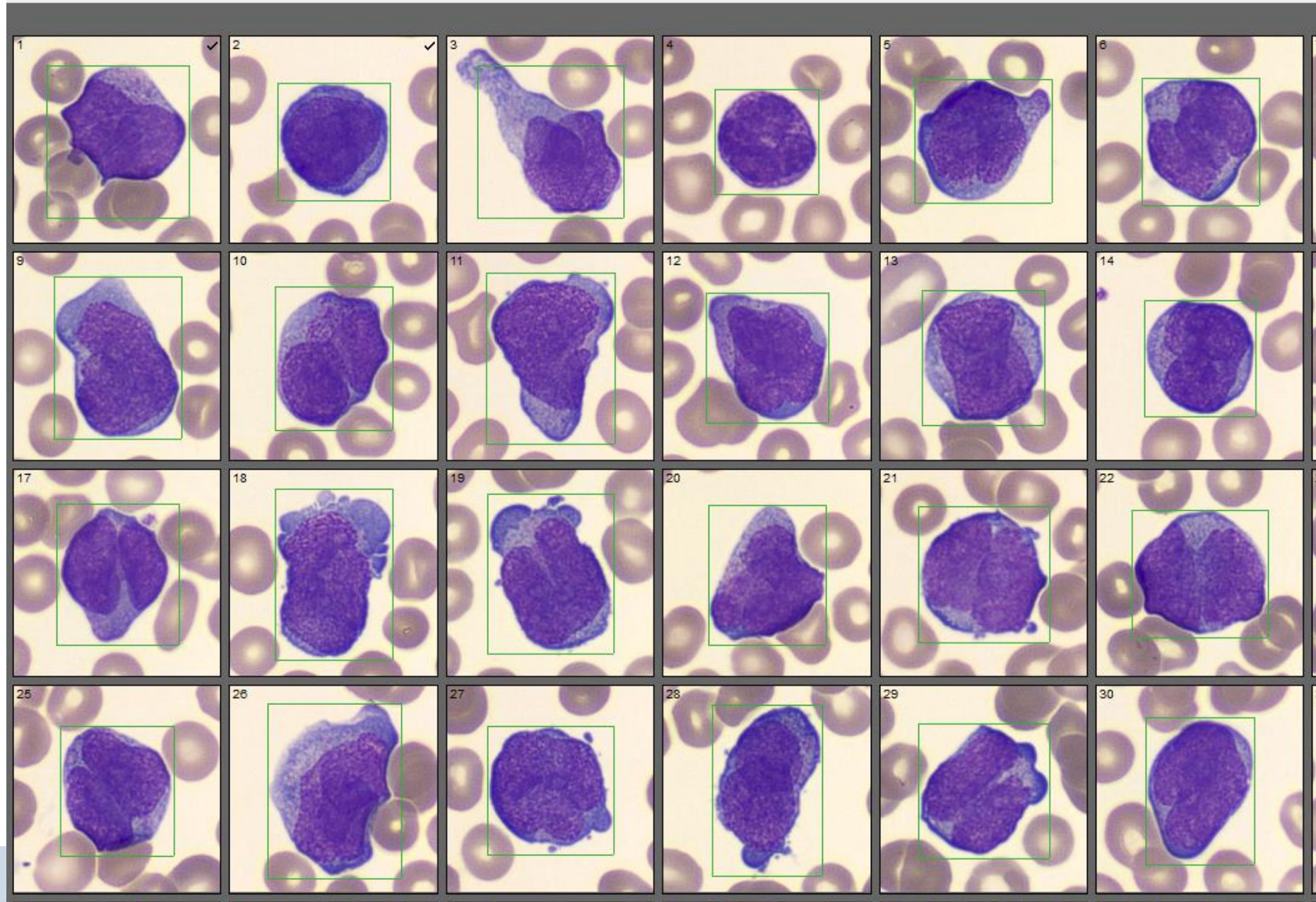
Acute promyelocytene leukemie





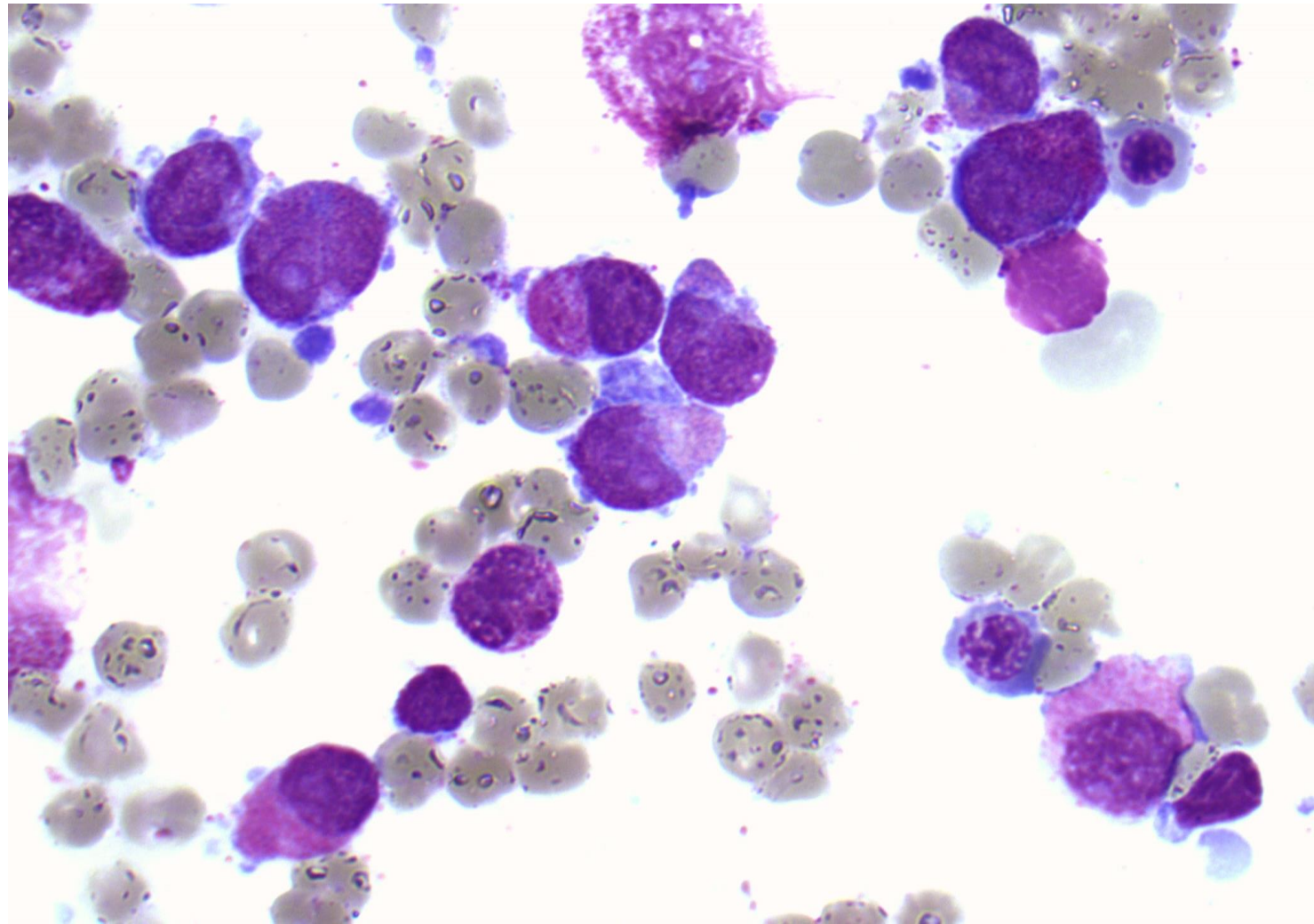
Variant APL

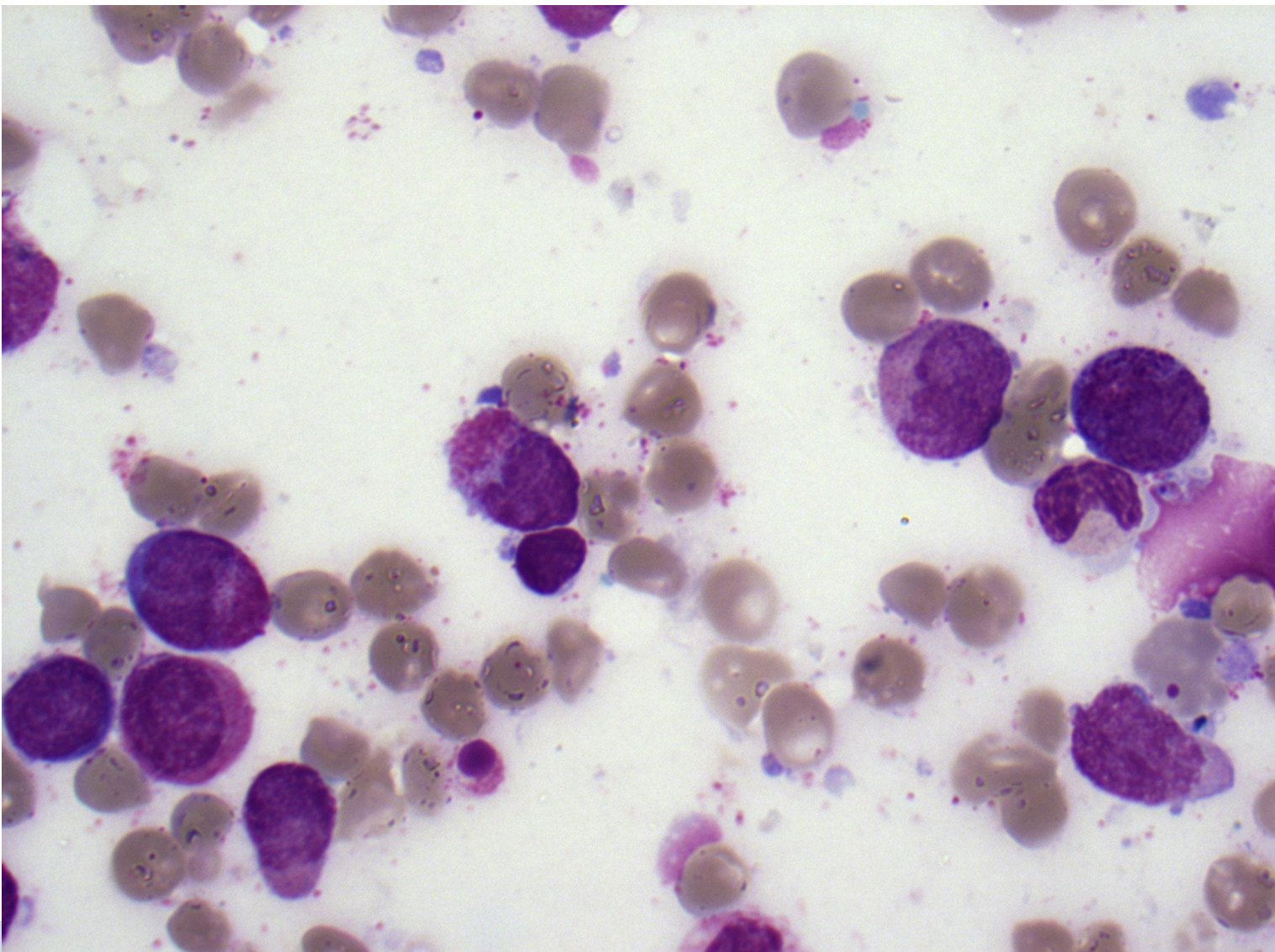






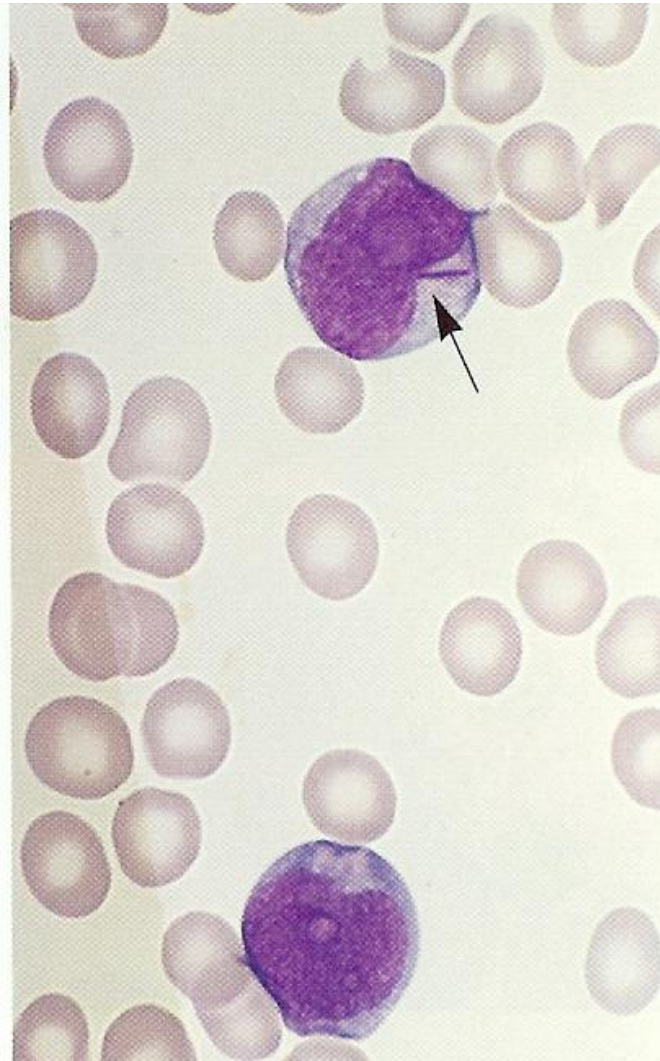
En dit??







En dit??

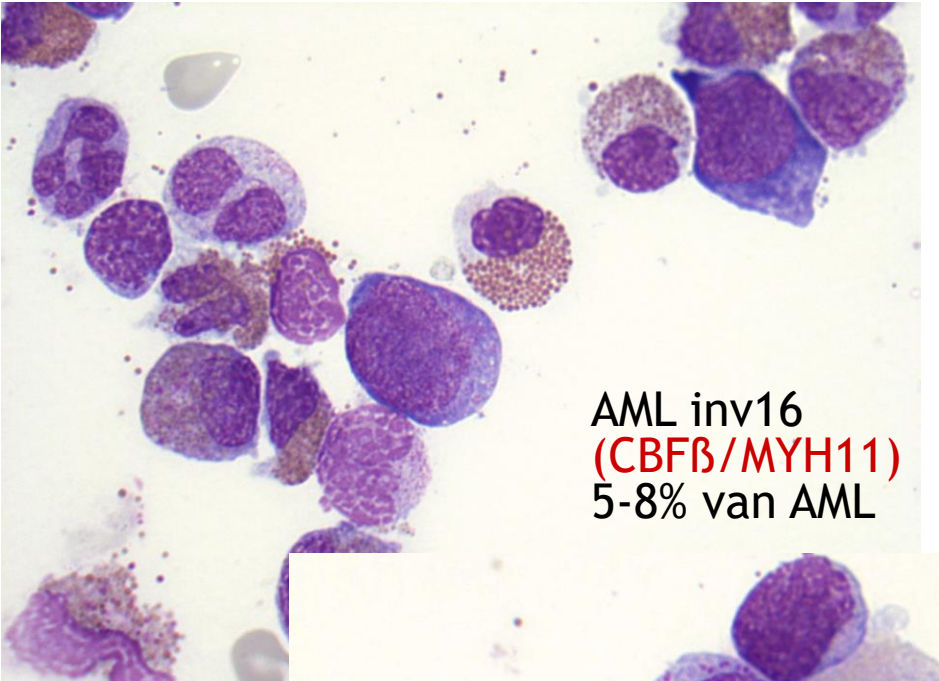


AML t(8;21) (AML/ETO)

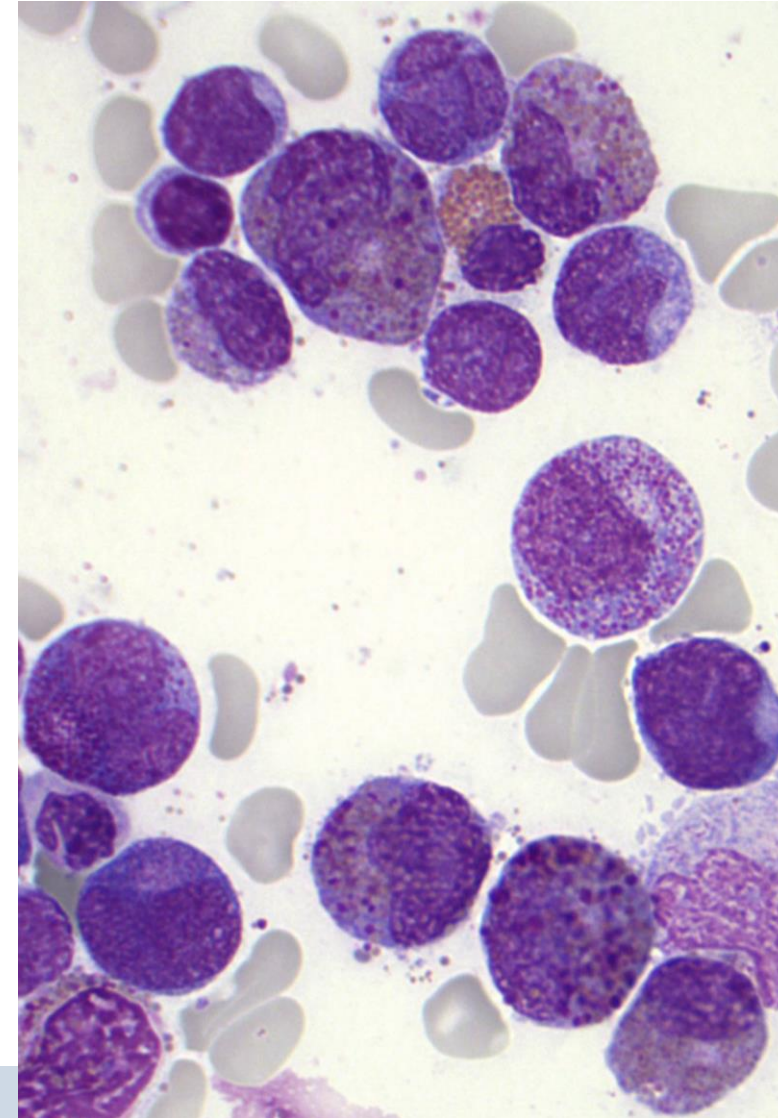
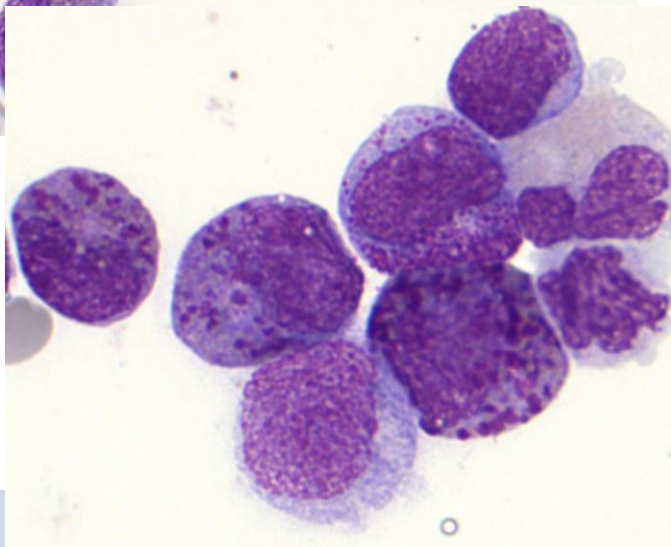
- dysgranulopoiese (abnormale segmentatie, grote granula, rozig cytoplasma)
- naaldvormige Auer staafjes (ook in granulocyten)
- sterke MPO/Sudan reactie
- CD19+ vaak
- 5% van AML



En dit?

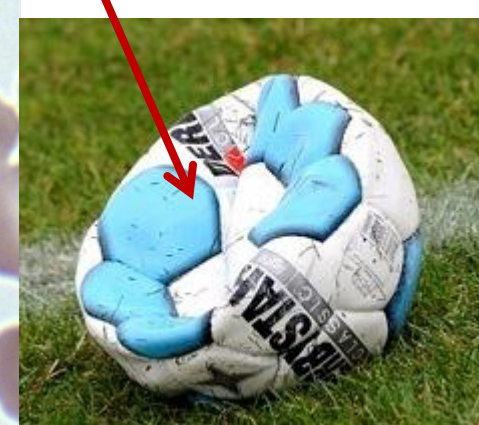
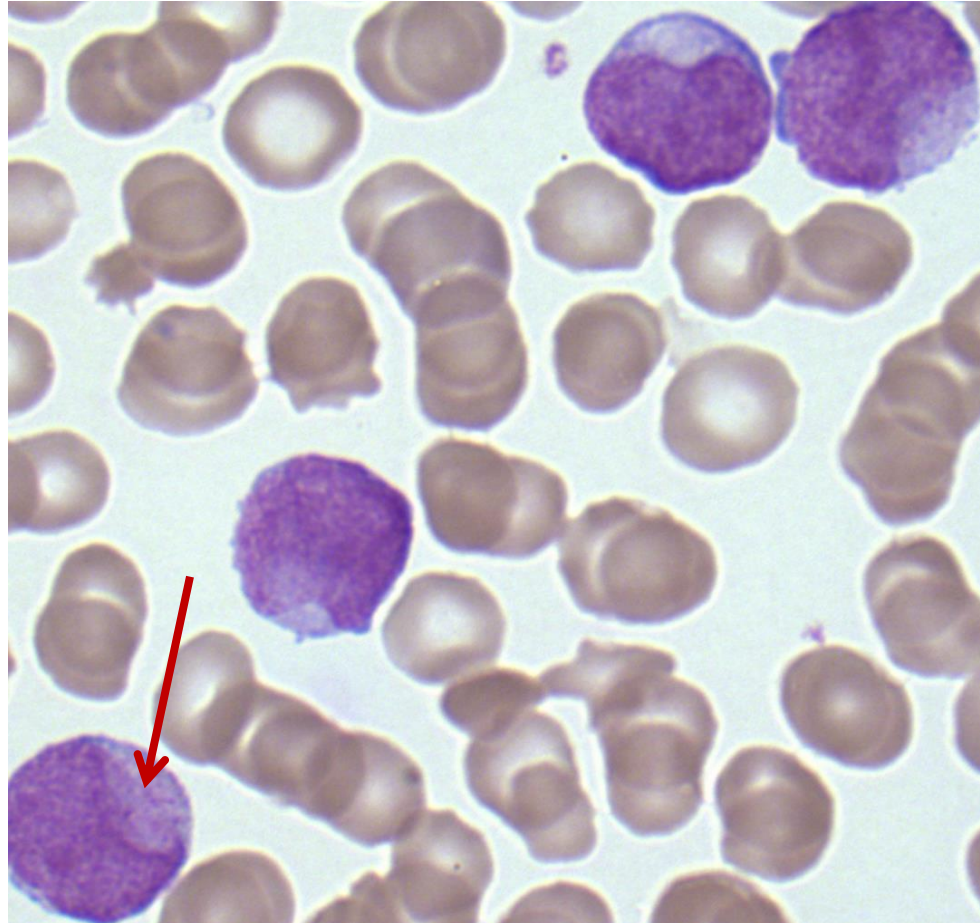


AML inv16
($CBF\beta$ /MYH11)
5-8% van AML





En dit??





AML myelodysplasie gerelateerd

- >20% blasten, met MDS gerelateerde cytogenetische en/of moleculaire afwijkingen, de novo of na eerdere MDS/MPN
- Morfologische dysplasie is niet meer nodig voor diagnose
- Voorgeschiedenis met MDS

Nodig voor deze diagnose:

- de cytogenetische /moleculaire afwijkingen uit tabel
- En/of een voorgeschiedenis van MDS of MPN

Tabel 2. cytogenetische en moleculaire afwijkingen die *AML, myelodysplasie gerelateerd* definieren
Definierende cytogenetische afwijkingen:

Complex karyotype (≥ 3 afwijkingen)
5q deletie of verlies van 5q door ongebalanceerde translocatie
Monosomie 7 of 7q deletie of verlies van 7q door ongebalanceerde translocatie
11q deletie
12p deletie of verlies van 12p door ongebalanceerde translocatie
Monosomie 13 of 13q deletie
17p deletie of verlies van 17p door ongebalanceerde translocatie
Isochromosoom 17q
idic(X)(q13)

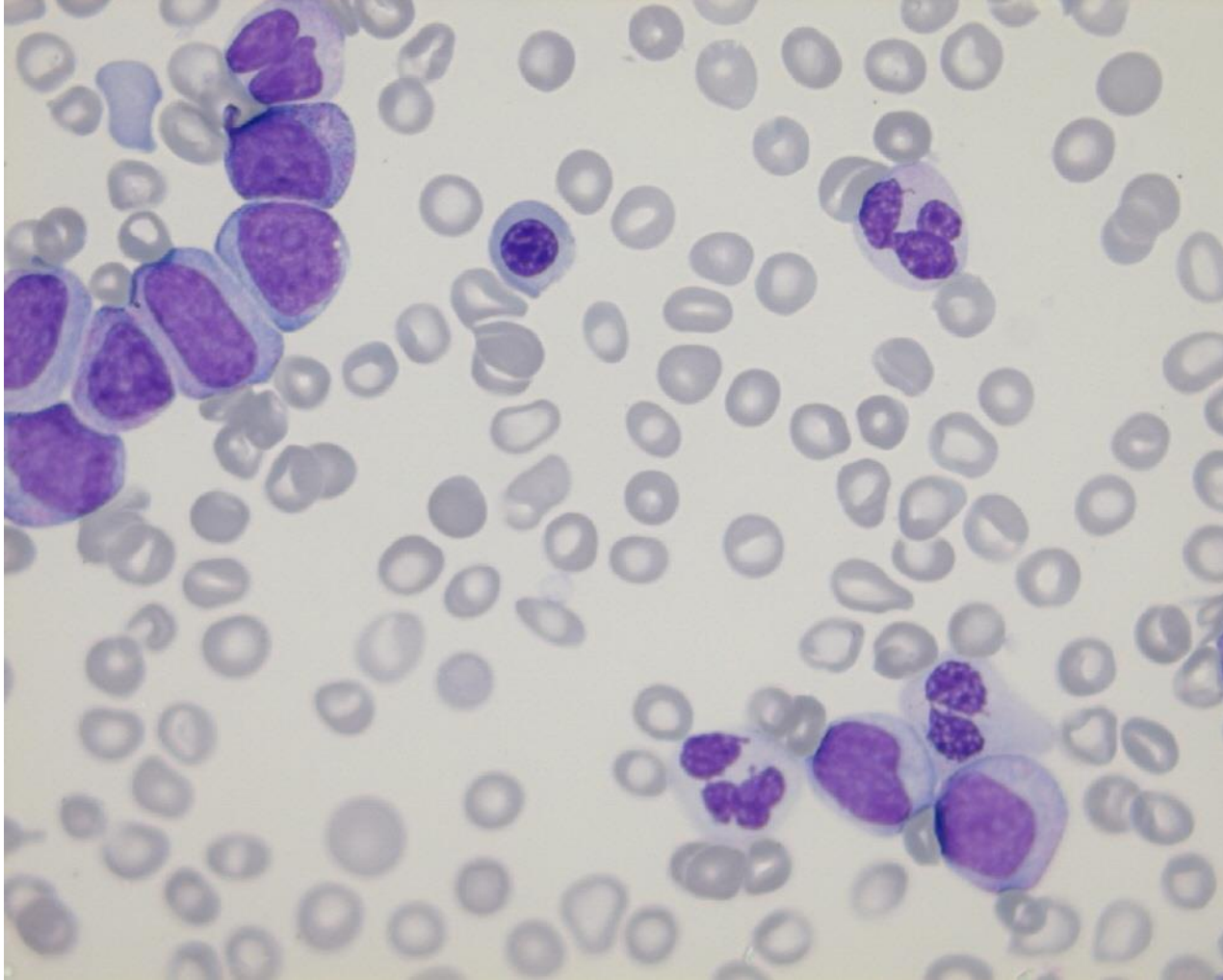
Definierende somatische mutaties:

ASXL1
BCOR
EZH2
SF3B1
SRSF2
STAG2
U2AF1
ZRSR2

ICC ook runx1
mutatie, is weg
uit WHO



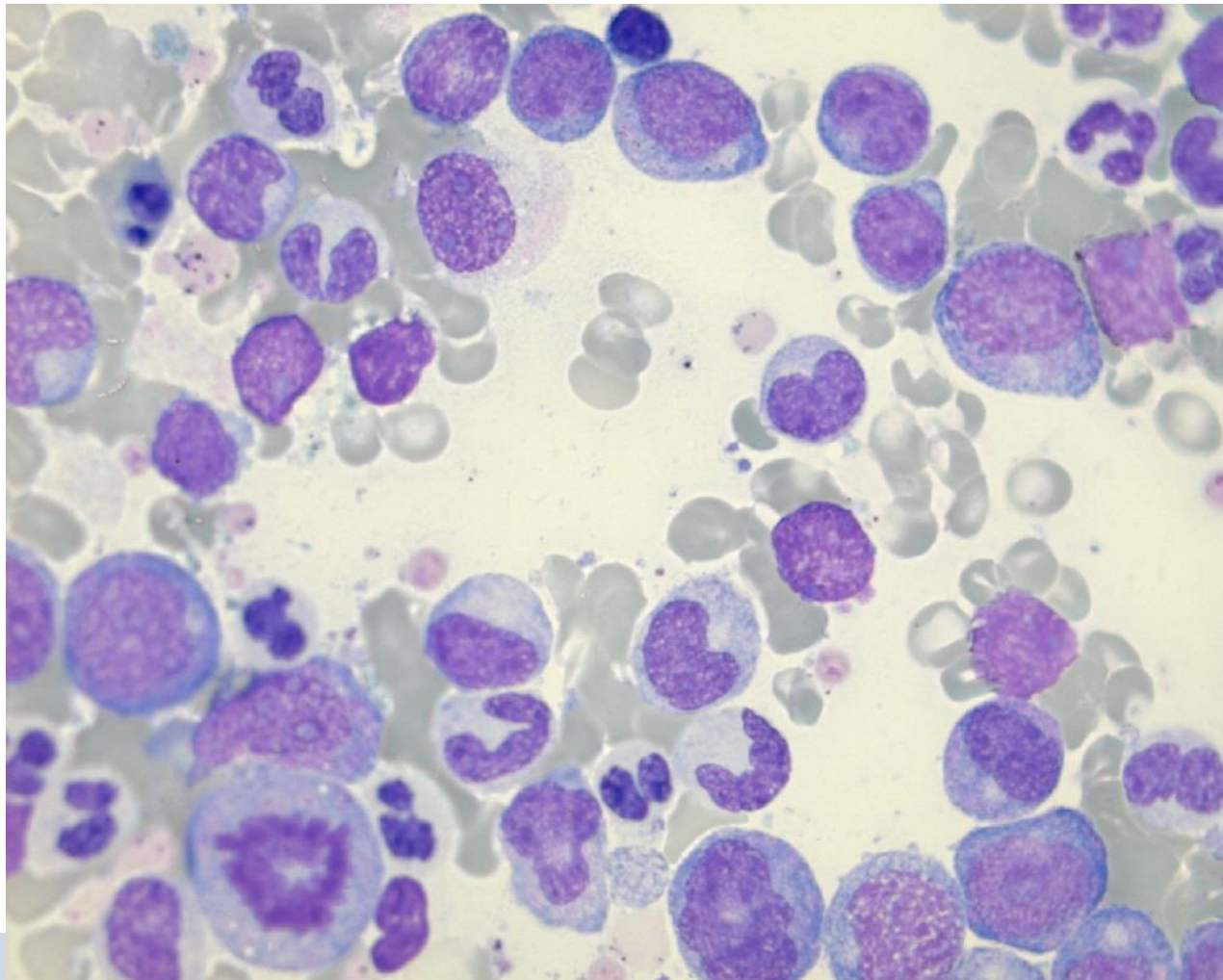
AML met myelodysplasie gerelateerde veranderingen



bloed



AML met myelodysplasie gerelateerde veranderingen



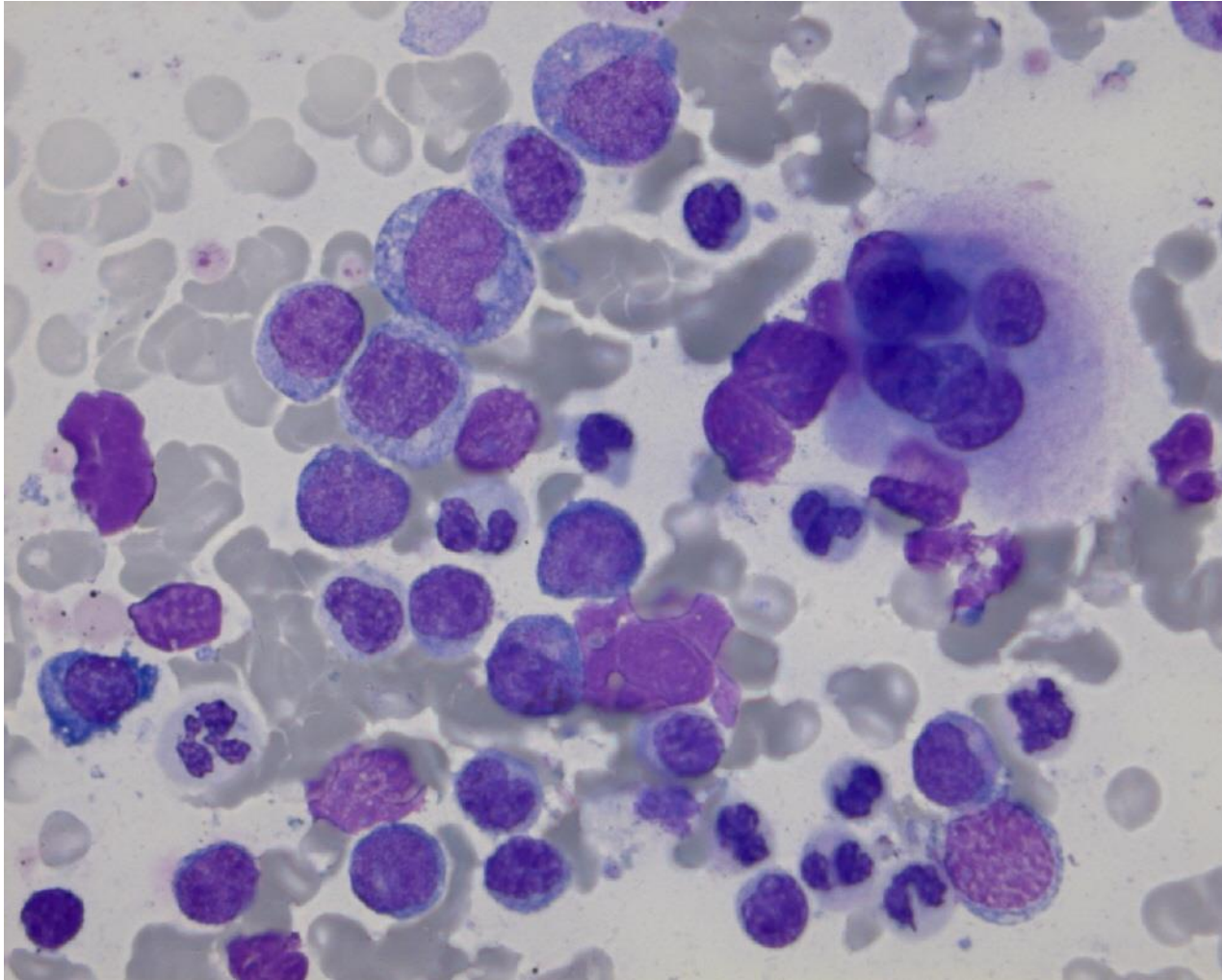
$\geq 20\%$ blasten

≥ 2 cellijnen $\geq 50\%$ dysplasie

beenmerg



AML met myelodysplasie gerelateerde veranderingen



beenmerg



AML gedefinieerd door differentiatie

Tabel 3. Differentiatie kenmerken en criteria voor AML typen gedefinieerd door differentiatie

Omschrijving	kenmerken
AML met minimale differentiatie	MPO- of SBB-expressie van twee of meer van myeloid geassocieerde antigenen zoals CD13, CD33, CD117
AML zonder uitrijping	myeloïde uitrijping < 10%, <u>≥ 3% blasten positief voor MPO of SBB</u> , expressie van twee of meer van myeloid geassocieerde antigenen zoals MPO, CD13, CD33, CD117
AML met uitrijping	myeloïde uitrijping > 10%, <u>≥ 3% blasten positief voor MPO of SBB</u> , expressie van twee of meer van myeloid geassocieerde antigenen zoals MPO, CD13, CD33, CD117, < 20% van de cellen is monocytair monocytaire uitrijping ≥ 20%, myelocytaire uitrijping ≥ 20%, <u>≥ 3% blasten positief voor MPO</u>
acute myelomonocytaire leukemie	Monoblasten, promonocyten en/of monocyten ≥ 80%, myelocytaire uitrijping < 20%. <u>Blasten en promonocyten hebben expressie van tenminste twee monocytaire markers zoals CD11c, CD14, CD36, CD64 of positiviteit voor NSE</u>
Acute monocytaire leukemie	Monoblasten, promonocyten en/of monocyten ≥ 80%, myelocytaire uitrijping < 20%. <u>Blasten en promonocyten hebben expressie van tenminste twee monocytaire markers zoals CD11c, CD14, CD36, CD64 of positiviteit voor NSE</u>
Acute erytroïde leukemie	≥ 80% kernhoudende erytrocyaire cellen met ≥ 30% proerytroblasten (< 80% kernhoudende erytrocyaire cellen sluit deze AML niet altijd uit)
acute megakaryoblasten leukemie	MPO- of SBB-expressie van een of meer van de markers CD41, CD42b, CD61
acute basofiele leukemie	Blasten en onrijpe basofielen met metachromasie bij toluidine blauw kleuring, blasten zijn negatief voor MPO, SBB en NSE en geen sterke CD117 expressie ter uitsluiting van mestcelleukemie



Myeloïd sarcoom

Tumor bestaand uit blasten met of zonder uitrijping, buiten het beenmerg

Architectuur oorspronkelijk weefsel is verwoest.

Kan ook met perifeer bloed betrokken en kan ook uit MDS/MPN ontstaan

Behandeld als AML

Soms aanvullende diagnostiek lastig



Secundaire myeloïde neoplasmata

- Post cytotoxische therapie
- Met kiemlijn predispositie



Myeloïde neoplasma's, secundair aan cytotoxische therapie (MN-pCT)

- t-AML, t-MDS and t-MDS-MPN
- Gedocumenteerde voorgeschiedenis van chemotherapie of groot veld radiotherapie
- Inclusief PARP remmers, exclusief mtx
- Zo precies mogelijk definieren dus indien van toepassing ook cytogenetische afwijking noemen en dan laten volgen door “post cytotoxische therapie”

10 - 20% van AML

- 5-6 jaar gemiddeld na alkylerende middelen, vaak met chromosoom 5, 7/complex afwijkingen
- 2-3 jaar na topoisomerase remmers, translocaties met MLL



Myeloïde neoplasma met kiembaan predispositie

- AML, MDS en MDS/MPN in pt met genetische afwijkingen die geassocieerd zijn met myeloïde maligniteiten

Table 10. Subtypes of myeloid neoplasms associated with germline predisposition.

Myeloid neoplasms with germline predisposition without a pre-existing platelet disorder or organ dysfunction

- Germline *CEBPA* P/LP variant (CEBPA-associated familial AML)
- Germline *DDX41* P/LP variant^a
- Germline *TP53* P/LP variant^a (Li-Fraumeni syndrome)

Myeloid neoplasms with germline predisposition and pre-existing platelet disorder

- Germline *RUNX1* P/LP variant^a (familial platelet disorder with associated myeloid malignancy, FPD-MM)
- Germline *ANKRD26* P/LP variant^a (Thrombocytopenia 2)
- Germline *ETV6* P/LP variant^a (Thrombocytopenia 5)

Myeloid neoplasms with germline predisposition and potential organ dysfunction

- Germline *GATA2* P/LP variant (GATA2-deficiency)
- Bone marrow failure syndromes
 - Severe congenital neutropenia (SCN)
 - Shwachman-Diamond syndrome (SDS)
 - Fanconi anaemia (FA)
- Telomere biology disorders
- RASopathies (Neurofibromatosis type 1, CBL syndrome, Noonan syndrome or Noonan syndrome-like disorders^{a,b})
- Down syndrome^{a,b}
- Germline *SAMD9* P/LP variant (MIRAGE Syndrome)
- Germline *SAMD9L* P/LP variant (SAMD9L-related Ataxia Pancytopenia Syndrome)^c
- Biallelic germline *BLM* P/LP variant (Bloom syndrome)

^aLymphoid neoplasms can also occur.

^bSee respective sections.

^cAtaxia is not always present.

P pathogenic, LP likely pathogenic.



WHO 2016

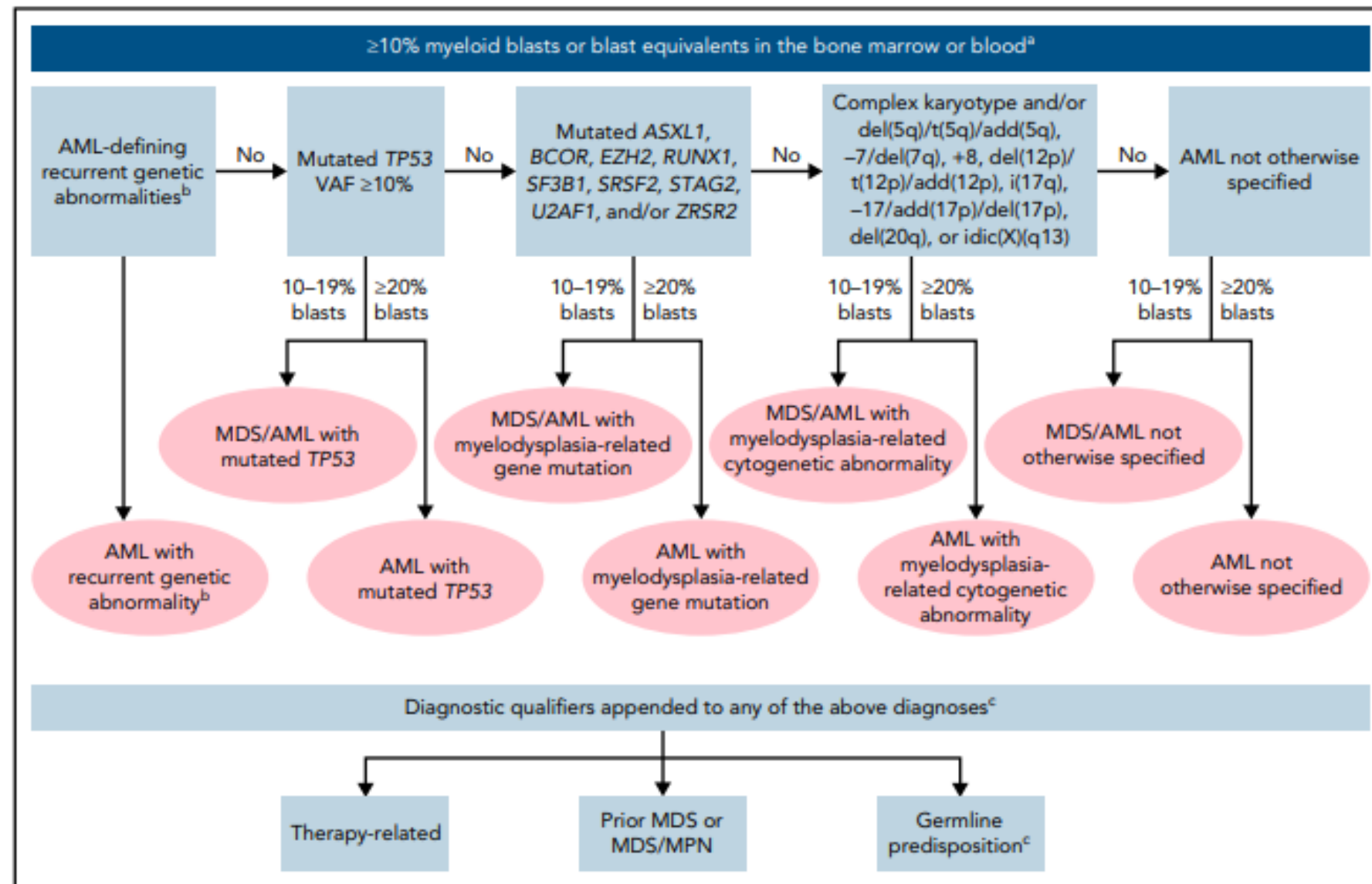
1. AML met specifieke (“recurrent”) cytogenetische afwijkingen
2. AML met myelodysplasie gerelateerde veranderingen
3. Myeloïde neoplasmata, therapie gerelateerd
4. AML niet anders te categoriseren (NOS)
5. Myeloïd sarcoom
6. Myeloïde proliferaties gerelateerd aan het syndroom van Down
7. Blastair plasmacytoid dendritische cel neoplasma

WHO 2022

1. AML met definierende genetische afwijkingen
2. AML myelodysplasie gerelateerd
3. **Myeloïde neoplasmata secundair aan cytotoxische therapie (MN-pCT)**
4. AML gedefinieerd door differentiatie
5. Myeloïd sarcoom
6. **Myeloïde neoplasma met kiembaan predispositie secundair**



ICC/ELN classification



WHO 2022

Acute myeloid leukaemia with defining genetic abnormalities
Acute promyelocytic leukaemia with <i>PML::RARA</i> fusion
Acute myeloid leukaemia with <i>RUNX1::RUNX1T1</i> fusion
Acute myeloid leukaemia with <i>CBFB::MYH11</i> fusion
Acute myeloid leukaemia with <i>DEK::NUP214</i> fusion
Acute myeloid leukaemia with <i>RBM15::MRTFA</i> fusion
Acute myeloid leukaemia with <i>BCR::ABL1</i> fusion
Acute myeloid leukaemia with <i>KMT2A</i> rearrangement
Acute myeloid leukaemia with <i>MECOM</i> rearrangement
Acute myeloid leukaemia with <i>NUP98</i> rearrangement
Acute myeloid leukaemia with <i>NPM1</i> mutation
Acute myeloid leukaemia with <i>CEBPA</i> mutation
Acute myeloid leukaemia, myelodysplasia-related
Acute myeloid leukaemia with other defined genetic alterations
Acute myeloid leukaemia, defined by differentiation
Acute myeloid leukaemia with minimal differentiation
Acute myeloid leukaemia without maturation
Acute myeloid leukaemia with maturation
Acute basophilic leukaemia
Acute myelomonocytic leukaemia
Acute monocytic leukaemia
Acute erythroid leukaemia
Acute megakaryoblastic leukaemia



ICC-MLN 2022

AML and related neoplasms

AML with recurrent genetic abnormalities (requiring ≥10% blasts in BM or PB)^a

- APL with t(15;17)(q24.1;q21.2)/*PML::RARA*^b
- AML with t(8;21)(q22;q22.1)/*RUNX1::RUNX1T1*
- AML with inv(16)(p13.1q22) or t(16;16)(p13.1;q22)/*CBFB::MYH11*
- AML with t(9;11)(p21.3;q23.3)/*MLLT3::KMT2A*^c
- AML with t(6;9)(p22.3;q34.1)/*DEK::NUP214*
- AML with inv(3)(q21.3q26.2) or t(3;3)(q21.3;q26.2)/*GATA2, MECOM(EVI1)*^d
- AML with other rare recurring translocations^e
- AML with mutated *NPM1*
- AML with in-frame bZIP mutated *CEBPA*^f
- AML with t(9;22)(q34.1;q11.2)/*BCR::ABL1*^g

Categories designated AML (if ≥20% blasts in BM or PB) or MDS/AML (if 10-19% blasts in BM or PB)

- AML with mutated *TP53*^g
- AML with myelodysplasia-related gene mutations
Defined by mutations in *ASXL1, BCOR, EZH2, RUNX1, SF3B1, SRSF2, STAG2, U2AF1, or ZRSR2*
- AML with myelodysplasia-related cytogenetic abnormalities^h
- AML not otherwise specified (NOS)

Grootste verschillen:

- Blastenpercentage en nomenclatuur AML vs. MDS/AML
- Waarde van TP53m in ICC-MLN
- biCEBPA + smbZIP vs. smbZIP only
- Definitie obv differentiatie vs. AML-NOS
- ELN-risicoclassificatie sluit goed aan bij ICC-MLN



Zeldzaam/gevorderden cursus

- AML met overige definierende genetische afwijkingen: voorlopige categorie
- Myeloide proliferaties gerelateerd aan Down syndroom
- ALAL/MPAL
- BPDCN



Myeloïde proliferaties gerelateerd aan het syndroom van Down

Voorbijgaande abnormale hematopoiese (TAM)

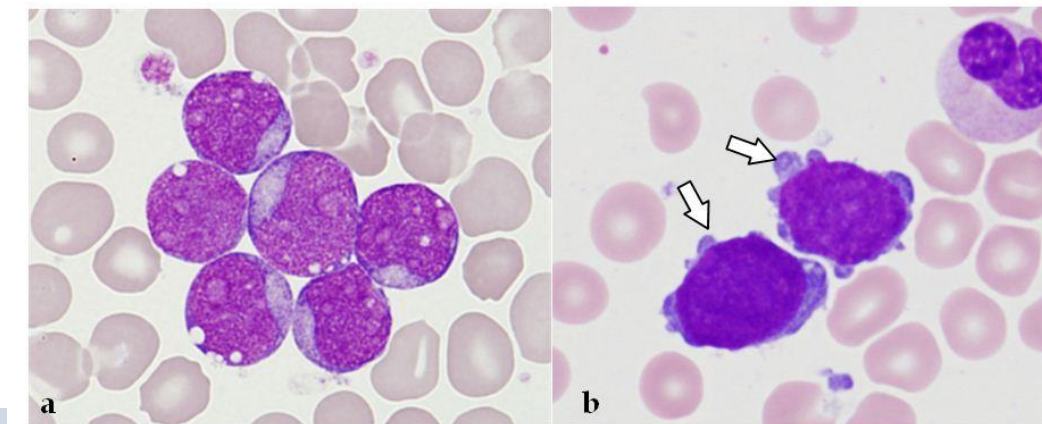
In 10% van pasgeborenen met Down syndroom

Morfologie en IF als van AML

Meest spontane remissie in eerste 3 maanden

1-3 jr later, 20-30% wordt AML

IF: MPO-, CD41 en CD61 +



ALAL

(acute leukemia of ambiguous lineage)



MPAL

(mixed phenotype acute leukaemia)

met definierende genetische afwijkingen of
immunofenotypisch gedefinieerd





AUL

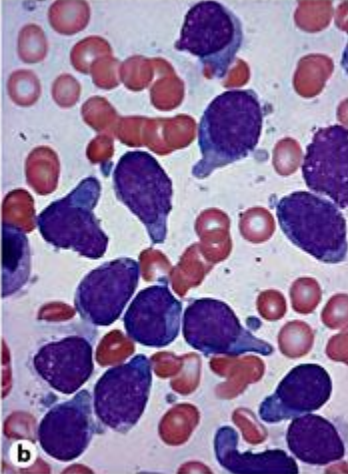
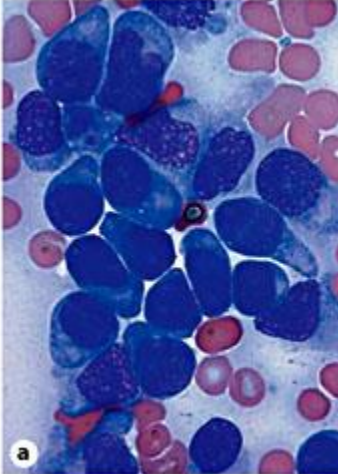
Acute ongedifferentieerde leukemie

Negatief voor myeloïde, B en T cel markers

Vaak positief voor blastenmarker CD34, tdt

Uitsluiten andere afkomst cellen door uitgebreid panel:

Cave plasmacytoid dendritische cel tumor, megakaryo, basofiel, NK-cel of solide tumor



:current") cytoge
gerelateerde ve
herapie gerelate
oriseren (NOS)



- 6. Myeloïde proliferaties gerelateerd aan het syndroom van Down
- 7. **Blastair plasmacytoid dendritische cel neoplasma**
- Diagnose mn IF: CD4, CD123, vaak CD56, CD68 in 50%.
huidafwijkingen



Tijdspad diagnostiek

- Diagnose bij acute leukemie moet vaak snel gesteld
- Morfologie kan binnen 1 uur als nood
- Immunofenotypering kan binnen 1-2 dagen
- In theorie kan moleculaire diagnostiek en NGS dat ook maar in de praktijk is dat nog lang niet zo
- Nu heel veel definities obv cytogenetische /moleculaire afwijkingen
- Nu al wel voor enkele studies snelle moleculaire diagnostiek: HOVON 150-156





Rol van de morfoloog anno 2022



2022 Tijd nodig:
 1 uur

- Kwaliteit van sample
- Criteria voor diagnose (% blasten)
- Criteria voor klassificatie (dysplasie)
- Aanvullend onderzoek sturen

"So far, no one's seemed to notice."



Even oefenen





• blasten	28%	
• promyelo's	9%	
• granulo's	38%	
• erythroid	17%	
• dysplasie ery	>50%	<u>WHO</u>
• dysplasie meg	?	-MDS IB2
• dysplasie gran	>50%	-AML t(8;21)
• Auerse staafjes	+	-AML myelodysplasia gerelateerd
• t(8;21)	+	



• blasten	28%	
• promyelo's	9%	
• granulo's	38%	
• erythroid	17%	
• dysplasie ery	>50%	<u>WHO</u>
• dysplasie meg	?	-MDS IB2 (was EB-2)
• dysplasie gran	>50%	-AML t(8;21)
• Auerse staafjes	+	-AML myelodysplasia gerelateerd
• t(8;21)	+	



• blasten	18%	
• promyelo's	9%	
• granulo's	38%	<u>WHO</u>
• erythroid	27%	-MDS IB1
• dysplasie ery	>50%	-MDS IB2 t(8;21)
• dysplasie meg	?	-AML t(8;21)
• dysplasie gran	> 50%	-AML myelodysplasie gerelateerd
• Auerse staafjes	+	
• t(8;21)	+	



• blasten	18%	
• promyelo's	9%	
• granulo's	38%	<u>WHO</u>
• erythroid	27%	-MDS IB1 (was EB1)
• dysplasie ery	>50%	-MDS IB2 t(8;21) (wasEB2)
• dysplasie meg	?	- AML t(8;21)
• dysplasie gran	> 50%	-AML myelodysplasie gerelateerd
• Auerse staafjes	+	
• t(8;21)	+	



• blasten	65%	
• promyelo's	3%	
• granulo's	2%	<u>WHO</u>
• erythroid	30%	-AML met minimale differentiatie
• dysplasie ery	> 50%	-AML zonder uitrijping
• dysplasie meg	-	-AML MDS gerelateerd
• dysplasie gran	< 50%	
• Auerse staafjes	+	



• blasten	65%	
• promyelo's	3%	
• granulo's	2%	<u>WHO</u>
• erythroid	30%	-AML met minimale differentiatie
• dysplasie ery	> 50%	- AML zonder uitrijping
• dysplasie meg	-	-AML MDS gerelateerd
• dysplasie gran	< 50%	
• Auerse staafjes	+	

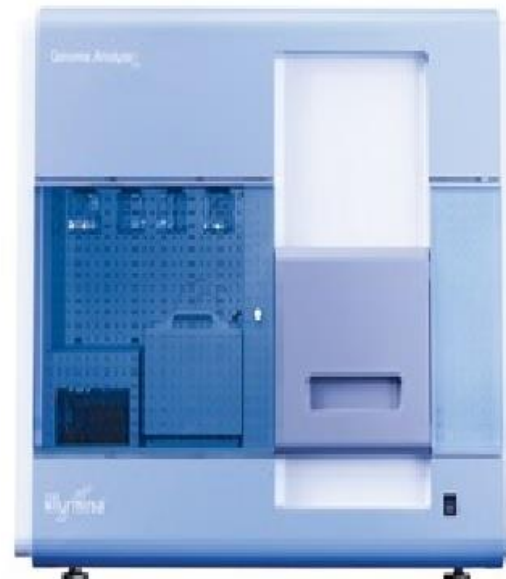
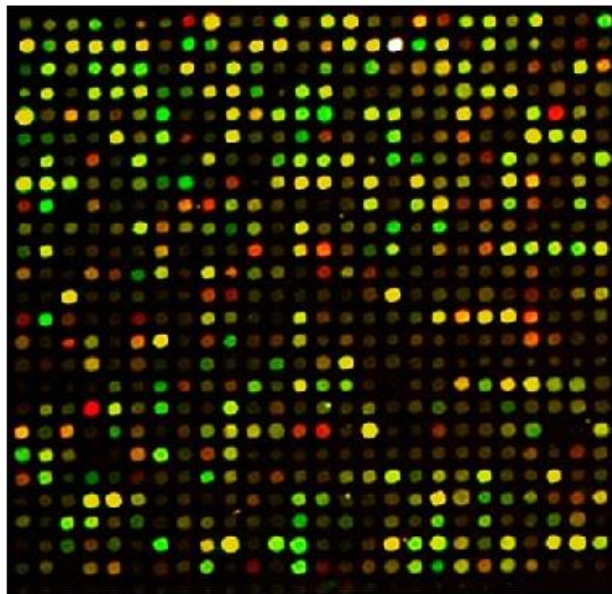
Nagekomen bericht: NPM1 +
Wat nu?



Myelodysplasie



is morfologie nog wel nodig
anno 2022 voor MDS
diagnose?



Microarray vs Next-generation sequencing

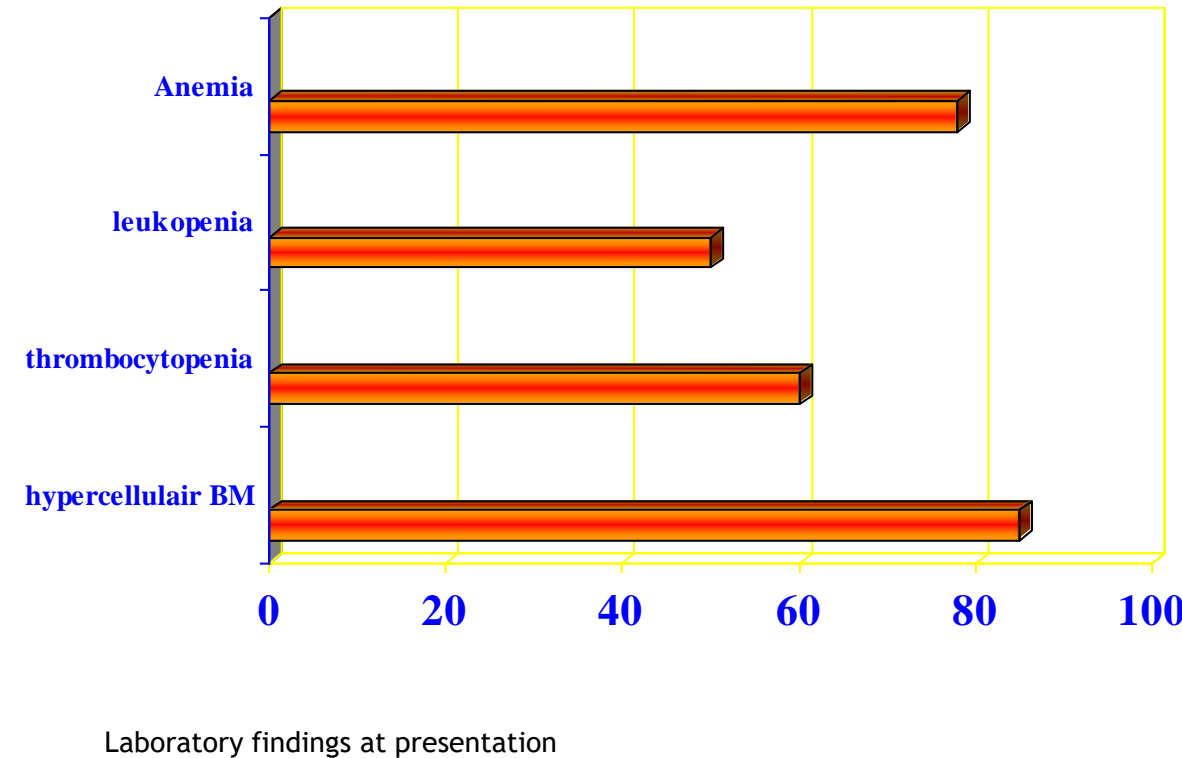


Je gaat het pas zien als je het doorhebt

J Cruijff



The paradox of peripheral cytopenia and hypercellular marrow





Met cytopenie of dysplasie

- maar geen dysplasie (<10%) en geen clonale markers: ICUS
- Maar geen cytopenie en geen clonale markers: IDUS
- Geen dysplasie (<10%), wel clonale markers: CCUS

Geen cytopenie en geen dysplasie en wel clonale markers: CHIP (meest 1 mutatie, lage VAF, DAT *DNMT3A*, *ASXL1*, *TET2*)

ICUS: idiopathic cytopenia of uncertain significance. IDUS: idiopathic dysplasia of unknown significance

CCUS: clonal cytopenia of uncertain significance

CHIP: clonal hematopoiesis of indeterminate potential



Diagnose MDS

Cytopenie (vaak milde macrocytose)

Dysplasie in 1 of meer cellijnen
(bloed, beenmerg cytologie/histologie)

Met of zonder clonale afwijkingen

Sluit andere ziekten uit



Diagnostische aanpak van MDS

Klinische data, beloop

Perifere diff

Compleet hemogram

Beenmergmorphologie-botbiopt

Cytogenetica, NGS (immuunfenotypering)

Serum folaat, vitamine B12, virologie



Diagnostiek van MDS

Diagnostic tool	Diagnostic value	Priority
Peripheral blood smear	Evaluation of dysplasia in one or more cell lineages Enumeration of blasts	Mandatory
Bone marrow aspirate	Dysplasia, blasts counts, ring sideroblasts	Mandatory
Bone marrow biopsy	Cellularity, CD34+ cells, fibrosis	Mandatory
Cytogenetic analysis	Allow a conclusive diagnosis, prognosis	Mandatory

Macovati et al, recommendations from the European LeukemiaNet, Blood, 2013, 122 (17):2943-2964



Diagnostiek van MDS

Diagnostic tool	Diagnostic value	Priority	
FISH	Detection of targeted chromosomal abnormalities	Recommended	
Flow cytometry immunophenotyping	Detection of abnormalities in cell lines, immature myeloid, maturing granulocytes, monocytes, immature and mature lymphoid compartments	Recommended	Door experts, volgens guidelines, niet voor % blast
SNP array	Detection of chromosomal defects at a high resolution	Suggested	
Mutation analysis of candidate genes	Detection of somatic mutations that can allow a conclusive diagnosis and prognostic evaluation	Recommended	

Macovati et al, recommandations from the European LeukemiaNet, Blood, 2013, 122 (17):2943-2964
Ook in: ESMO guidelines, Fenaux et al, Ann Oncol 2021



Dysplasie is niet specifiek voor MDS !

- deficienties (vit B12, foliumzuur)
- toxinen (arsenicum, benzeen, chemotherapie)
- congenitale dysplasie, PNH
- (virale) infecties (parvo B19, HIV)
- G-CSF
- opslag in anticoagulant > 2hr

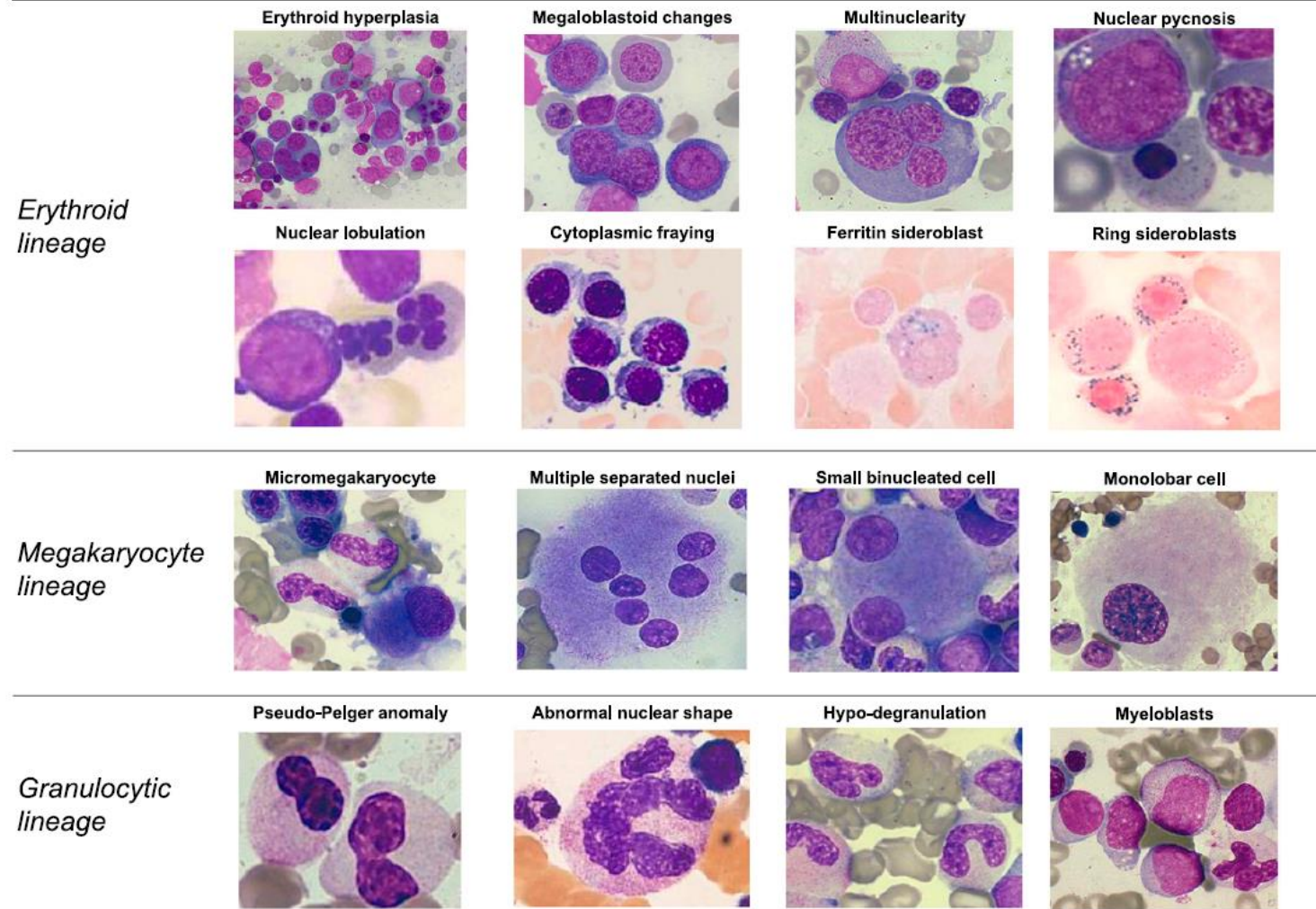


Figure 1. Representative examples of morphologic abnormalities of myelodysplasia. May Grünwald Giemsa staining in all cases with the only exception of ring sideroblasts (Perls staining). Magnification from 200 \times to 1000 \times , courtesy of Erica Travaglino.

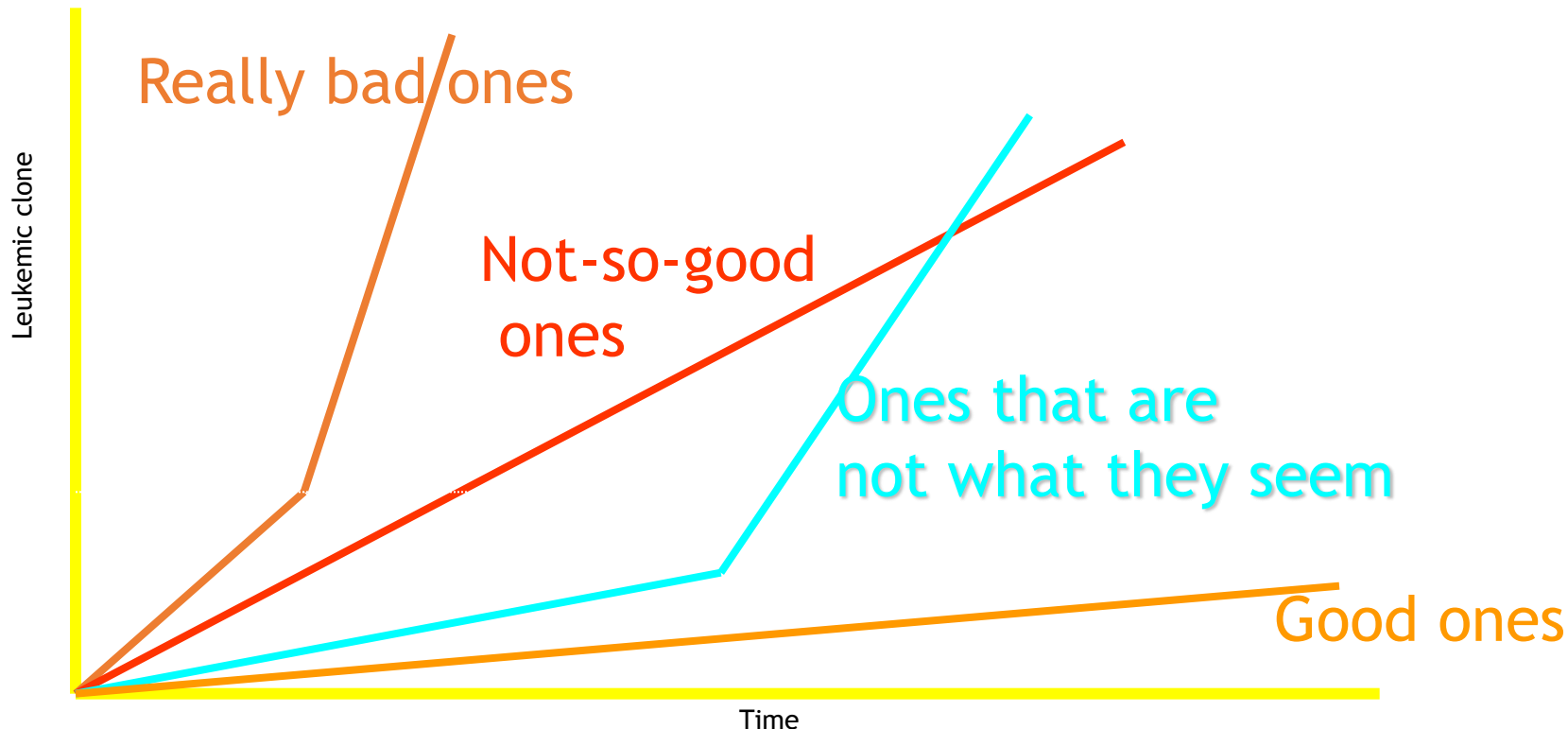


Andere diagnostische technieken

- Immuun fenotypering
- Cytogenetica (karyo, evt FISH als dit niet goed lukt)
- NGS voor al uw mutaties

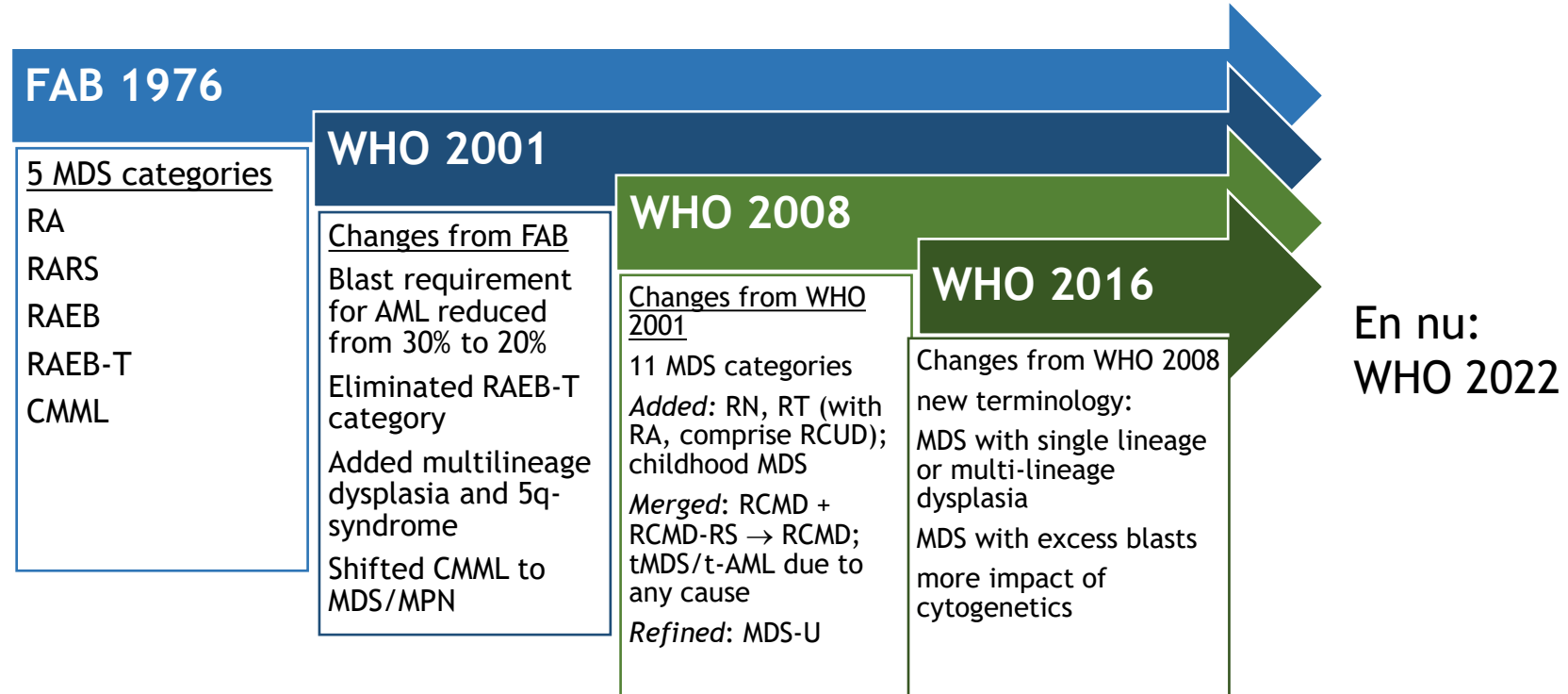


Patterns of evolution of MDS





Eerder evolutie dan revolutie in MDS classificatie



RA, refractory anaemia; RARS, refractory anaemia with ringed sideroblasts; RAEB-T), refractory anemia with excess blasts (in transformation); RN, RT, refractory neutropenia/thrombo-cytopenia; RCUD, refract. cytopenia with unilineage dysplasia; RCMD, with multilineage dysplasia; CMML, chronic myelomonocytic leukemia; AML, acute myelogenous leukemia

Bennett JM, et al. Br J Haematol. 1982;52:189-199.
Mufti GJ, et al. Haematologica 2008;93:1712-1717.
Garcia-Manero G, Hematol Am Soc Hematol Educ Prog. 2010;2010:330-337.
Haase D, et al. Blood. 2007;110:4385-4395.
Steensma DP, et al. Hematology Am Soc Hematol Educ Program 2009;645-655.
Vardiman JW, et al. Blood 2009;114:937-951

Arber et al, Blood 2016;127:2391.



WHO 2022

- MDS met definiërende cytogenetische afwijkingen
 - MDS met lage blasten en del5q
 - MDS met lage blasten en SF3B1 mutatie
 - MDS met biallelische TP53 inactivatie
- blasten
<5% in bm. <2%pb Karyo/fish
<5% in bm. <2%pb NGS
<20% in bm en pb NGS/FISH

- MDS morfologisch gedefinieerd
 - MDS met lage blasten: MDS-LB
 - MDS hypoplastisch: MDS-h
 - MDS met toename van blasten:
 - MDS-IB1
 - MDS-IB2
 - MDS met fibrose:MDS-f
- blasten
<5% in bm. <2%pb
<5% in bm. <2%pb
- 5-9% bm of 2-4% pb
10-19% bm of 5-19% pb of auerse staaf
5-19% bm 2-19% pb



en

- Als je geen SF3B1 hebt en wel >15% ringsideroblasten: MDS-LB met RS
- Dysplasie is als 10% of meer van cellijn dysplastische kenmerken heeft
- Biallelisch TP53: met NGS VAF>50% of meerdere mutaties is zeer suggestief, >90% met complex/monosomaal karyotype
- Ook nieuw: MDS-h: overlap AA, immuun genese? , deel doet het op ATG en CSA
- ICC: heeft nog wel SLD en MLD, >10% blast heet MDS/AML, heeft geen MDS-h en MDS-f



Dysplasie erytropoiese

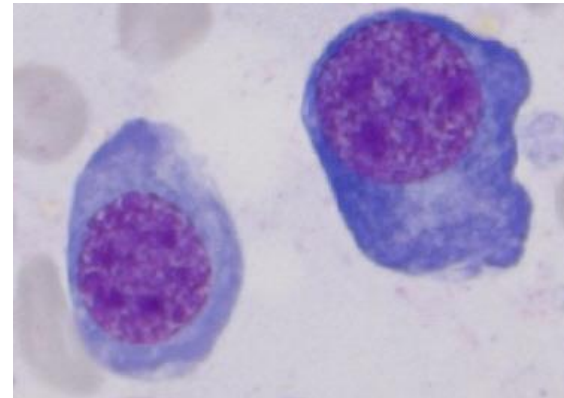
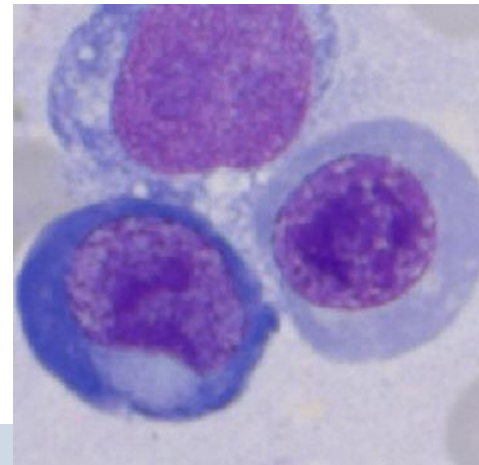
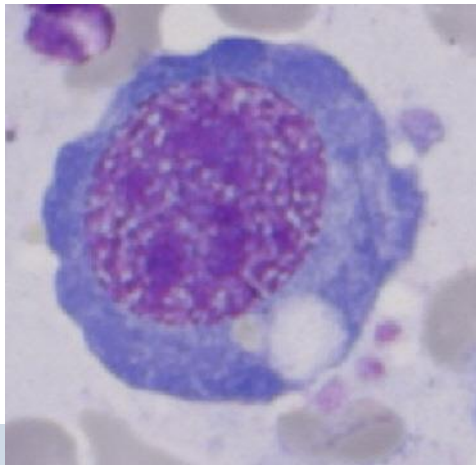
- Erytropoiese
 - megaloblastoid, karyorhexis, nucleaire fragmenten, multinucleatie
 - Ring-sideroblasten
 - Cytoplasmatische vacuoles, PAS positiviteit
- Granulopoiese
 - hypogranulatie
 - hyposegmentatie (pseudo Pelger-Huet anomalie)
 - bizarre gesegmenteerde kernen
- Megakaryopoiese
 - micromegakaryocyten
 - monogelobuleerde of meerdere losliggende kernen



dysplasie erytropoiese megaloblastoid



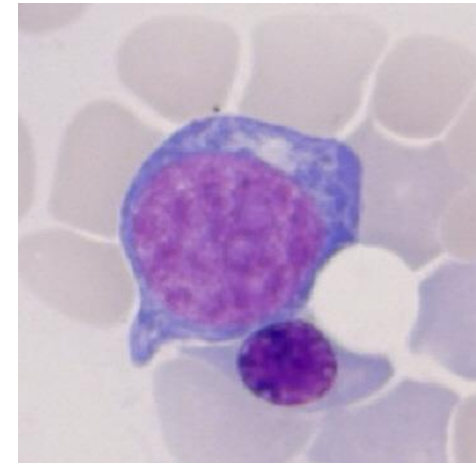
normaal



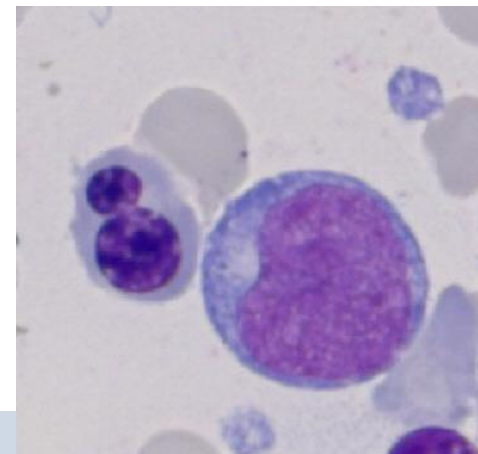
megaloblastoid



dysplasie erytropoiese kernfragmentatie, abnormale kernen



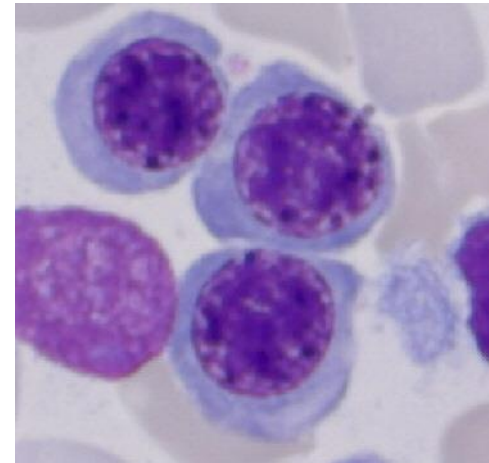
normaal



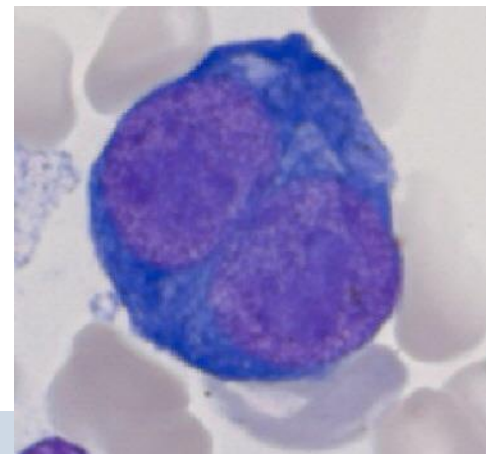
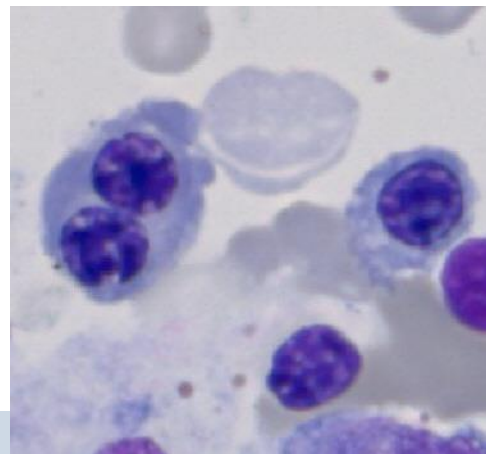
kernfrags, abn kernen



dysplasie erytropoiese meerkernigen



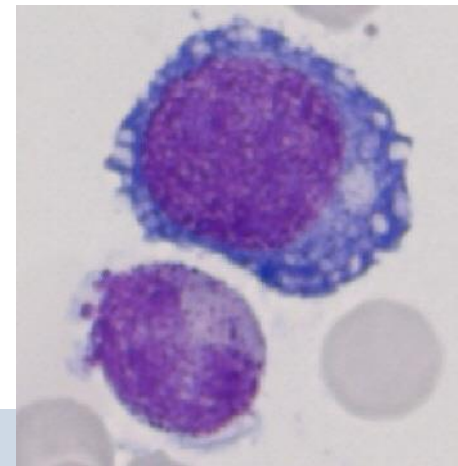
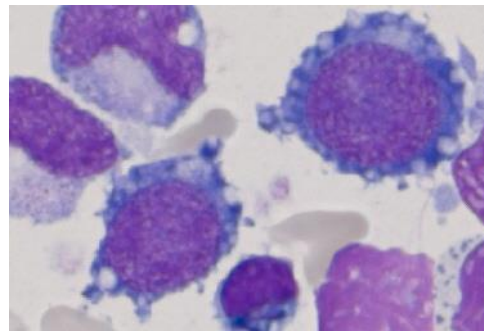
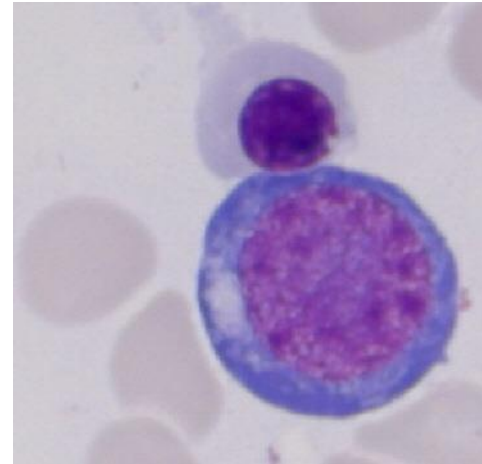
normaal



meerkernigen



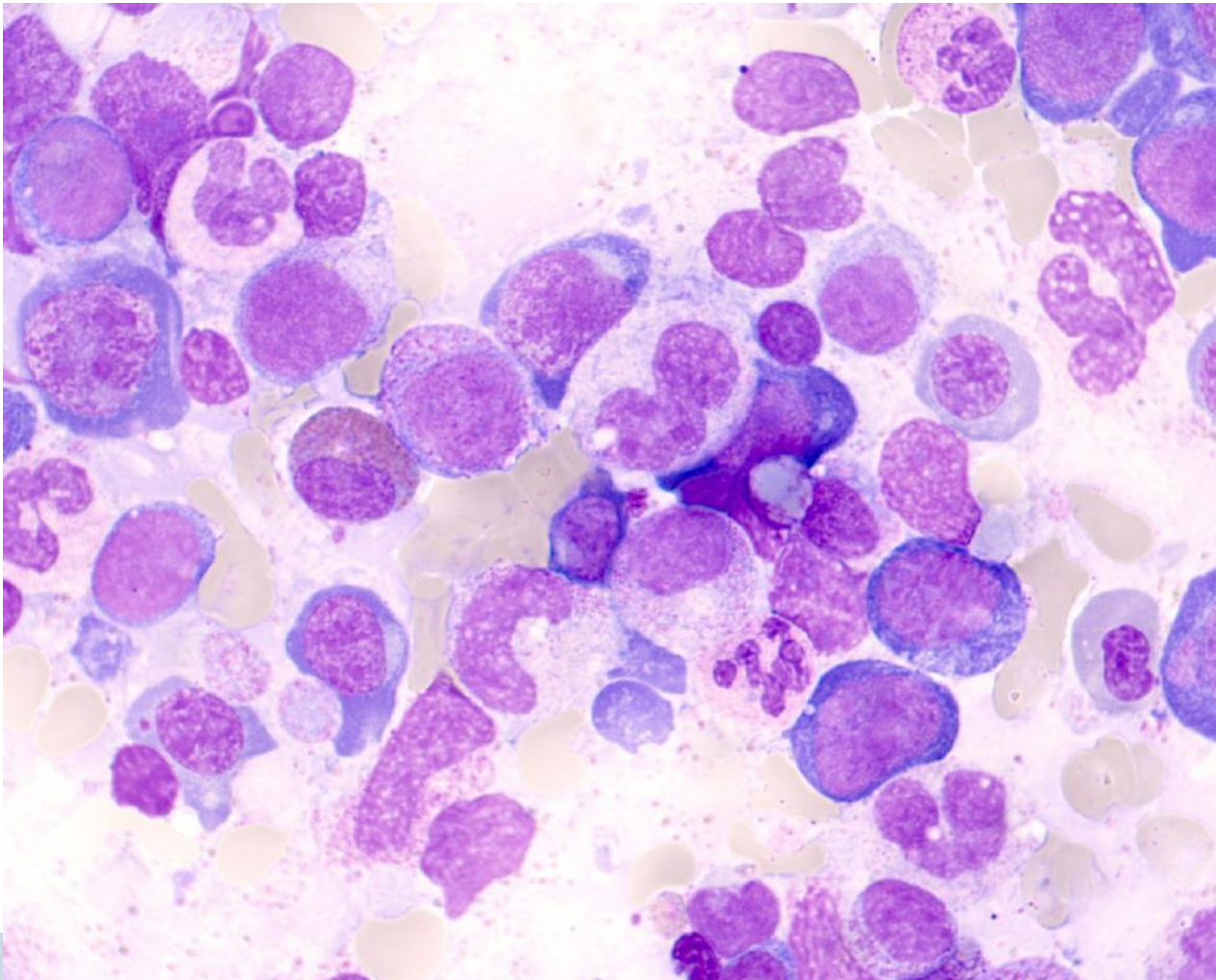
dysplasie erytropoiese vacuolisatie



vacuolisatie



dysplasie erytropoiese

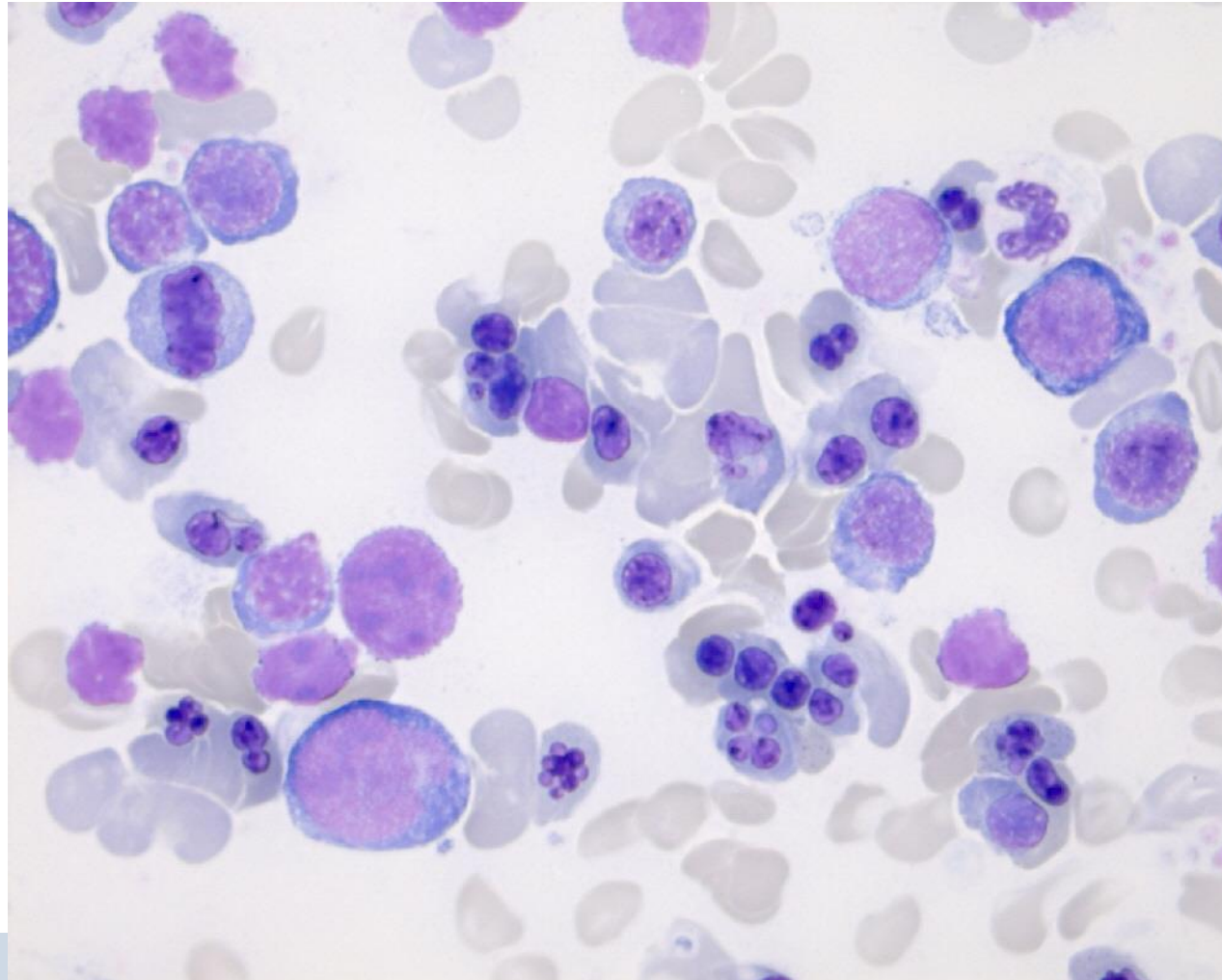


- megaloblastoid
- abnormale kernen
- kernfragmentatie
- vacuolisatie

beenmerg



dysplasie erytropoiese

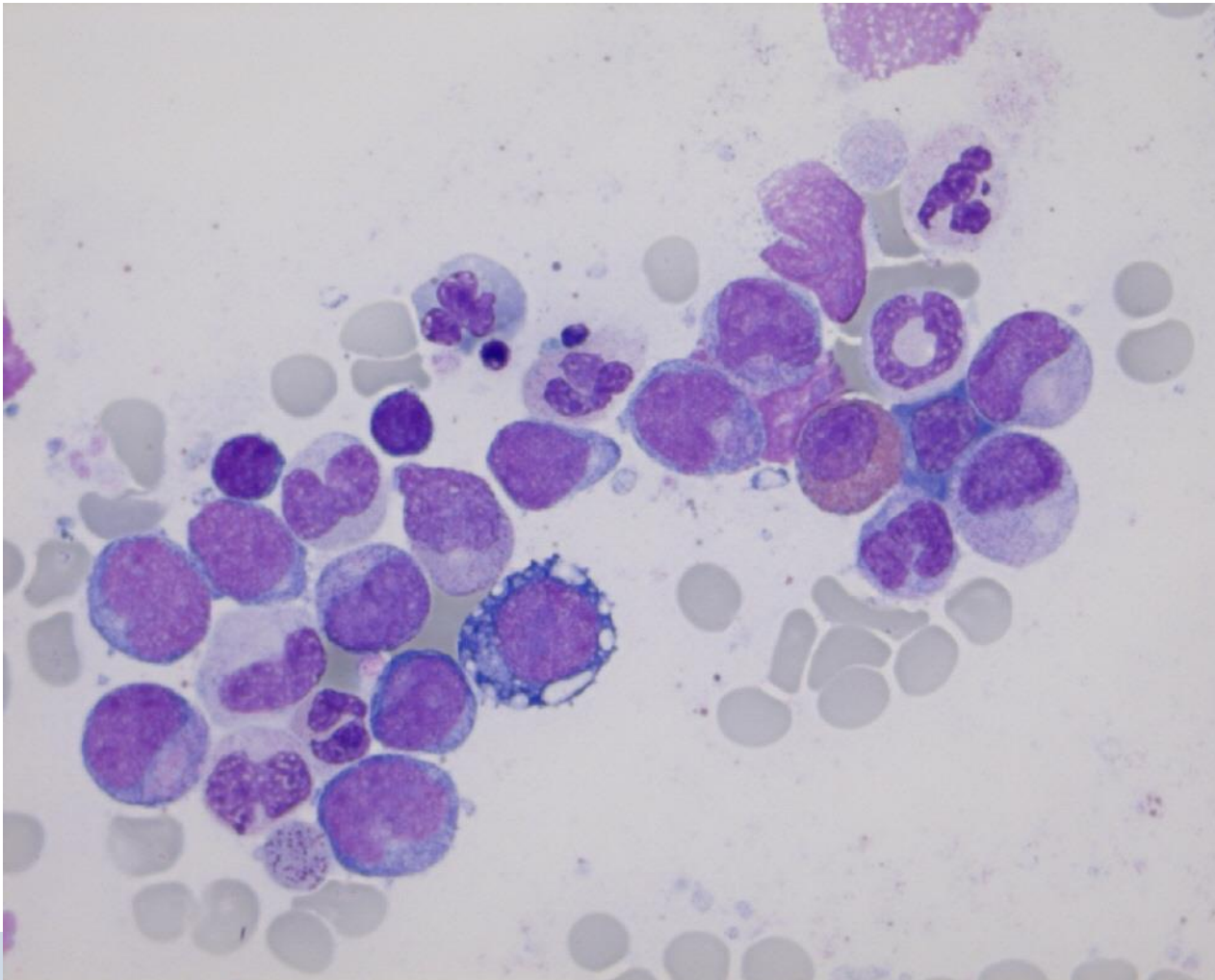


- megaloblastoid
- abnormale kernen
- kernfragmentatie
- vacuolisatie

beenmerg



dysplasie erytropoiese



- megaloblastoid
- abnormale kernen
- kernfragmentatie
- vacuolisatie

beenmerg

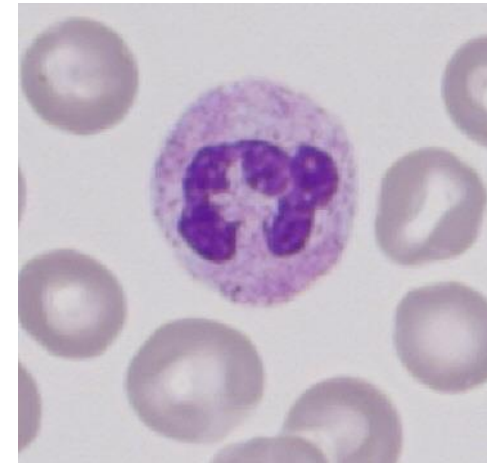


Dysplasie granulopoiese

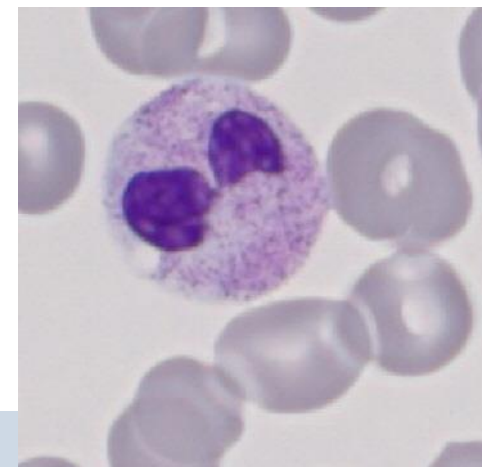
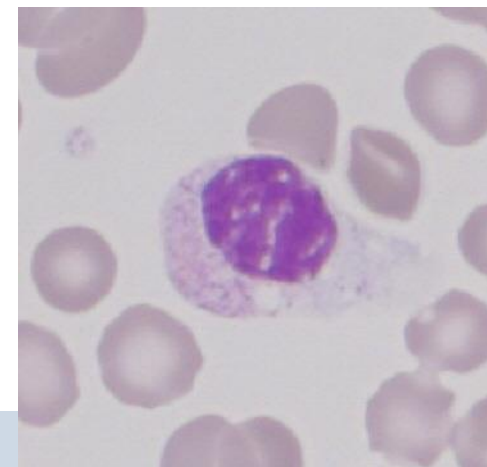
- Erytropoiese
 - megaloblastoid, karyorhexis, nucleaire fragmenten, multinucleatie
 - Ring-sideroblasten
 - Cytoplasmatische vacuoles, PAS positiviteit
- Granulopoiese
 - hypogranulatie
 - hyposegmentatie (pseudo Pelger-Huet anomalie)
 - bizarre gesegmenteerde kernen
- Megakaryopoiese
 - micromegakaryocyten
 - monogelobuleerde of meerdere losliggende kernen



dysplasie granulopoiese pseudo Pelger-Huet



normaal



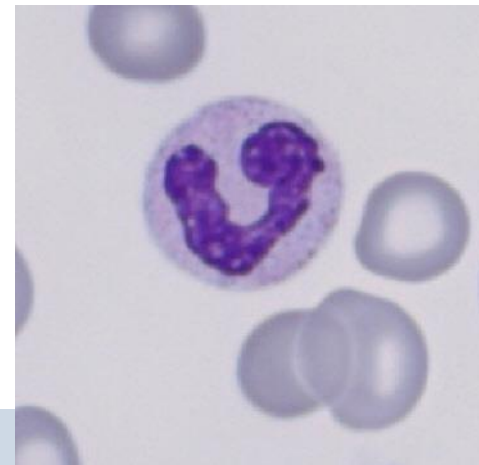
Pseudo Pelger-Huet



dysplasie granulopoiese hypogranulatie



normaal



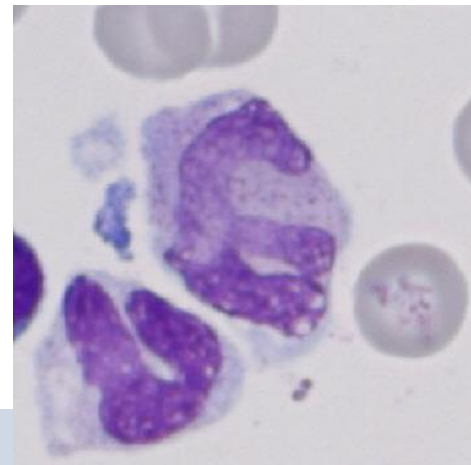
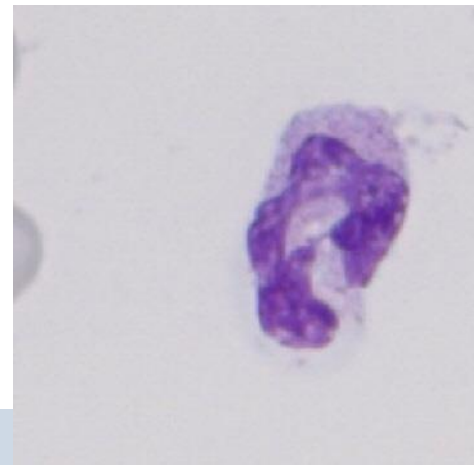
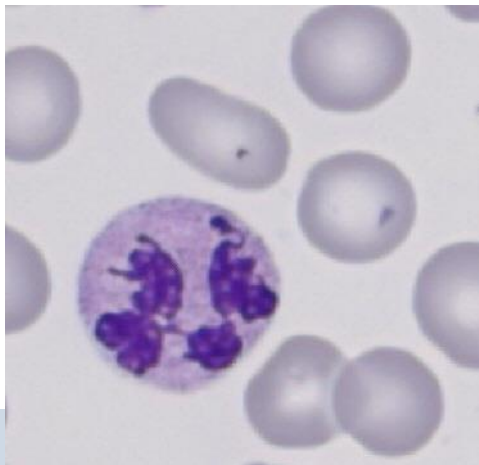
hypogranulatie



dysplasie granulopoiese bizarre vormen



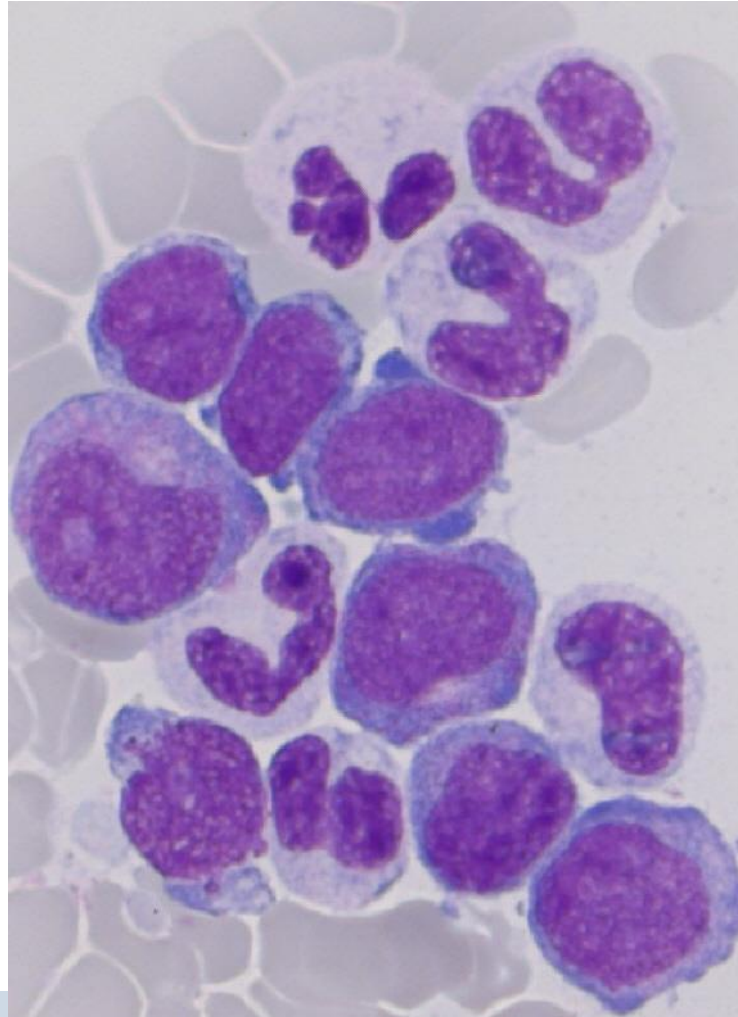
normaal



bizarre vormen



dysplasie granulopoiese



-hypogranulatie

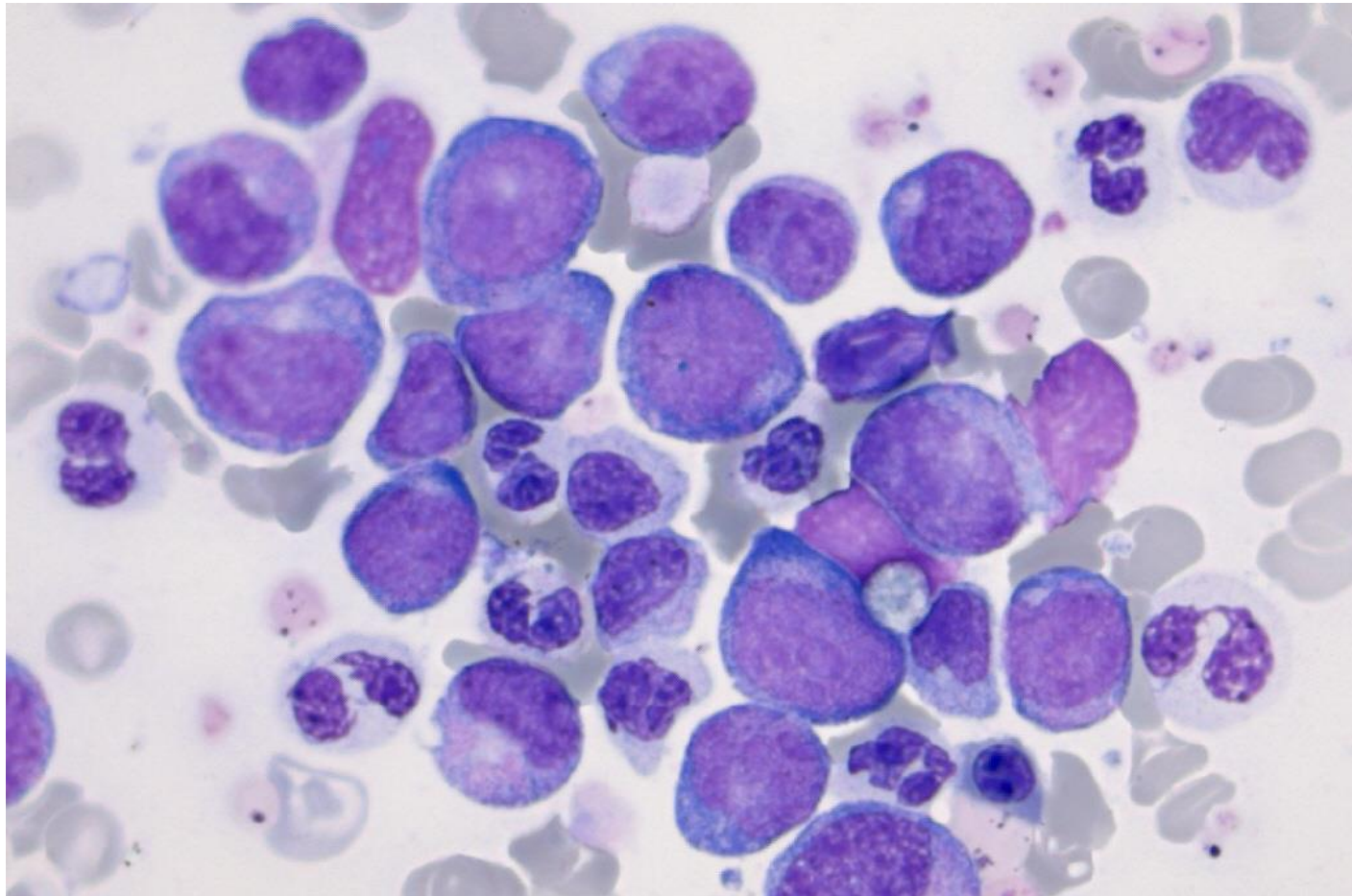
-Pseudo Pelger

-bizarre vormen
(hypersegm)

beenmerg



dysplasie granulopoiese



-hypogranulatie

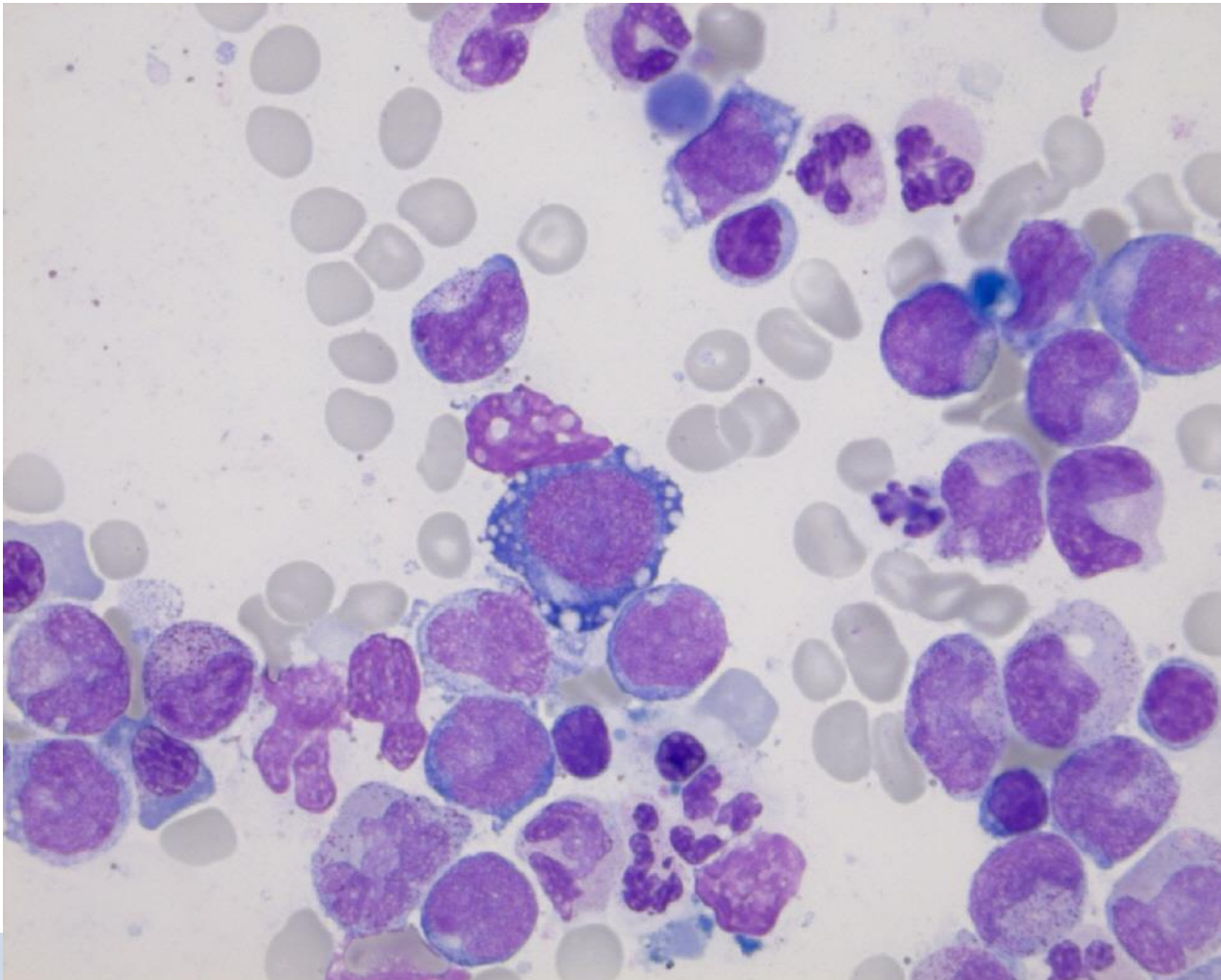
-Pseudo Pelger

-bizarre vormen
(hypersegm)

beenmerg



dysplasie granulopoiese



-hypogranulatie

-Pseudo Pelger-Huet

-bizarre vormen
(hypersegm)

beenmerg

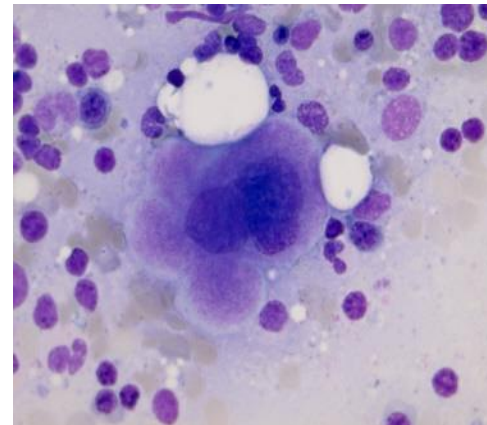


Dysplasie megakaryopoiese

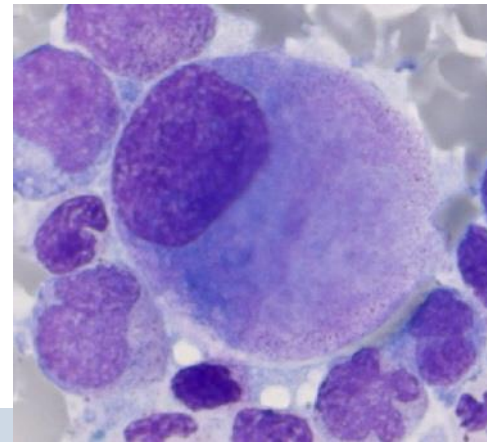
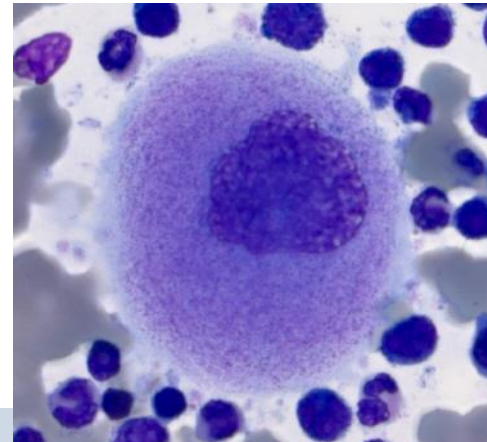
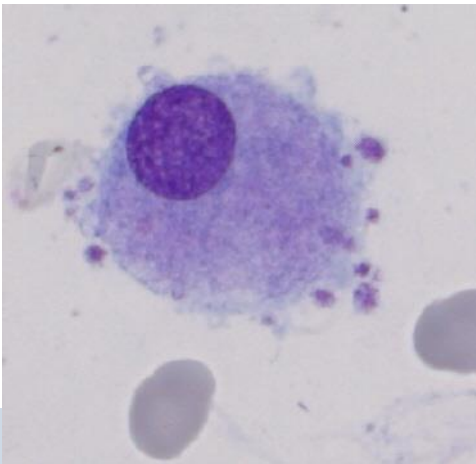
- Erythropoiese
 - megaloblastoid, karyorhexis, nucleaire fragmenten, multinucleatie
 - Ring-sideroblasten
 - Cytoplasmatische vacuoles, PAS positiviteit
- Granulopoiese
 - hypogranulatie
 - hyposegmentatie (pseudo Pelger-Huet anomalie)
 - bizarre gesegmenteerde kernen
- Megakaryopoiese
 - micromegakaryocyten
 - monogelobuleerde of meerdere losliggende kernen



dysplasie megakaryopoiese monolobulair



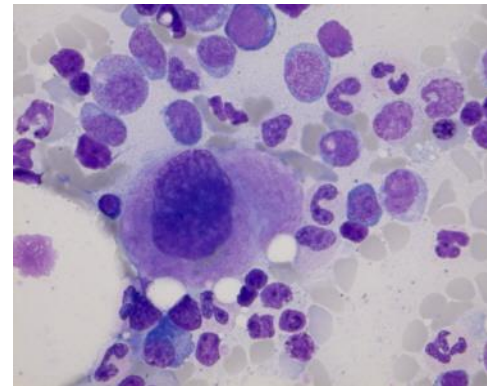
normaal



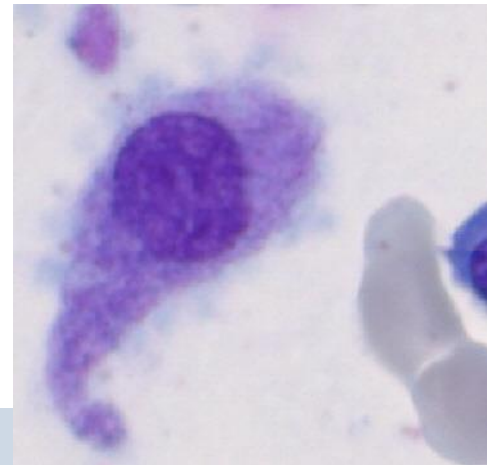
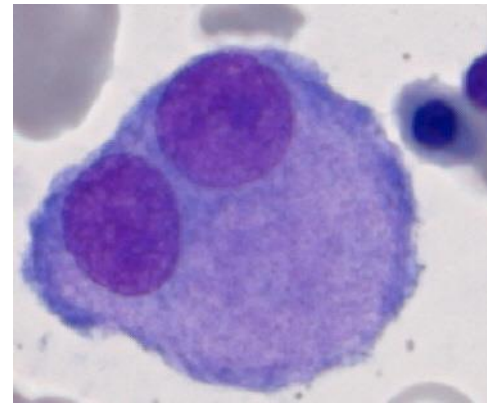
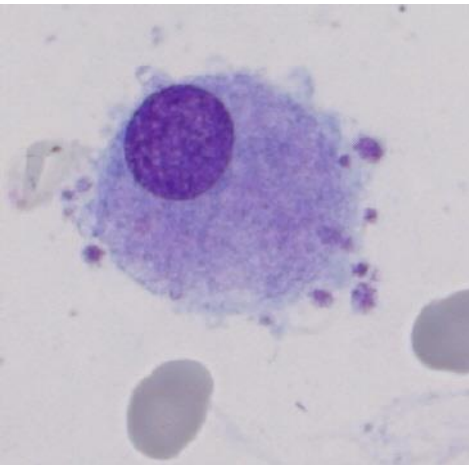
monolobulair



dysplasie megakaryopoiese micromegakaryocyten



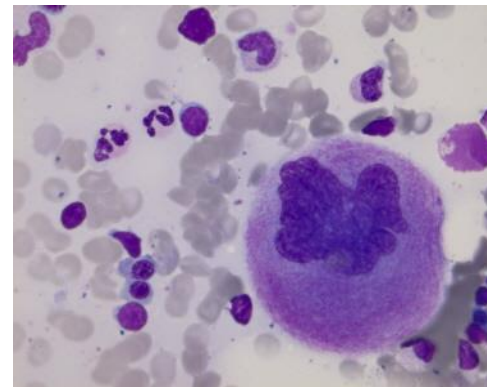
normaal



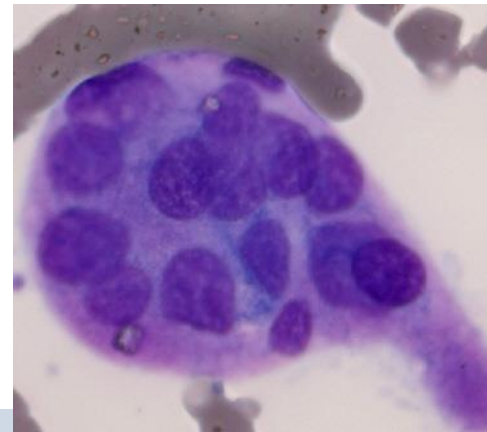
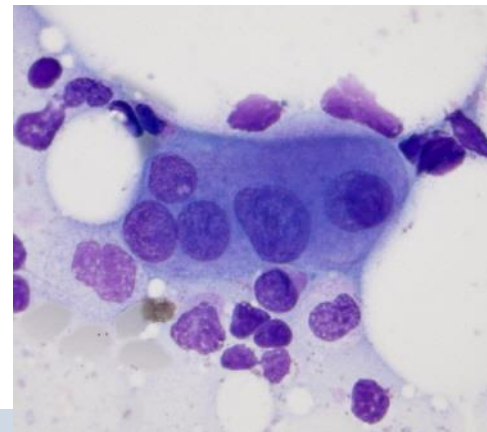
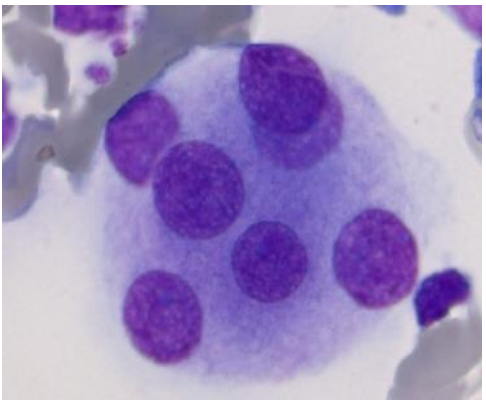
micromegakaryocyten



dysplasie megakaryopoiese losse kernen



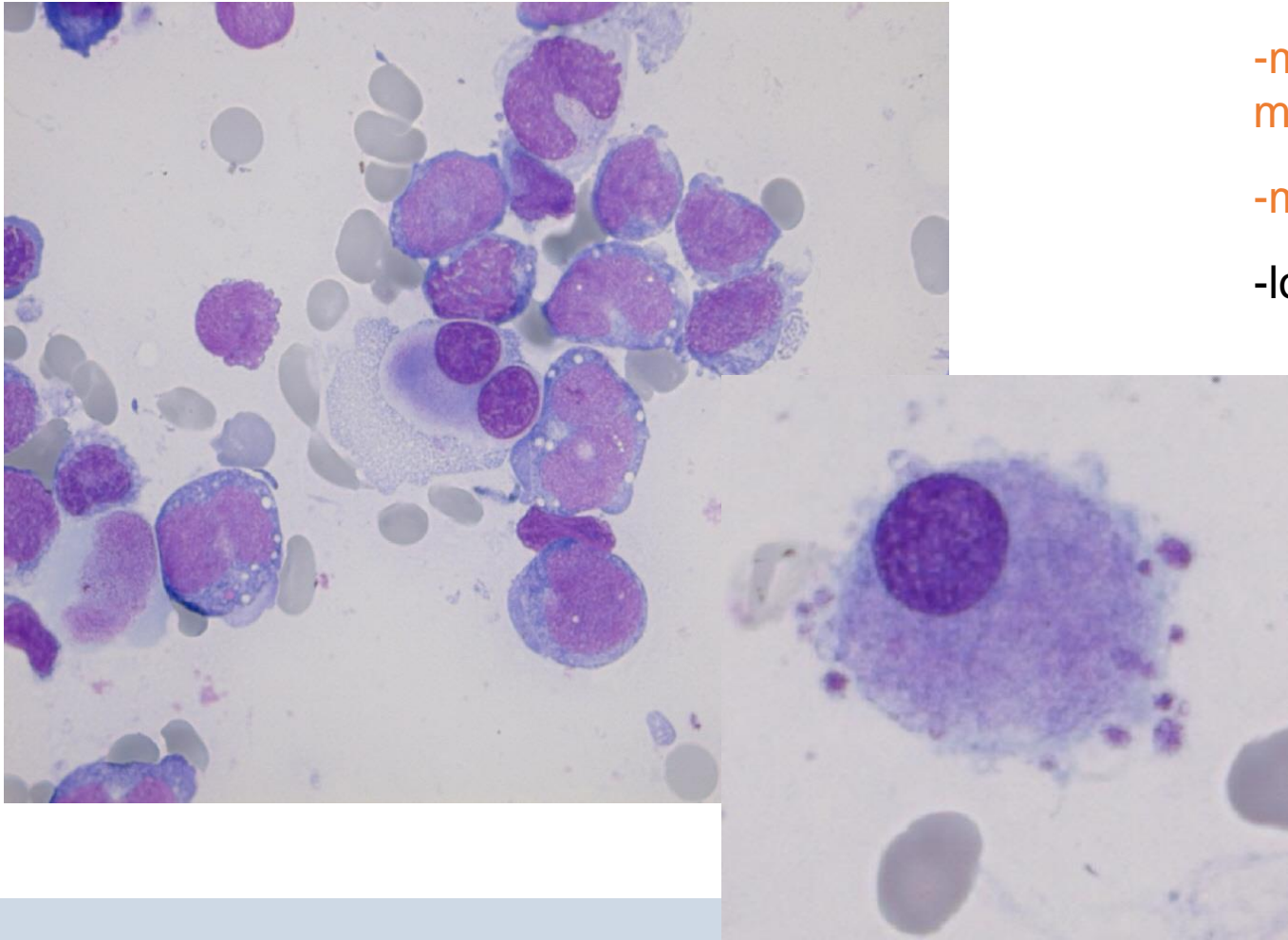
normaal



losse kernen



dysplasie megakaryopoiese



-micro-
megakaryocyten

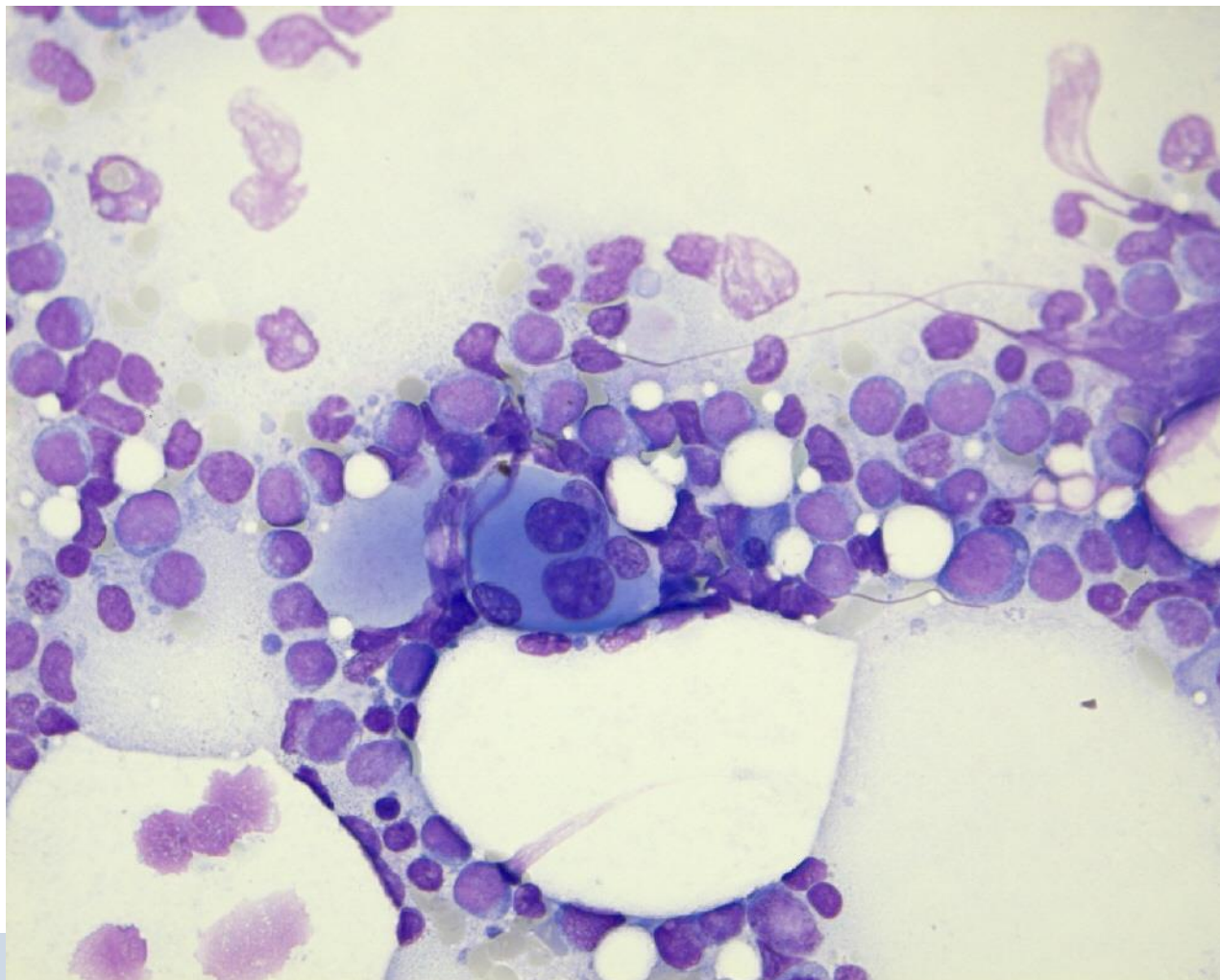
-monolobulair

-losse kernen

beenmerg



dysplasie megakaryopoiese

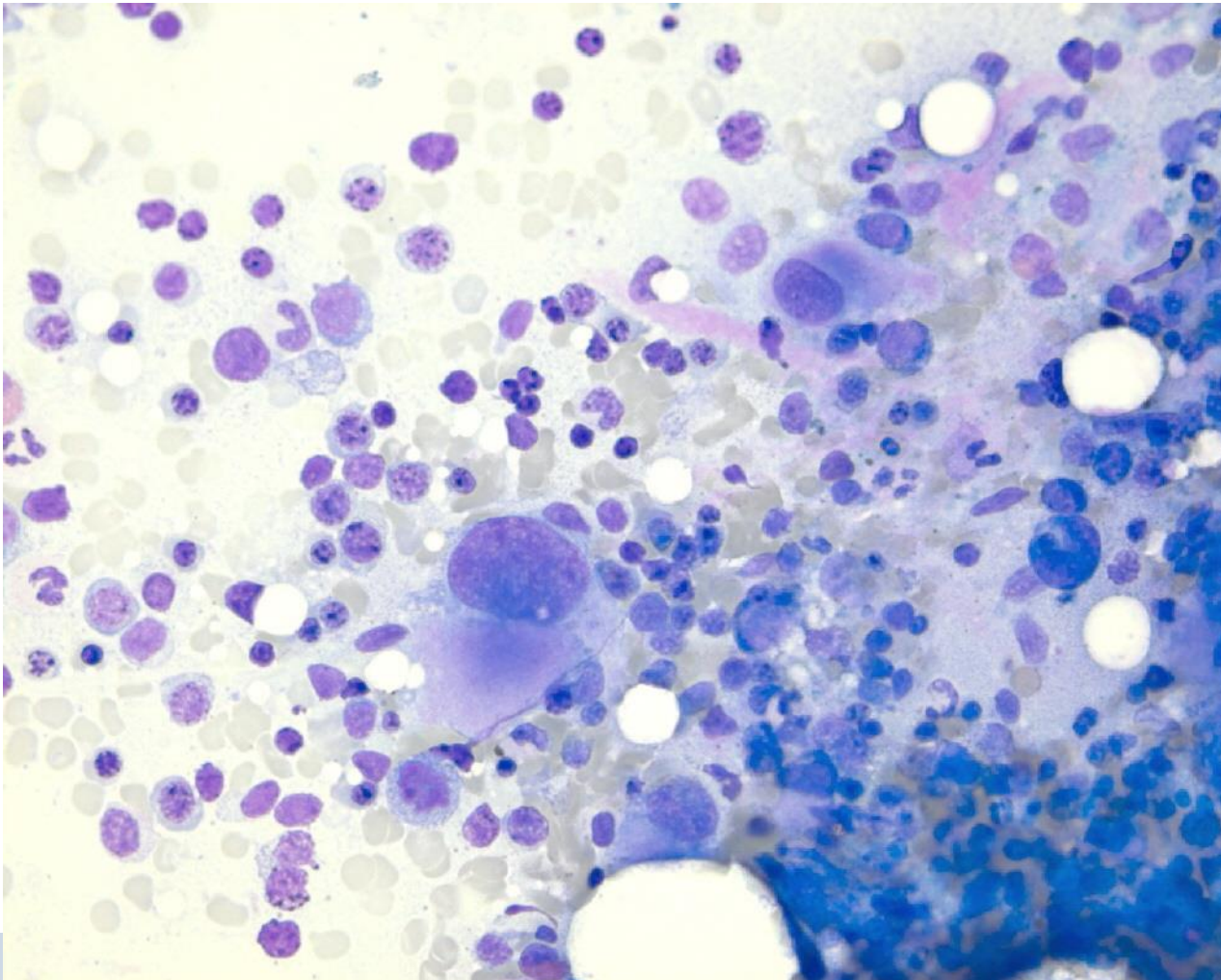


- micro-megakaryocyten
- monolobulair
- losse kernen

beenmerg



dysplasie megakaryopoiese



-micro-
megakaryocyten

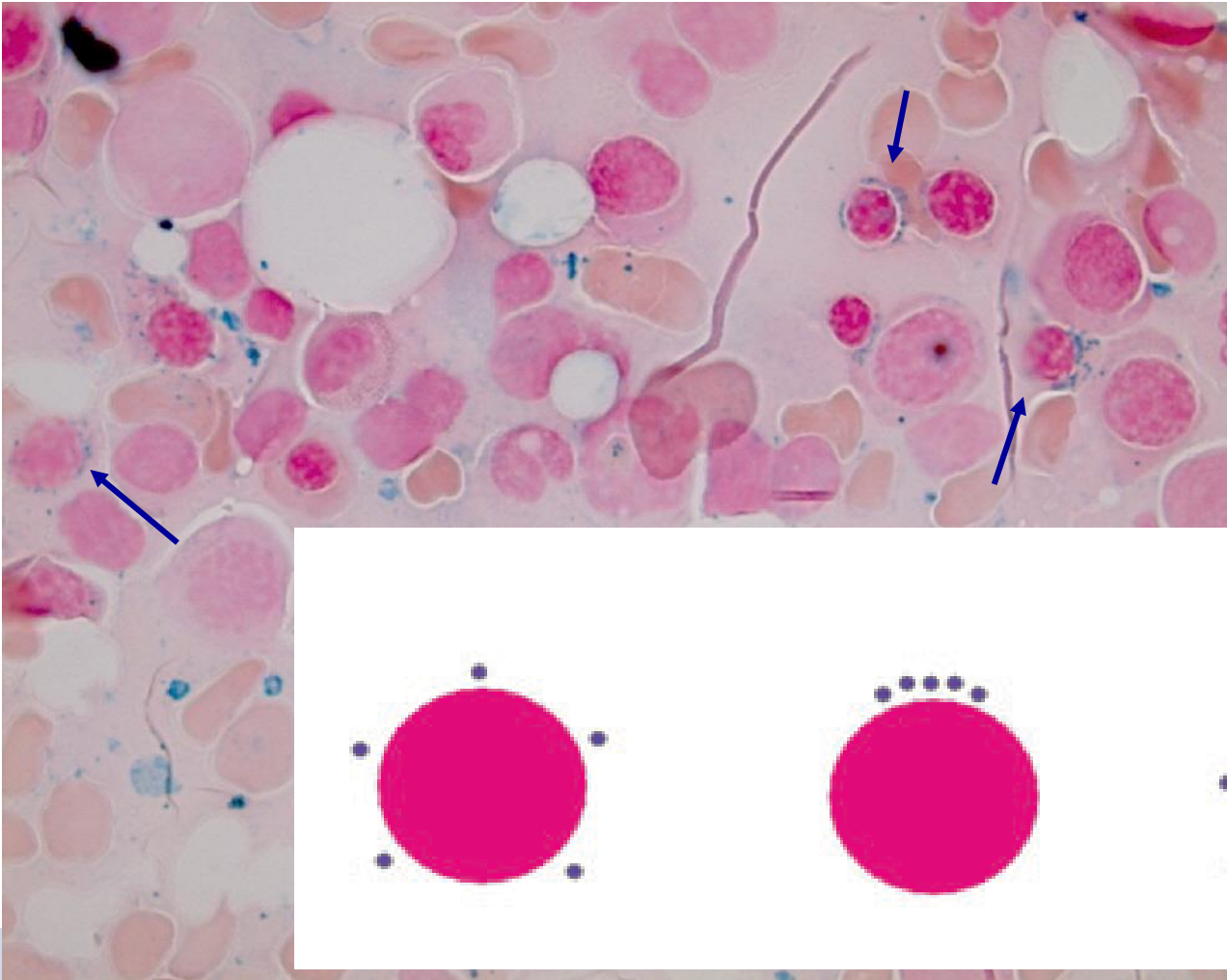
-monolobulair

-losse kernen

beenmerg



iron staining in RARS



ringsideroblast

Casus 1

65 jarige pt,

Moe: Hb 5,4 mmol/l , MCV 102 fl, leuco

$5.5 \times 10^9/L$ (neutrofielen 2.4), trombo $55 \times 10^9/L$.

Dysplasia>10%





Cytogenetica: 46 XY

Cytopenie: 2 lijnen

Dysplasie: 1 lijn

Diagnose:.....



Cytogenetica: 46 XY

Cytopenie: 2 lijnen

Dysplasie: 1 lijn

Diagnose: MDS-LB

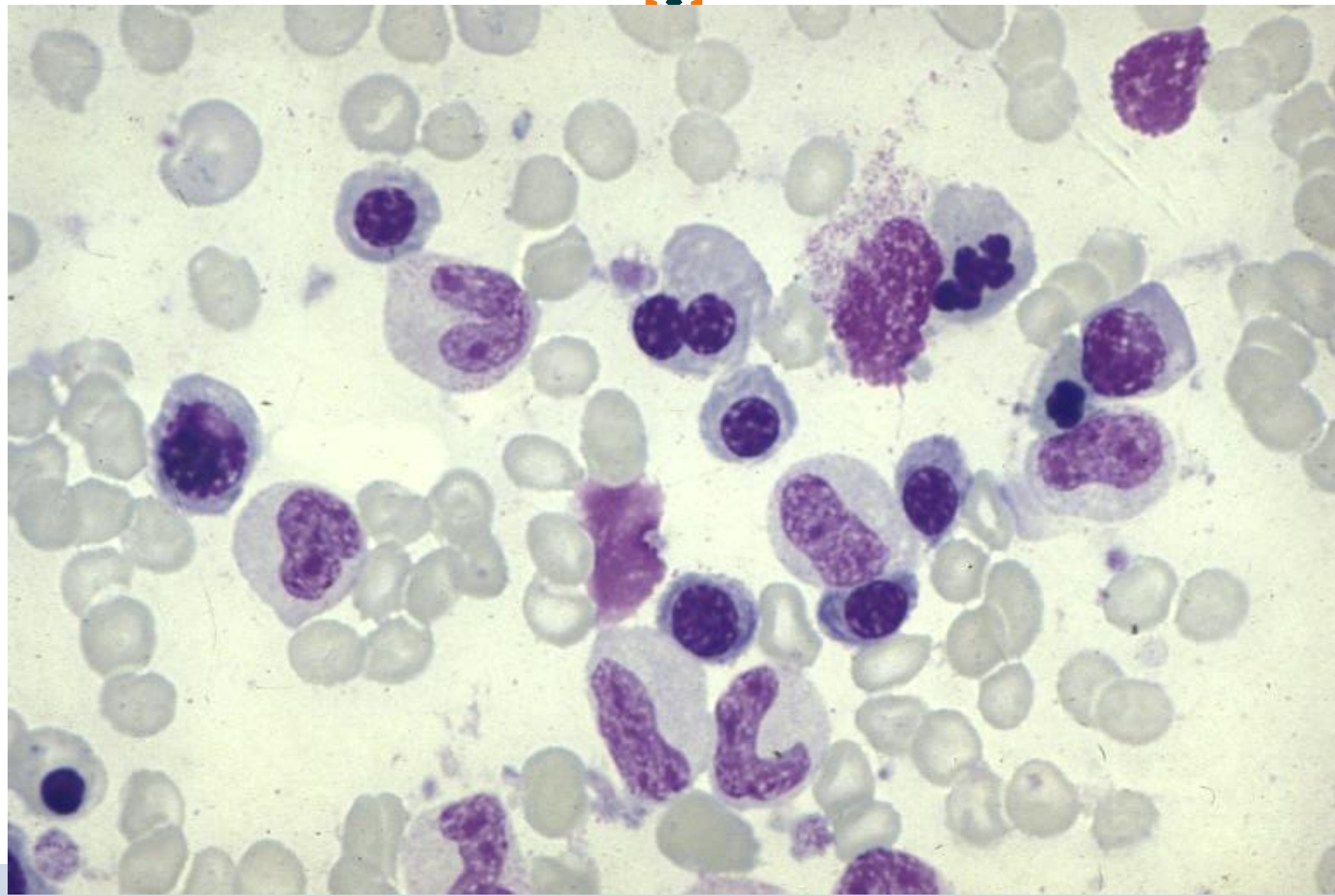
Casus 2

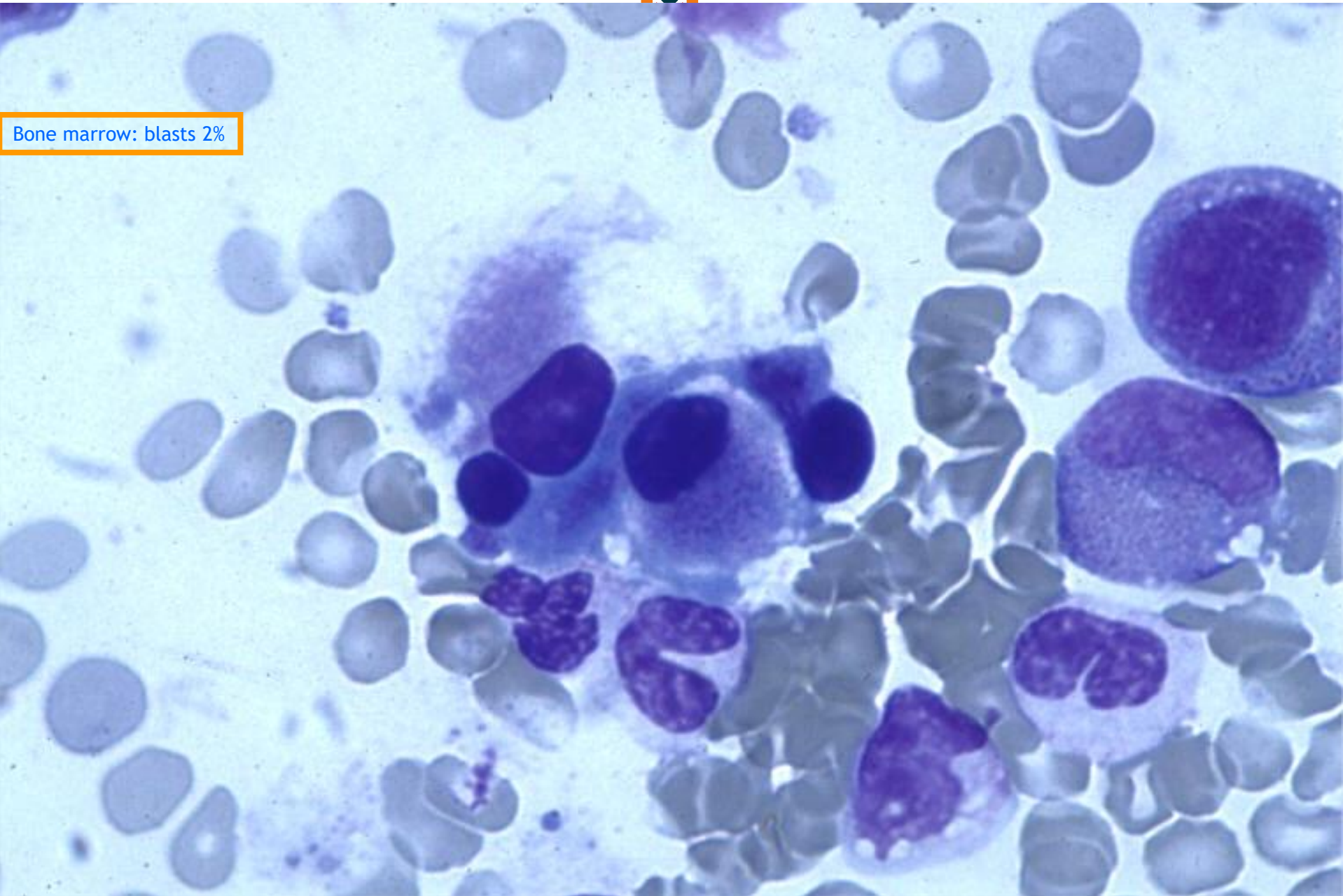


72-jarige patient,

Moe en snel blauwe plekken

Hb 6,2 mmol/l, MCV 102 fL, leuco $5.5 \times 10^9/L$,
normale differentiatie, trombo $55 \times 10^9/L$.





Bone marrow: blasts 2%



Cytopenie: 2

Dysplasie: 3

Diagnosis:.....



Cytopenia: 2

Dysplasia: 3

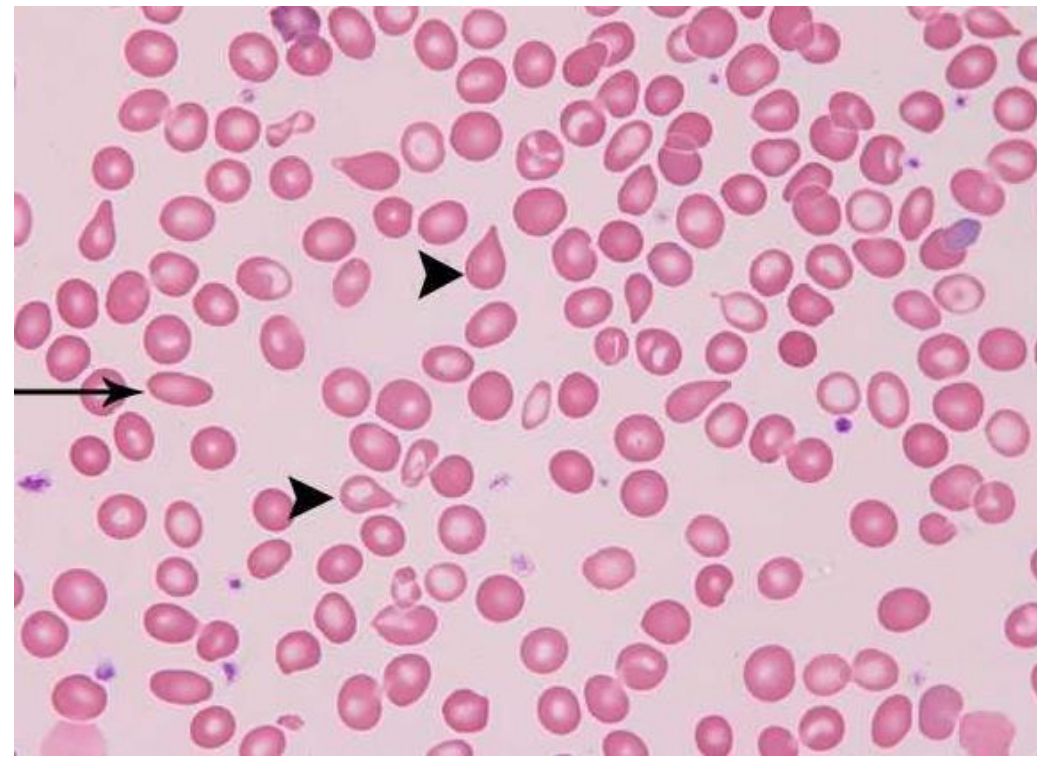
Diagnosis: MDS-LB

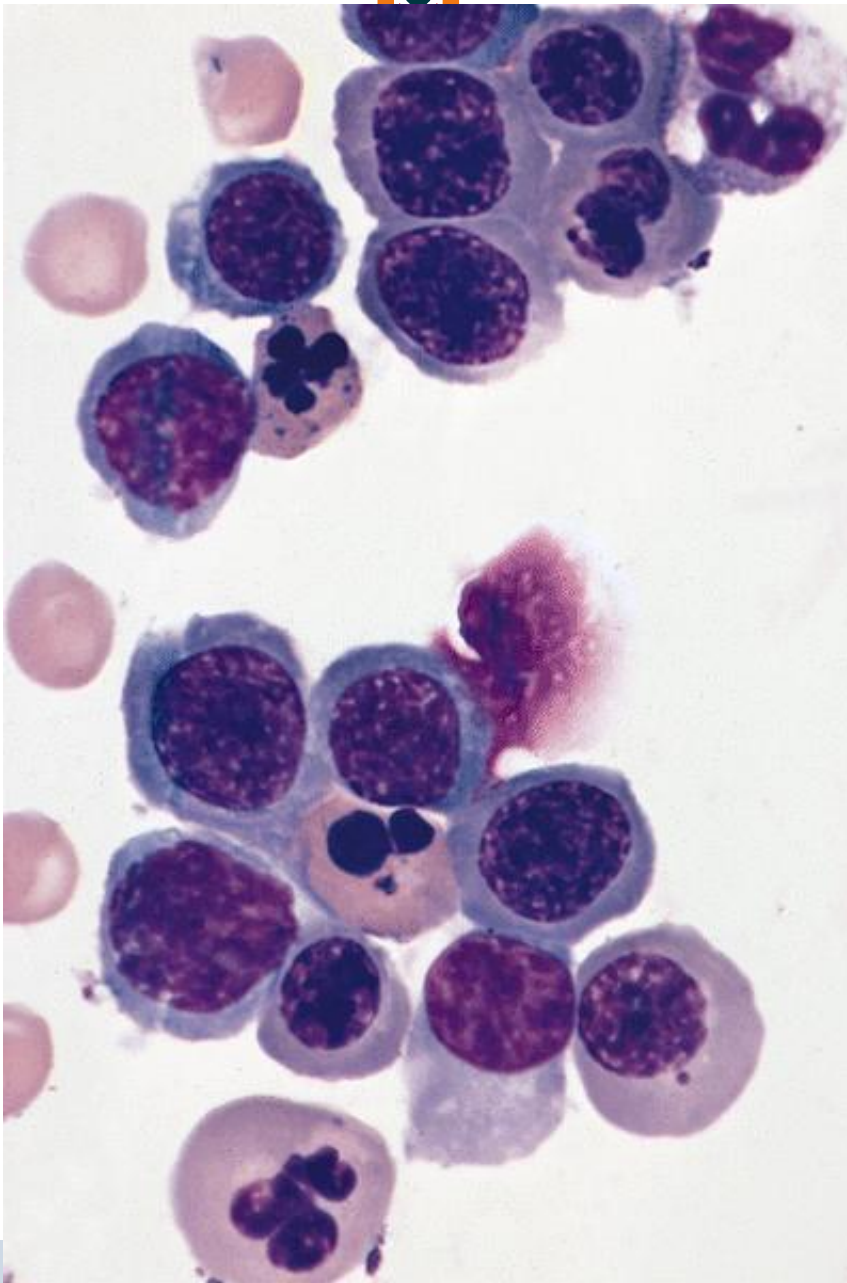
Casus 3

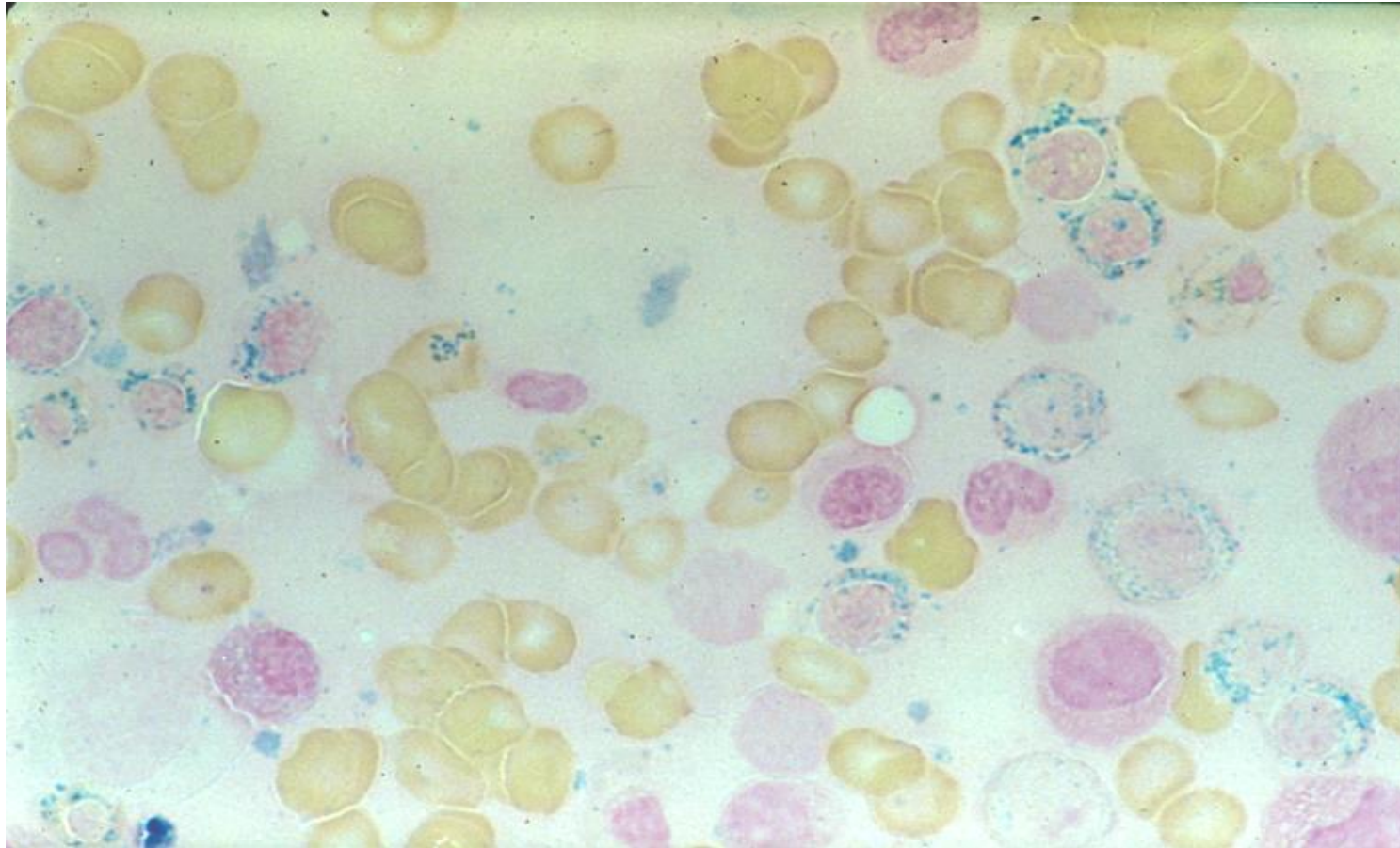
69 jarige vrouw

moe.

Hb 5,4 mmol/l, MCV 105 fL, leuco $3.5 \times 10^9/L$,
normale differentiatie, trombo $355 \times 10^9/L$.









Cytopenie: twee lijnen

Dysplasie: een lijn, 50% ringsideroblasten

Diagnose:

(*SF3B1* mutation aanwezig)



Cytopenie: twee lijnen

Dysplasie: een lijn, 50% ringsideroblasten

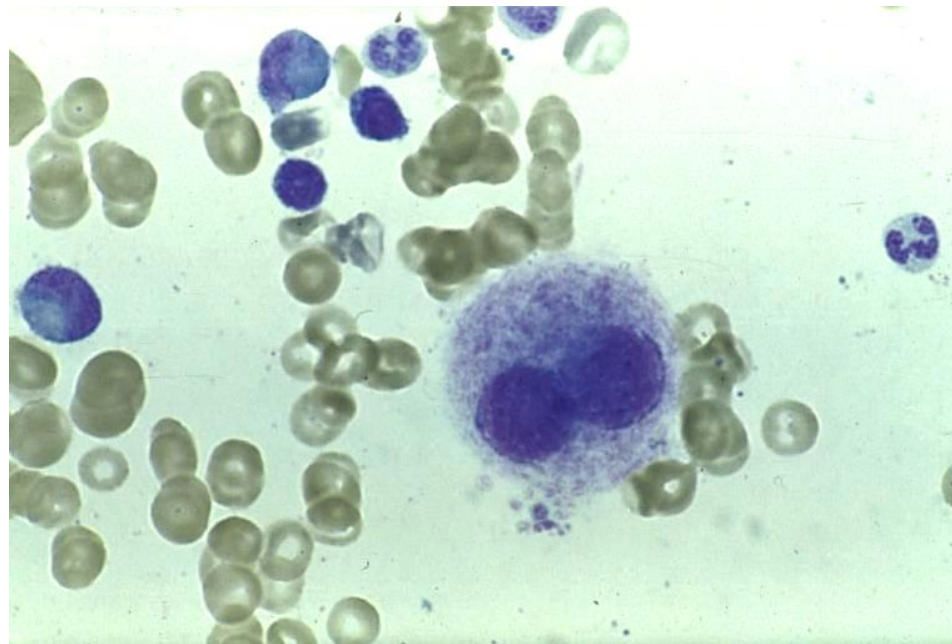
Diagnose: MDS met lage blasten en SF3B1
mutatie

(*SF3B1* mutation aanwezig)



68 jarige vrouw, alleen moe

**Hb 6,2 mmol/l, MCV 110 fL, leuco $6.0 \times 10^9/L$ met 63 % neutro, 9 % mono,
28 % lymfo, trombo $515 \times 10^9/L$.**

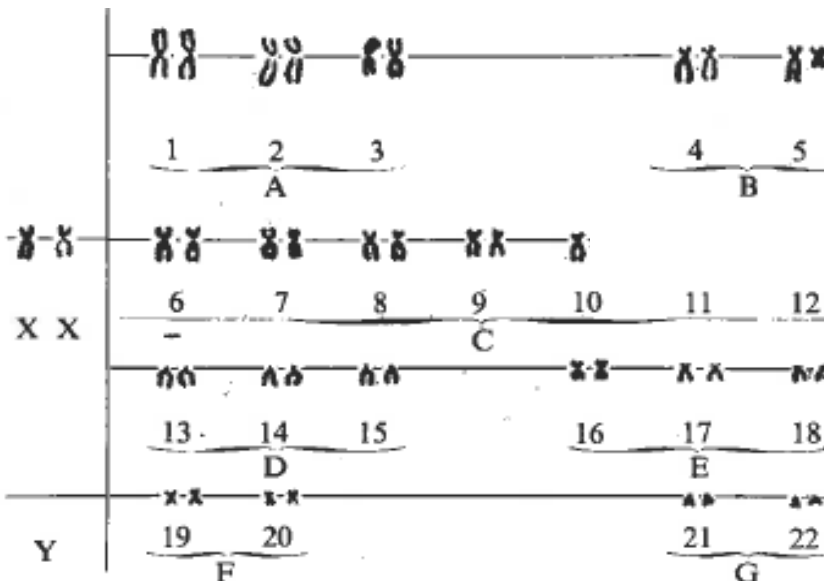




5q- syndrome

Distinct haematological disorder with
deletion of long arm of No. 5 chromosome

Nature Vol. 251 October 4 1974



HERMAN VAN DEN BERGHE*
JEAN-JACQUES CASSIMAN
GUIDO DAVID
JEAN-PIERRE FRYNS

Division of Human Genetics,
Department of Human Biology,

JEAN-LOUIS MICHAUX
GERARD SOKAL

Department of Haematology,
University of Louvain,
B-3000 Belgium



ORIGINAL ARTICLE

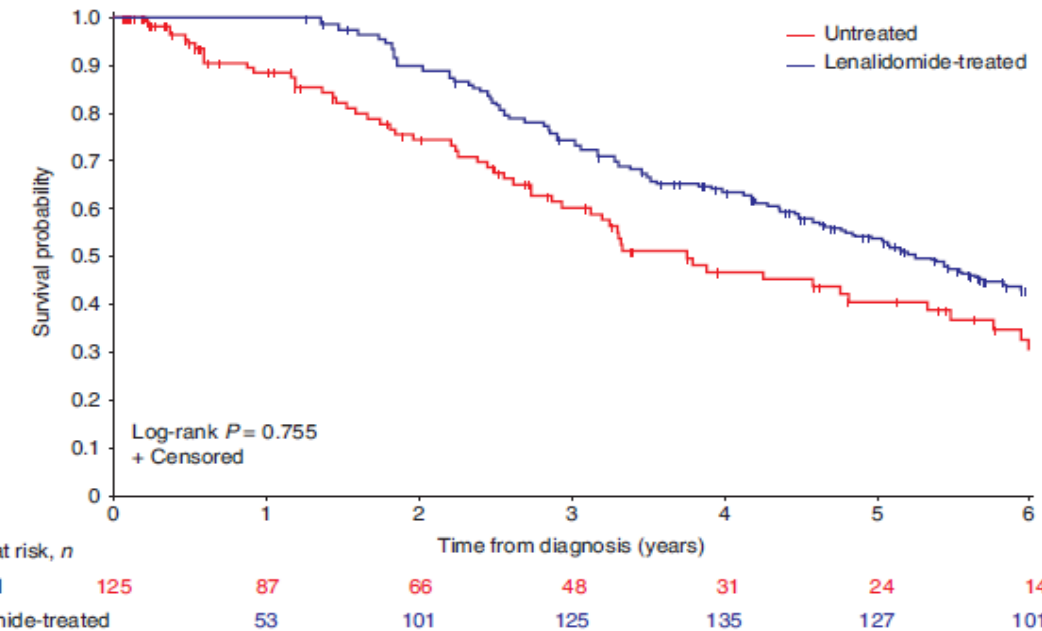
Lenalidomide in the Myelodysplastic Syndrome with Chromosome 5q Deletion

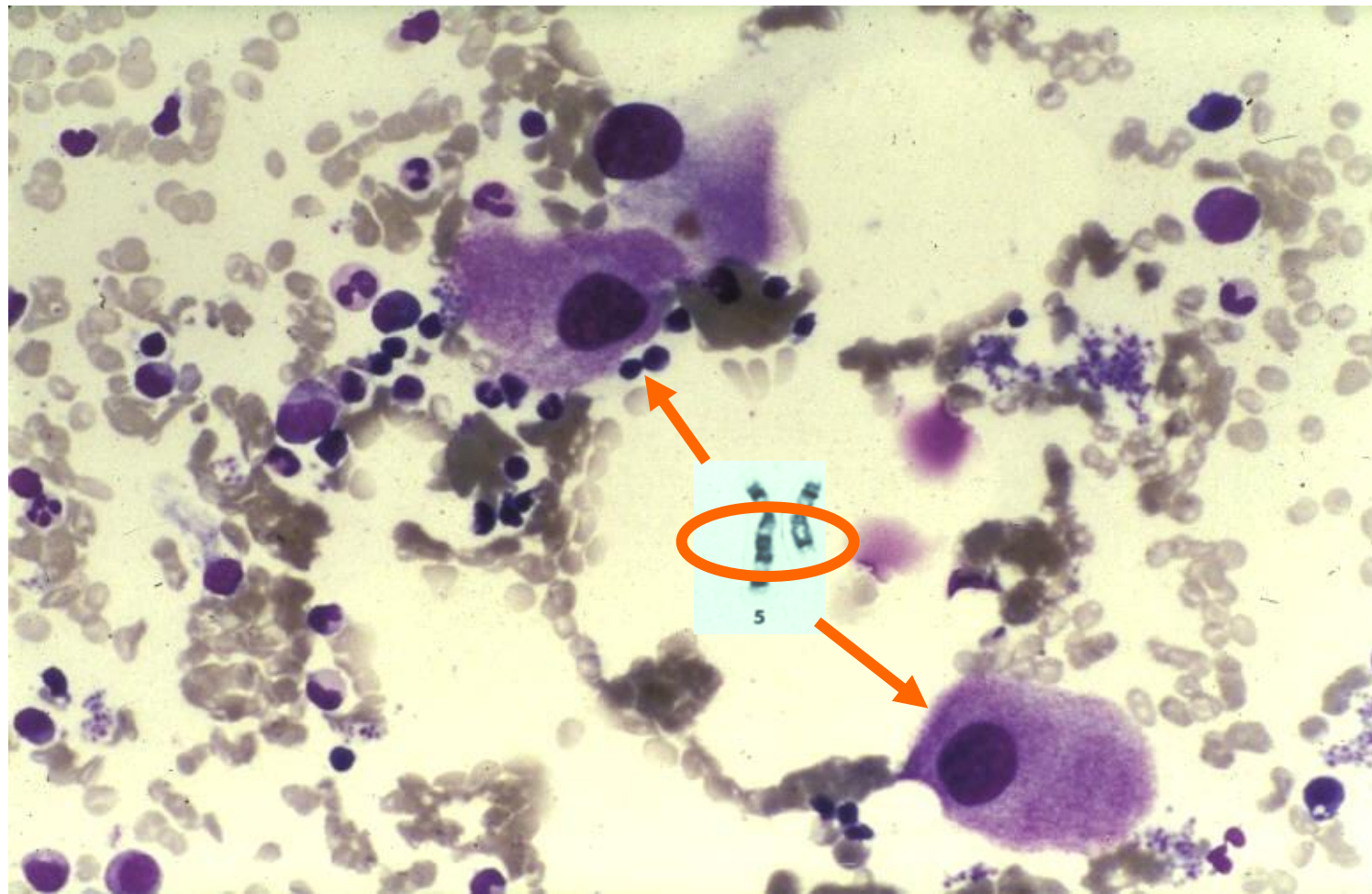
Alan List, M.D., Gordon Dewald, Ph.D., John Bennett, M.D.,
Aristotle Giagounidis, M.D., Azra Raza, M.D., Eric Feldman, M.D.,
Bayard Powell, M.D., Peter Greenberg, M.D., Deborah Thomas, M.D.,
Richard Stone, M.D., Craig Reeder, M.D., Kenton Wride, M.S., John Patin, M.S.,
Michele Schmidt, R.N., Jerome Zeldis, M.D., and Robert Knight, M.D.,
for the Myelodysplastic Syndrome-003 Study Investigators*

1
3
7

MDS-003/004 Retrospective Analysis

Overall Survival







WHO 2022:

MDS met lage blasten en del5q

Cytogenetisch dan del 5q met max 1 andere afwijking maar niet monosomie7 of del7q

Prognostic evaluation of patients with MDS: IPSS-Revised



Revised International Prognostic Scoring System for Myelodysplastic Syndromes

Peter L. Greenberg,¹ Heinz Tuechler,² Julie Schanz,³ Guillermo Sanz,⁴ Guillermo Garcia-Manero,⁵ Francesc Solé,⁶ John M. Bennett,⁷ David Bowen,⁸ Pierre Fenaux,⁹ Francois Dreyfus,¹⁰ Hagop Kantarjian,⁵ Andrea Kuendgen,¹¹ Alessandro Levis,¹² Luca Malcovati,¹³ Mario Cazzola,¹³ Jaroslav Cermak,¹⁴ Christa Fonatsch,¹⁵ Michelle M. Le Beau,¹⁶ Marilyn L. Slovak,¹⁷ Otto Krieger,¹⁸ Michael Luebbert,¹⁹ Jaroslaw Maciejewski,²⁰ Silvia M. M. Magalhaes,²¹ Yasushi Miyazaki,²² Michael Pfeilstöcker,² Mikkael Sekeres,²⁰ Wolfgang R. Sperr,¹⁵ Reinhard Stauder,²³ Sudhir Tauro,²⁴ Peter Valent,¹⁵ Teresa Vallespi,²⁵ Arjan A. van de Loosdrecht,²⁶ Ulrich Germing,¹¹ and Detlef Haase³

Cytogenetics	Scoring system					Overall risk score	
	V good	Good	Int	Poor	V poor	Very low	≤ 1.5
	0	1	2	3	4	Very low	≤ 1.5
BM blasts (%)	$\leq 2\%$	$>2-<5\%$	$5-10\%$	$>10\%$		Low	$>1.5-3$
	0	1	2	3		Intermediate	$>3-4.5$
Hb level (g/dL)	≥ 10	$8-<10$	<8			High	$>4.5-6$
	0	1	1.5			Very high	>6
ANC ($\times 10^9/L$)	≥ 0.8	<0.8					
	0	0.5					
Platelets ($\times 10^9/L$)	≥ 100	$50-<100$	<50				
	0	0.5	1				

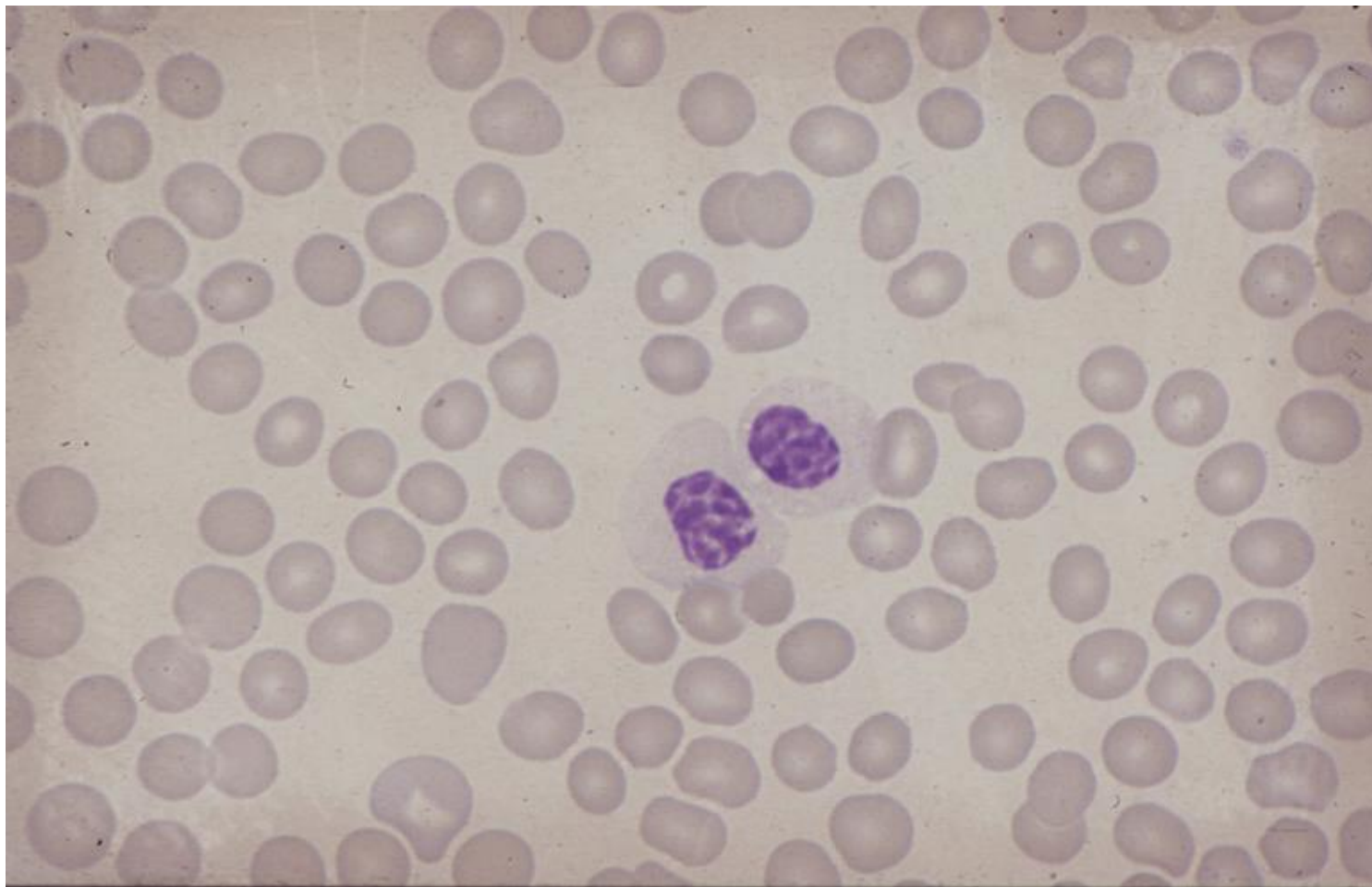
Casus 4

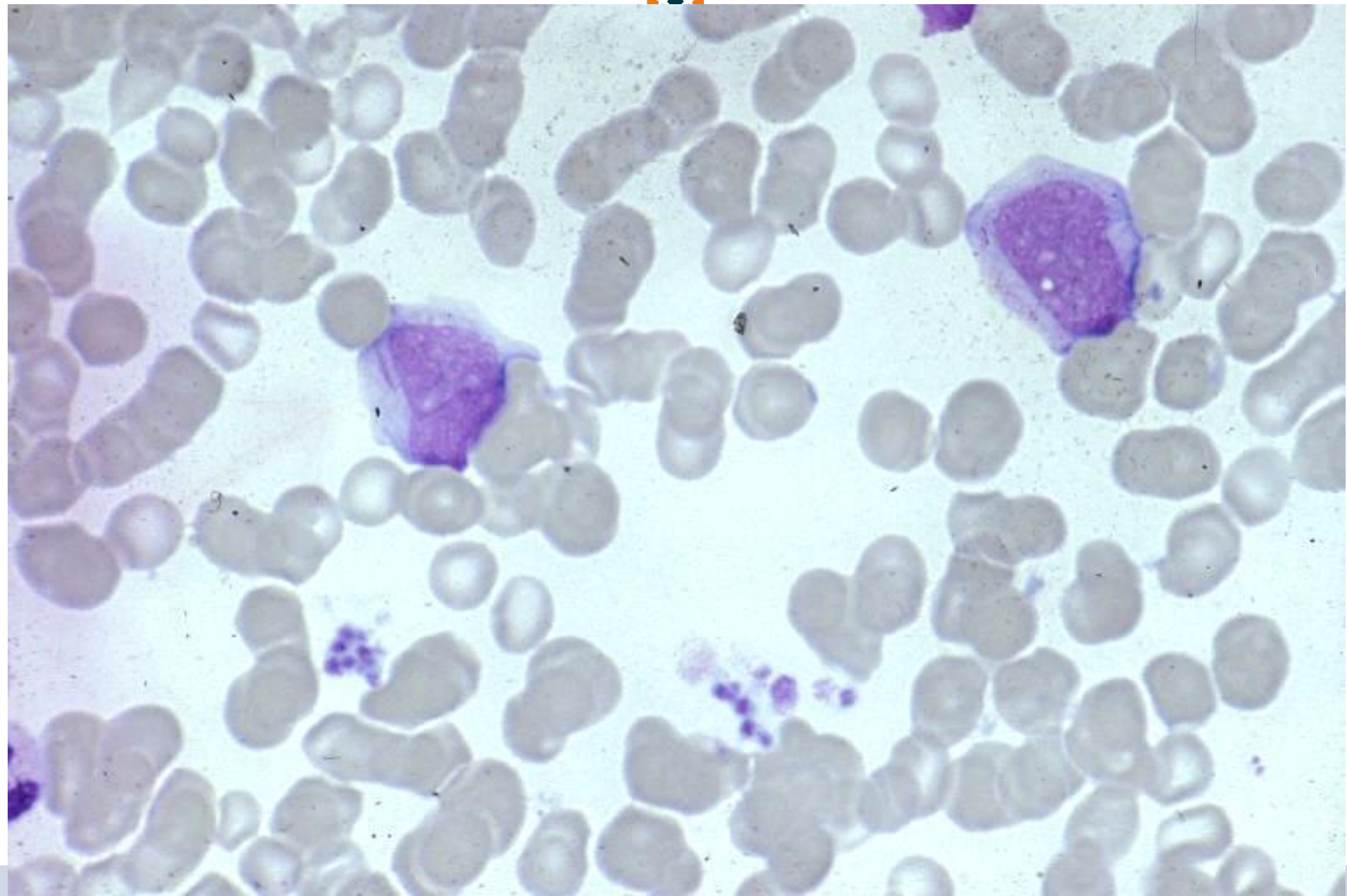


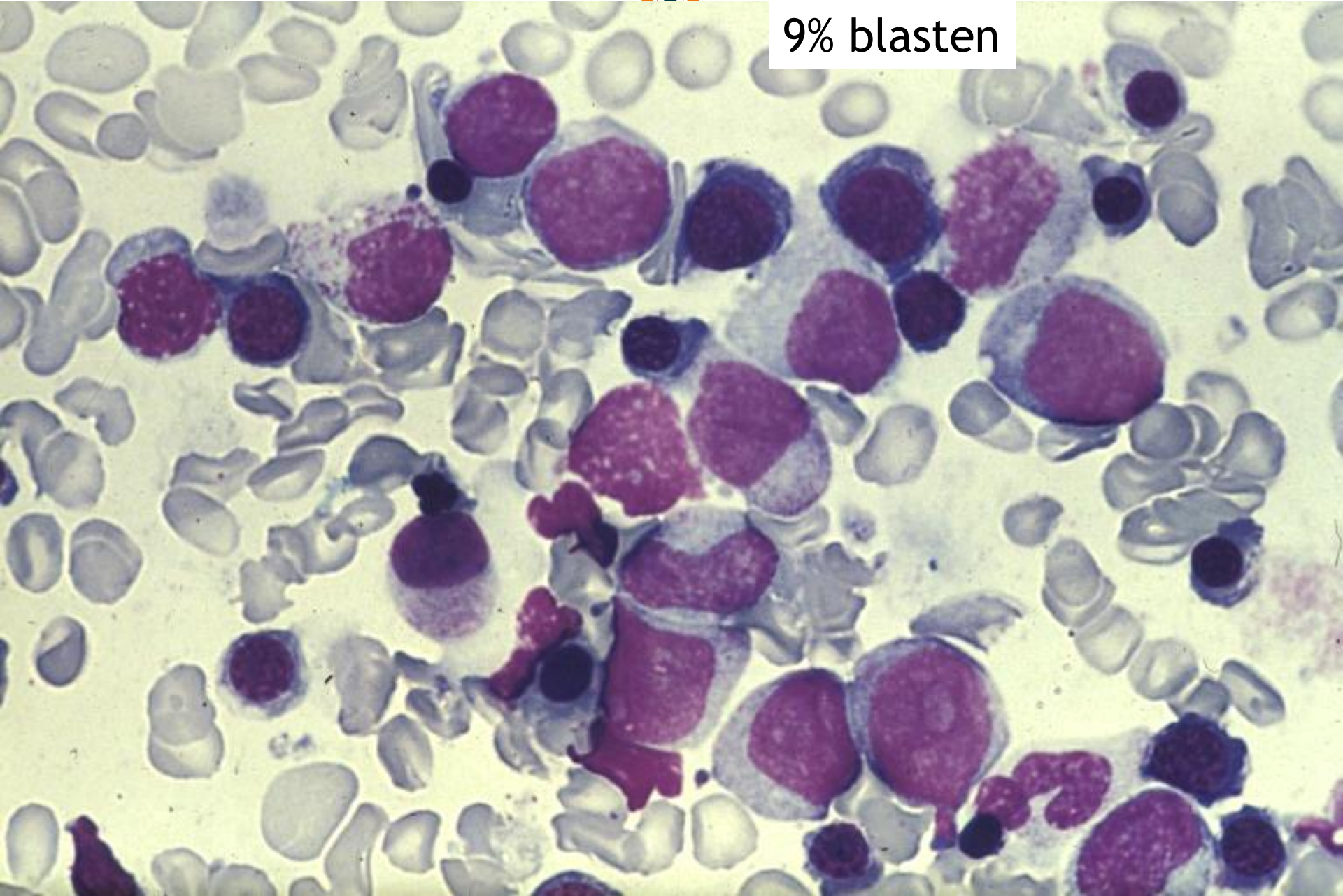
63 jarige vrouw

Meerdere infecties in laatste jaar

Hb 4,8 mmol/l, MCV 103 fL, leuco $2.0 \times 10^9/L$ met 2% blasten, 21% neutro, 26 % mono, 51% lymfo, thrombo $89 \times 10^9/L$.







9% blasten



Dus:

Pb: 2 % blasten

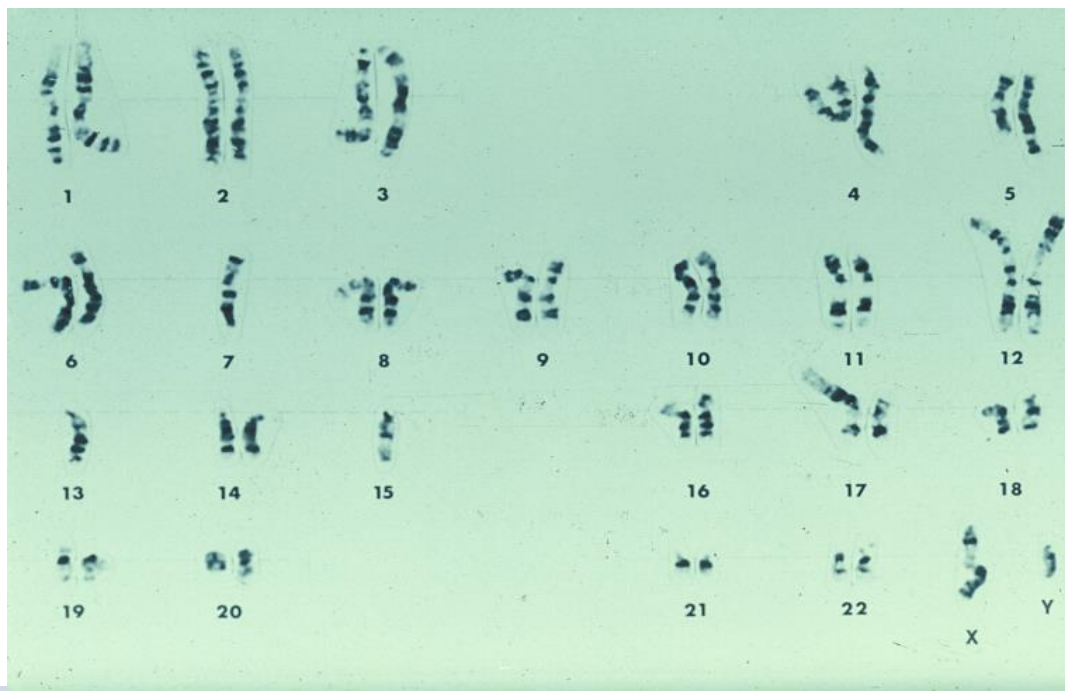
BM: 9 % blasten

Diagnosis:.....





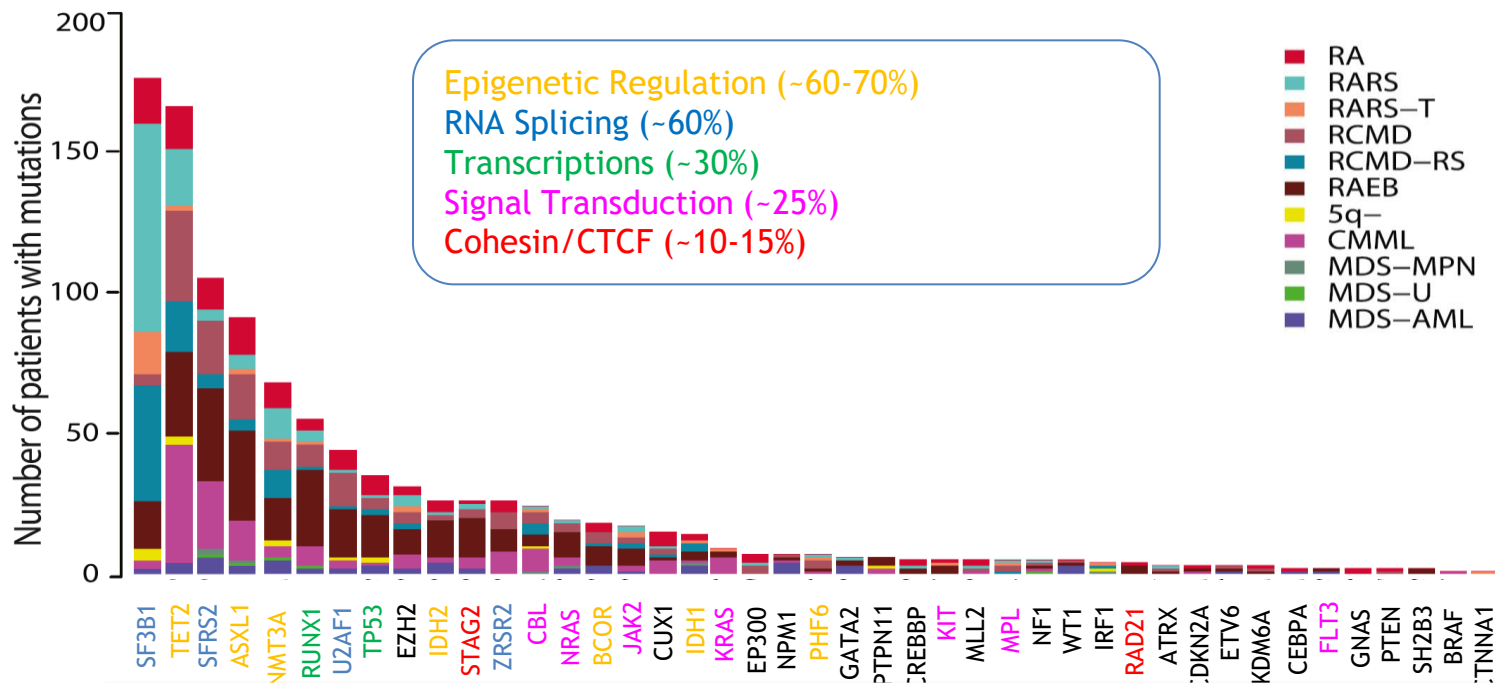
Pb: 2 % blasten
BM: 9 % blasten
Diagnosis: MDS-IB2
(auerse staaf)





From Fialkow's theory and Ras mutations to genetic complexity in MDS

Genomic architecture of MDS - Genes recurrently mutated in MDS



A variety of genetic alterations has been identified, although none has been specifically associated with MDS

Modified from Papaemmanuil, et al. Blood. 2013; 122: 3616-3627.

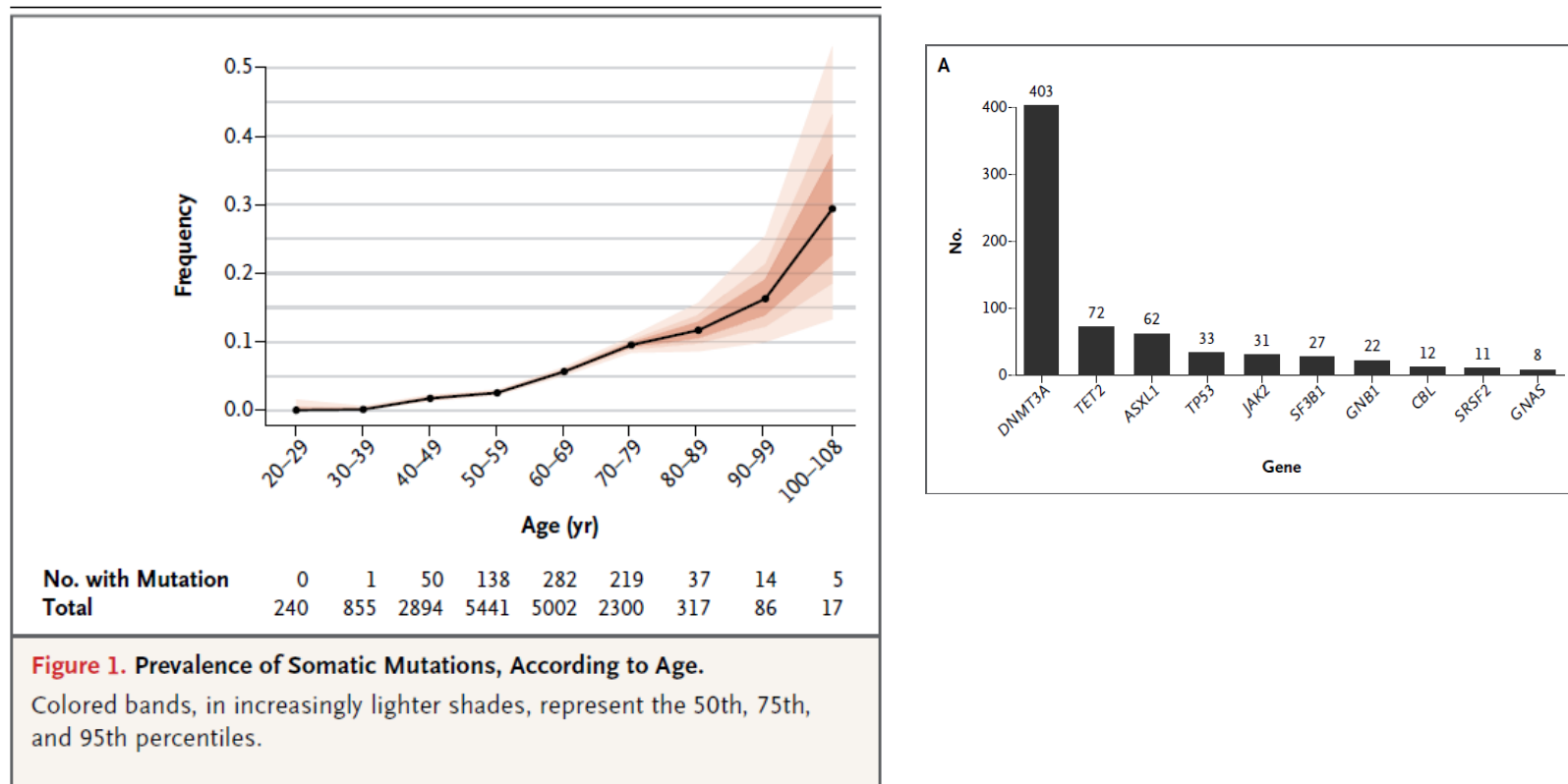


Heel handig: <https://mds-risk-model.com/>



ORIGINAL ARTICLE

Age-Related Clonal Hematopoiesis Associated with Adverse Outcomes





Other members of MDS family

Myelodysplastic /myeloproliferative neoplasms (MDS/MPN)

Chronic myelomonocytic leukemia (CMML)

Atypical chronic myeloid leukemia (aCML, *BCR-ABL1*-negative)

Juvenile myelomonocytic leukemia (JMML)

MDS/MPN with ring sideroblasts and thrombocytosis (MDS/MPN-RS-T)

MDS/MPN, unclassifiable

Gevorderden
cursus

Acute myeloid leukemia (AML) and related neoplasms

AML with myelodysplasia-related changes

Therapy-related myeloid neoplasms

- . MDS/AML following cytotoxic therapy with.....cytogenetic abnormality